



**UNIVERSIDADE FEDERAL DE SANTA MARIA
CENTRO DE CIÊNCIAS DA SAÚDE
PROGRAMA DE PÓS-GRADUAÇÃO EM FARMACOLOGIA**

Natacha Cossettin Mori

**CITRAL COMO ADITIVO NA DIETA DE PEIXES ESTUARINOS:
PERFIL REDOX, IMUNIDADE INATA E PARÂMETROS HEPÁTICOS**

Santa Maria, RS, Brasil

2019

Natacha Cossettin Mori

**CITRAL COMO ADITIVO NA DIETA DE PEIXES ESTUARINOS:
PERFIL REDOX, IMUNIDADE INATA E PARÂMETROS HEPÁTICOS**

Tese apresentada ao Curso de Doutorado do Programa de
Pós-graduação em Farmacologia da Universidade Federal
de Santa Maria como requisito para obtenção do grau de
Doutor em Farmacologia

Orientadores:

Prof. Dra Berta Maria Heizmann

Prof. Dr Bernardo Baldisserotto

Santa Maria, RS, Brasil
2019

mori, natacha

CITRAL COMO ADITIVO NA DIETA DE PEIXES ESTUARINOS:
PERFIL REDOX, IMUNIDADE INATA E PARÂMETROS HEPÁTICOS /
natacha mori.- 2019.

139 p.; 30 cm

Orientadora: Berta Maria Heinzmann

Coorientador: Bernardo Baldisserotto

Tese (doutorado) - Universidade Federal de Santa
Maria, Centro de Ciências da Saúde, Programa de Pós
Graduação em Farmacologia, RS, 2019

1. Aquicultura 2. Peixes estuarinos 3. Estresse
oxidativo 4. Imunidade inata 5. Parâmetros hepáticos I.
Heinzmann, Berta Maria II. Baldisserotto, Bernardo
III. Título.

Sistema de geração automática de ficha catalográfica da UFSM. Dados fornecidos pelo
autor(a). Sob supervisão da Direção da Divisão de Processos Técnicos da Biblioteca
Central. Bibliotecária responsável Paula Schoenfeldt Patta CRB 10/1728.

Natacha Cossettin Mori

**CITRAL COMO ADITIVO NA DIETA DE PEIXES ESTUARINOS:
PERFIL REDOX, IMUNIDADE INATA E PARÂMETROS HEPÁTICOS**

Tese apresentada ao Curso de Doutorado do Programa de
Pós-graduação em Farmacologia da Universidade Federal
de Santa Maria como requisito para obtenção do grau de
Doutor em Farmacologia

Aprovada em 27 de Junho de 2019:

Berta Maria Heinzmann, Dra (UFSM)

(Presidente/Orientadora)

Bernardo Baldisserotto, Dr (UFSM)

(Co-orientador)

Vania Lúcia Loro

Fabiana Pilarski

Mauro Cunha

Jaydione Luiz Marcon

Santa Maria, RS, Brasil
2019

AGRADECIMENTOS

Agradeço a Deus por me permitir viver a experiência incrível do doutoramento com saúde e serenidade;

Agradeço ao meu esposo Samuel pelo apoio incondicional à minha incessante busca pelo conhecimento;

Agradeço à todas as pessoas da minha família por estarem sempre aqui, quando os momentos difíceis chegaram. Também, por representarem os valores que eu carrego comigo. Não poderia esquecer do meu agradecimento especial à minha prima Marília pelas tantas noites de acolhida, pelos cafés/lanches e pelas longas conversas;

Agradeço à Prof. Berta, por ter me acolhido na UFSM e confiado em mim para acompanhar e aprender com ela durante essa jornada;

Agradeço ao Prof. Bernardo por todo apoio conferido para a realização desse trabalho;

Agradeço à minha fiel companheira Bruna, pela disponibilidade, pelos ensinamentos e pelas loucuras que passamos juntas;

Agradeço aos colegas do Laboratório de Extrativos Vegetais pela companhia e pelos momentos de aprendizados em conjunto. Em especial deixo meu agradecimento às colegas Isadora e Patrícia com quem tive a oportunidade de realizar trabalhos em conjunto. Obrigada pela oportunidade de aprender com vocês;

Agradeço à Universidade de Cruz Alta, pelo apoio, pelas liberações e pela concessão da licença que permitiu a realização deste trabalho;

Agradeço aos colaboradores que participaram da execução desse trabalho. A contribuição de vocês foi fundamental para que esse momento fosse possível;

Enfim, um agradecimento especial à todos os colegas, funcionários e professores do Programa de Pós graduação em Farmacologia.

“Às vezes penso que sei alguma coisa

De repente percebo que não sei nada;

Às vezes pareço forte

De repente me sinto fraco;

Às vezes tenho certeza que vai dar certo

De repente dá tudo errado

Às vezes acho que Deus me abandonou

De repente sinto ele ao meu lado;

Às vezes penso que é o fim,

De repente é só o começo”.

André Renato

RESUMO

AUTORA: Natacha Cossettin Mori

ORIENTADORA: Berta Maria Heinzmann

O citral é um monoterpenoide que ocorre em óleos essenciais de diferentes espécies de plantas utilizadas na medicina popular, que também apresentaram atividades benéficas quando adicionados à dieta de peixes. Contudo, apesar das inúmeras atividades biológicas já demonstradas para óleos essenciais, estudos “*in vivo*” demonstrando o benefício efetivo do citral são insuficientes, especialmente no que diz respeito ao incremento da produção animal. No Brasil, o crescente interesse pela piscicultura e boas perspectivas de crescimento da produção comercial de peixes resulta na busca de uma dieta mais saudável para a saúde desses animais. Dessa forma, o objetivo deste estudo foi avaliar se o citral adicionado à dieta possui efeitos benéficos sobre o perfil oxidativo e imunidade inata em juvenis de *Centropomus undecimalis* (robalo-flecha) e *Mugil liza* (tainha). Para avaliar a toxicidade hepática do composto testado, foram determinados marcadores bioquímicos (atividade de alanina aminotransferase e aspartato aminotransferase) e histologia hepática (aspecto do tecido e morfometria da veia centro lobular, capilares sinusoides e hepatócitos). O citral foi obtido comercialmente e adicionado à dieta de ambas espécies por 45 dias em diferentes concentrações (0; 0.44; 0.88; 1.76 g kg dieta) originando quatro grupos experimentais. Temperatura, pH e oxigênio dissolvido foram verificados diariamente, enquanto que alcalinidade, amônia e nitrito foram mensurados semanalmente durante todo o período experimental. Ao término do experimento, dez peixes de cada tanque foram anestesiados e eutanasiados por secção da medula espinhal para coleta de sangue e tecidos. Embora estudos “*in vitro*” já tenham demonstrado que o citral apresenta capacidade antioxidante e benefícios com a utilização de óleos essenciais compostos majoritariamente por este monoterpenoide, nossos resultados indicam que para o robalo-flecha a adição de citral na dieta não melhora suas condições de saúde. Apesar do composto em avaliação não promover toxicidade hepática, promoveu lipoperoxidação em brânquias e hiperativação do sistema complemento.

A atividade das enzimas superóxido dismutase, catalase e glutationa-S-transferase aumentou em resposta ao dano oxidativo evidenciado. Contudo, para a tainha a incorporação do citral na alimentação foi benéfica, melhorando parâmetros oxidativos (reduziu lipoperoxidação; aumentou a atividade de superóxido dismutase, glutationa peroxidase e glutationa-S-transferase; aumentou níveis de tióis não proteicos), sem alterar a atividade das enzimas e parâmetros histológicos do fígado. Houve diminuição da atividade de mieloperoxidase nas duas espécies em estudo. Os dados apresentados demonstram que as diferenças fisiológicas entre as duas espécies têm influência direta sobre a atividade do citral, que por sua vez não é indicado como aditivo na dieta para *C. undecimalis*, mas é recomendado para complementar a dieta *M. liza* na concentração de 1.76 g por kg de dieta.

Palavras-chave: aquicultura, *Centropomus undecimalis*, *Mugil Liza*, monoterpenoides, estresse oxidativo, sistema imune, toxicidade hepática.

ABSTRACT

AUTHOR: Natacha Cossettin Mori

ADVISOR: Berta Maria Heinzmann

Citral is a monoterpenoid that occurs in essential oils of different plant species used in folk medicine, which also showed promising effects when added to fish diets. However, in spite of the numerous biological activities demonstrated for essential oils, *in vivo* studies demonstrating the effective benefit of citral are insufficient, especially with regard to the increase of animal production. In Brazil, the growing interest in fish farming and good prospects for growth of commercial fish production increased the search for a healthier diet for the health of these animals. Thus, the objective of this study was to evaluate if the citral added to the diet has beneficial effects on the oxidative profile and innate immunity in juveniles of *Centropomus undecimalis* (common snook and *Mugil liza* (mullet). Biochemical markers (alanine aminotransferase and aspartate aminotransferase activity) and liver histology (tissue appearance and lobar center vein morphometry, sinusoidal capillaries and hepatocytes) were determined to evaluate the hepatic toxicity of the tested compound. Citral was commercially obtained and added to the diet of both species for 45 days at different concentrations (0, 0.44, 0.88, 1.76mg kg of diet) giving four experimental groups. Temperature, pH and dissolved oxygen were verified daily, while alkalinity, ammonia and nitrite were measured weekly throughout the experimental period. At the end of the experiment, ten fish from each tank were anesthetized and euthanized by section of the spinal cord to collect blood and tissues. Although *in vitro* studies have shown that citral has antioxidant capacity and benefical effects with the use of essential oils composed mainly of this monoterpenoid, our results indicate that for common snook the dietary addition of citral does not improve its health conditions. Although the compound under evaluation did not promote hepatic toxicity, it promoted lipoperoxidation in gills and hyperactivation of the complement system. The activity of the enzymes superoxide dismutase, catalase and glutathione-S-transferase increased in response to the oxidative damage evidenced. However,

for mullet the incorporation of citral in the diet was beneficial, improving oxidative parameters (reduced lipid peroxidase activity, increased the activity of superoxide dismutase, glutathione peroxidase and glutathione-S-transferase, increased levels of non-protein thiols), without altering the activity of enzymes and histological parameters of the liver. There was a decrease in myeloperoxidase activity in the two species under study. The data presented demonstrated that the physiological differences between the two species have a direct influence on citral activity, which in turn is not indicated as a dietary additive for *C. undecimalis*, but is recommended to supplement the *M. liza* diet at the concentration of 1.76 g per kg of diet.

Keywords: aquaculture, *Centropomus undecimalis*, *Mugil Liza*, monoterpenoids, oxidative stress, immune system, liver toxicity.

LISTA DE FIGURAS

| | |
|--|----|
| Figura 1 – Robalo-flecha, <i>Centropomus undecimalis</i> (Bloch, 1972)..... | 16 |
| Figura 2 – Tainha, <i>Mugil liza</i> (Valenciennes, 1938)..... | 18 |
| Figura 3 -- Fatores que afetam o status de saúde dos peixes..... | 19 |
| Figura 4 – Estresse Oxidativo: Desequilíbrio entre espécies reativas e antioxidante..... | 21 |
| Figura 5 – Primeira linha de defesa antioxidante..... | 27 |
| Figura 6 – Estrutura química do neral (α citral) e geranal (β citral), isômeros que compõem o citral..... | 33 |

ARTIGO 1

| | |
|--|----|
| Fig. 1. (a) Lipoperoxidation levels (LOOH), (b) superoxide dismutase (SOD) activity, (c) Catalase (CAT) activity, (d) Glutathione peroxidase (GPx) activity, (e) non-protein thiols (NPSH) content, and (f) Glutathione S-transferase (GST) activity in liver of <i>Centropomus undecimalis</i> fed with diets containing different concentrations of citral..... | 47 |
| Fig. 2. (a) Lipoperoxidation levels (LOOH), (b) superoxide dismutase (SOD) activity, (c) Catalase (CAT) activity, (d) Glutathione peroxidase (GPx) activity, (e) non-protein thiols (NPSH) content, and (f) Glutathione S-transferase (GST) activity in gills from <i>Centropomus undecimalis</i> fed with diets containing different concentrations of citral..... | 48 |
| Fig. 3. (a) Lysozyme activity (units/mL) and (b) Hemolytic activity of complement system (%) (c) Myeloperoxidase levels (OD540) in plasma from <i>Centropomus undecimalis</i> fed with diets containing different concentrations of citral..... | 48 |
| Fig. 4. Histological characteristics of the liver of <i>Centropomus undecimalis</i> fed diets containing different citral concentrations (g per kg feed)..... | 49 |

ARTIGO 2

Fig. 1. (a) Lysozyme activity (units/mL), (b) hemolytic activity of the complement system (%), and (c) myeloperoxidase levels (OD540) in plasma of *Mugil liza* fed diets containing different citral concentrations.....82

Fig. 2. Histological characteristics of the liver of *Mugil liza* fed diets containing different citral concentrations (g per kg feed). Letters: A= Lobular center vein; B= Sinusoidal capillaries; C= Hepatocytes; D= hepatic vacuoles.....82

LISTA DE TABELAS

Tabela 1. Formulação (%) e análise da composição média aproximada (%) da dieta experimental.....35

ARTIGO 1

Table 1. Formulation (%) of the experimental diet46

Table 2. Composition (%) of the experimental diet.....46

Table 3. Hepatic enzymes in plasm of *Centropomus undecimalis* fed with diets containing different concentrations of citral.....48

Table 4. Histological characteristics of liver from *Centropomus undecimalis* fed with diets containing different concentrations of citral (g per kg feed).....49

ARTIGO 2

Table 1 – Formulation (%) and analyzed proximate average composition (%) of the experimental diet.....77

Table 2 – Oxidative stress biomarkers in tissues of *Mugil liza* fed diets containing different citral concentrations.....78

Table 3 – Hepatic enzymes in plasma of *Mugil liza* fed diets containing different citral concentrations.....80

Table 4 – Liver histology parameters (μm) of *Mugil liza* fed diets containing different citral concentrations.....81

LISTA DE ABREVIATURAS

| | |
|--------------------------------|-------------------------------|
| EROS | Espécies reativas de Oxigênio |
| DNA | Ácido desoxirribonucleico |
| SOD | Superóxido dismutase |
| CAT | Catalase |
| GPx | Glutationa peroxidase |
| GST | Glutationa S tranferase |
| GSH | Glutationa reduzida |
| GSSG | Glutationa oxidada |
| LPO | Lipoperoxidação |
| MPO | Mieloperoxidase |
| OE | Óleo essencial |
| AST | Aspartato aminotransferase |
| ALT | Alanina aminotransferase |
| LOOH | Hidroperóxidos lipídicos |
| SEM | Erro padrão da média |
| LPS | Lipopolissacarídeos |
| TNF-α | Fator de necrose tumoral |
| IL-6 | Interleucina-6 |
| IL-1β | Interleucina-1 β |

| | |
|---------------|--|
| NF-κB | Fator de necrose κB |
| PPAR-γ | Receptor Ativado por Proliferadores de Peroxisoma Gama |
| iNOS | Óxido nítrico sintase induzível |
| COX-2 | Ciclooxygenase 2 |

SUMÁRIO

| | |
|---|-----|
| 1. APRESENTAÇÃO..... | 17 |
| 1.1 Introdução | 17 |
| 1.2 REFERENCIAL TEÓRICO..... | 18 |
| 1.2.1 Aquicultura: panorama atual e desafios..... | 18 |
| 1.2.2 Caracterização das espécies em estudo | 20 |
| 1.2.3 Fatores que influenciam as condições de saúde dos peixes..... | 23 |
| 1.2.4 Antimicrobianos sintéticos e produtos naturais na aquicultura | 34 |
| 2. OBJETIVOS..... | 38 |
| 2.1 OBJETIVO GERAL..... | 38 |
| 2.2 OBJETIVOS ESPECÍFICOS | 38 |
| 3. DELINEAMENTO METODOLÓGICO GERAL | 39 |
| 3.1 Animais e condições de laboratório..... | 39 |
| 3.2 Aspectos éticos | 40 |
| 3.3 Citral | 40 |
| 3.4 Dieta e desenho experimental..... | 40 |
| 3.5 Coleta das amostras | 42 |
| 3.6 Determinações analíticas | 42 |
| 3.7 Análise estatística | 44 |
| 4. RESULTADOS | 45 |
| 4.1 Artigo 1..... | 45 |
| 4.2 Artigo 2 | 82 |
| 5. DISCUSSÃO..... | 113 |
| 6 CONCLUSÕES | 118 |
| REFERÊNCIAS | 119 |

1. APRESENTAÇÃO

1.1 Introdução

O cultivo de organismos aquáticos tem sido intensificado nos últimos anos. Dados publicados pela FAO (Organização das Nações Unidas para a Alimentação e Agricultura) em 2018 a produção global aquícola (incluindo plantas aquáticas) foi de 110,2 milhões de toneladas, estimando-se um valor comercial de primeira venda em 243.500 milhões de dólares. A estimativa é que para 2030 a aquicultura contribua com 60% do pescado para consumo humano e sua produção supere a pesca (54%). Segundo Nadarajah & Flaaten (2017), a intensificação do cultivo e a melhora das condições nutricionais contribuem para aumentar o rendimento desta atividade econômica.

Neste contexto, a composição das dietas administradas aos peixes é de grande relevância para o aumento da produção na aquicultura, uma vez que afeta a saúde e crescimento dos peixes cultivados e está diretamente relacionada à qualidade dos pescados, produto final do processo de cultivo (SANTOS; OBA, 2009). Sendo assim, peixes mais saudáveis refletem no aumento da produtividade e por consequência no incremento do consumo pela população, já que são produzidos peixes de melhor sabor e qualidade. Todos esses fatores beneficiam a atividade econômica.

O citral é um monoterpenoide de sabor agradável e propriedades contra microorganismos patogênicos (SHI et al., 2016), que já foi aprovado pelo órgão americano FDA (Food and Drug Administration) para uso na indústria de alimentos, bebidas e como fragrância. Além disso, já foi relacionado a inúmeras atividades biológicas, tais como: às atividades sedativa (DO VALE et al., 2002), antifúngica (FERREIRA et al., 2009), anti-inflamatória (BACHIEGA; SFORCIN, 2011; PONCE-MONTER et al., 2010), antinociceptiva (ORTIZ et al., 2010) e anestésica (SOUZA et al., 2017). Estudos em *Rhamdia quelen* já demonstraram benefícios da suplementação dietética com óleos essenciais contendo citral em sua composição (BALDISSEROTTO et al., 2015; ZEPPENFELD et al., 2014; ZEPPENFELD et al., 2016; ZEPPENFELD et al., 2017).

Segundo Barroso et al. (2002), dentre outros fatores nutricionais, a palatabilidade das rações é fundamental para a intensificação e sucesso dos cultivos. Frente a isso, avaliamos os efeitos da adição de citral na ração de *Centropomus undecimalis* (robalo-flecha) e *Mugil liza* (tainha) através da análise parâmetros de estresse oxidativo e atividade imunoestimulante por meio da determinação de componentes da imunidade inata. Além disso, visando complementar nosso estudo e evidenciar a segurança do uso deste componente na dieta dos peixes supracitados, avaliamos marcadores bioquímicos e histológicos hepáticos.

A presente tese está fundamentada na apresentação do artigo publicado na revista Aquaculture, e outro artigo manuscrito que foi submetido à revista Aquaculture Nutrition e encontra-se em fase de avaliação. Sendo assim, consta das seguintes seções: Referencial teórico, objetivos, delineamento metodológico geral, resultados, discussão, conclusão e referências bibliográficas.

1.2 REFERENCIAL TEÓRICO

1.2.1 Aquicultura: panorama atual e desafios

Aquicultura é o cultivo de animais cujo ciclo de vida em condições naturais se dá total ou parcialmente em meio aquático. Nos últimos anos, de acordo com o último relatório da FAO (2018), o crescimento global desta atividade têm sido bastante significativo. A captura de peixes marinhos, no ano de 2016 foi de 79,3 milhões de toneladas, sendo que moluscos com casca (16,9 milhões de toneladas) constituem 58,8% da produção combinada da aquicultura marinha e costeira.

A China destaca-se neste cenário, representando cerca de 60% da produção mundial de pescado, seguida pela Índia e Bangladesh. Já o Brasil ocupa a 13^a colocação no ranking dos principais produtores, com 225.000 toneladas, mobilizando cerca de 800 mil profissionais, entre pescadores e aquicultores, e proporcionando 3,5 milhões de empregos diretos e indiretos (BRASIL, 2014).

A produção de peixes oriunda da pesca é maior nas regiões Nordeste, Norte e Sudeste do Brasil, contudo a aquicultura merece destaque no Centro-Oeste e no Sul do país. A região Sul, em especial, representou em 2011 uma produção aquícola de 172,4 mil toneladas, sendo o mexilhão e a ostra as principais espécies marinhas cultivadas, e tilápia, carpa e jundiá (*Rhamdia quelen*), as espécies que representaram a piscicultura continental (BRABO et al., 2016).

Segundo Routledge et al. (2012) e Kubitza (2015), o Brasil é considerado um dos países de maior potencial para aquicultura. Essa afirmação pode ser explicada por alguns aspectos: 1) forte mercado doméstico; 2) indústria de rações bem estabelecida; 3) clima tropical; 4) abundância de recursos hídricos (8.500 km de faixa costeira com grandes perspectivas futuras para maricultura); 5) localização estratégica para escoamento da produção para toda a América e Europa e 6) território amplo (8,5 milhões de km²), incluindo grandes áreas favoráveis para a construção de tanques e açudes.

Apesar disso, Kubitza, Campos, Ono & Istchuk (2012) elencaram inúmeros fatores limitantes para o desenvolvimento da aquicultura brasileira, tais como: 1) dificuldade de regularização ambiental; 2) elevado custo de produção; 3) assistência técnica insuficiente; 4) qualificação dos produtores deficiente; 5) dificuldade de financiamento e de acesso à tecnologia; 6) limitações do mercado regional; e 7) mortalidade de peixes por enfermidades. Por outro lado, Nadarajah & Flaaten (2017) destacam também a influência dos fatores ambientais sobre a produtividade de organismos aquáticos, tais como: as interações entre os animais, o tipo de ração, condições de cultivo e fatores climáticos.

Diante deste cenário, a pesquisa científica destaca-se como uma importante ferramenta para o desenvolvimento da aquicultura brasileira, especialmente em relação à redução dos efeitos ambientais sobre a saúde dos animais. Com relação à esse aspecto, deve-se considerar que o cultivo de peixes mais saudáveis reflete na redução de mortalidade, proporcionando maior regularidade no fornecimento, e também na qualidade dos pescados. Estes fatores favorecem o incremento do consumo de peixes pela população e por consequência da atividade econômica correspondente.

1.2.2 Caracterização das espécies em estudo

1.2.2.1 Robalo-flecha

O robalo-flecha, *Centropomus undecimalis* (Bloch, 1792), representante da família Centropomidae, é uma espécie euriálica, que habita águas marinhas e ambientes estuarinos presentes desde as áreas litorâneas ocidentais do Oceano Atlântico na Flórida, nos Estados Unidos, até Santa Catarina, no Brasil (ALVAREZ-LAJONCHERE; TSUZUKI, 2008). A distribuição do mesmo vai depender de condições ótimas de temperatura e salinidade. Conforme Shafland & Foote (1983) e Howells et al. (1990) a faixa de temperatura entre 25°C e 29°C e salinidade em torno de 34‰ são desejáveis para o melhor desenvolvimento do robalo. O ponto isosmótico encontra-se entre 11‰ e 13‰.

É uma espécie que possui corpo robusto terminando numa cabeça pontuda, nadadeira dorsal com perfil angular e uma linha preta que cruza seu corpo até a nadadeira caudal. Pode chegar a medir cerca de 130 centímetros e pesar entre 20 a 23 kg (Figura 1) (AMSLER, 2000; ALVAREZ-LAJONCHERE & TSUZUKI, 2008).

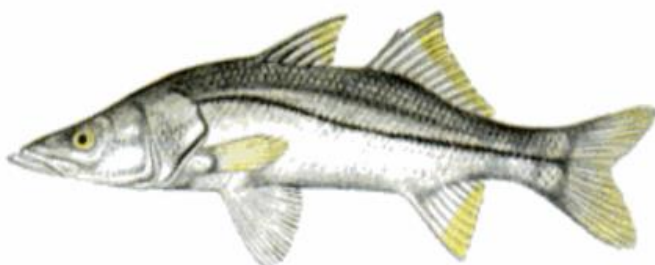


Figura 1 – Robalo-flecha, *Centropomus undecimalis* (Bloch, 1972). Fonte: Amsler, 2000.

Os robalos são considerados predadores oportunistas, tendo em vista que variam a alimentação de acordo com a disponibilidade de alimento. Seu hábito alimentar preferencial é composto por crustáceos, moluscos e outros peixes, contudo análises do conteúdo estomacal desta espécie encontraram uma grande variedade de itens, que vão desde crustáceos e moluscos até ovos de peixe e insetos (BARROSO et al., 2002; COSTA-FILHO, FABREGAT & ROSA, 2013). Apesar de possuírem um regime alimentar carnívoro, bons resultados vêm

sendo obtidos na engorda de robalos empregando-se rações comerciais (TSUZUKI et al., 2008).

Esta espécie também é protândrica e as fêmeas de robalo-flecha são animais de porte grande o que dificulta a sua captura e manipulação em laboratório, refletindo na permanência em cativeiro. Além disso, alguns estudos demonstraram que este peixe apresentou uma pequena porcentagem de fertilização devido ao pequeno volume de sêmen obtido dos machos. A temperatura pode afetar a maturação de reprodutores em cativeiro enfatizando a importância de novos experimentos para determinar a ação da temperatura e de outros parâmetros ambientais, de forma a se obter melhorias no controle do cultivo de robalos em confinamento (COSTA-FILHO, FABREGAT & ROSA, 2013).

É considerada uma espécie com grande potencial para aquicultura, uma vez que é muito procurada por pescadores esportivos, movimentando um importante segmento de turismo de pesca. Além disso, o interesse pelo cultivo desta espécie pode ser justificado pela rápida taxa de crescimento e grande resistência durante os processos de manejo e boa aceitação do cativeiro. Liebl et al. (2016), ao compararem o desenvolvimento de peixes juvenis das espécies robalo-peva (*Centropomus parallelus*) e robalo-flecha, evidenciaram uma taxa de 0,23% por dia de crescimento para ambas as espécies. No que se refere à resistência ao manejo, apesar dos problemas constatados com o parasitismo e manipulação frequente dos robalos, Souza-Filho & Cerqueira (2003) demonstraram um fácil condicionamento dos juvenis desta espécie às condições de confinamento. Cabe considerar ainda que esta espécie possui uma saborosa carne branca, sendo comercializada a preços elevados (cerca de R\$ 70,00 o kg) (CAVALLI & HAMILTON, 2007; SANCHES, SILVA & RAMOS, 2014).

1.2.2.2 Tainha

A tainha, *Mugil Liza* (Valenciennes, 1938) pertence à família Mugilidae. Trata-se de uma espécie encontrada no Atlântico Sul, Caribe e América do Sul (SICCHA-RAMIREZ et al., 2014). No Brasil ocorre em todo o litoral (SZPILMAN, 2000). Assim como o robalo-flecha, também é eurihalina, mas segundo Lisboa et al. (2015) os peixes criados à salinidade 24 ‰ crescem melhor que aqueles mantidos em água doce (salinidade 0 ‰). O ponto isosmótico da espécie é 12 ‰ (LISBOA et al., 2015). Fortunato et al. (2017) explicam que a tainha

apresenta diferentes comportamentos migratórios, parecendo ser uma espécie principalmente costeira, com baixa utilização dos estuários.

Esta espécie possui corpo alongado, fusiforme, com estrias escuras longitudinais alternadas com estrias claras e a ausência de linha lateral. Atinge um comprimento máximo de 80 centímetros, mas o tamanho usual é de 40 centímetros. Possui 5 espinhas dorsais com 8 raios moles dorsais e 3 espinhas anais com 8 raios moles anais. Pode pesar entre 6 e 8 kg (ROBINS, 1986) (Figura 2).



Figura 2 – Tainha, *Mugil liza* (Valenciennes, 1938). Fonte: FAO

A alimentação da tainha é baseada principalmente em detritos e microalgas filamentosas que estão em processo de decomposição microbiana, sendo portanto denominada uma espécie detritívora. De acordo com Galvão et al. (1997) e Ramos et al. (2015) o estômago da tainha possui músculos altamente desenvolvidos, dobras profundas e sem glândulas digestivas que possui a função primária de triturar alimentos, comparável à moela em pássaros. Os machos amadurecem mais cedo que as fêmeas e são menos numerosos (ROBINS, 1986).

Souza, Silva & Steenbock explicam que este peixe é conhecido no Brasil pela importância econômica e sociocultural. A pesca artesanal da tainha no Estado de Santa Catarina foi declarada pela Lei nº 15.922/2012 (SANTA CATARINA, 2012) como integrante do Patrimônio Histórico, Artístico e Cultural do Estado de Santa Catarina. No que se refere ao interesse comercial, a exportação de ovas é o principal objetivo (BRASIL, 2015), mas a carne é bastante apreciada e considerada de boa qualidade pelos mercados interno (SZPILMAN, 2000). Além de sua importância econômica, a tainha também apresenta potencial para a piscicultura por suportar bem as condições de confinamento, aceitar com facilidade a alimentação artificial e resistir às variações amplas de temperatura e de salinidade (VIEIRA & SCALABRIN, 1991).

1.2.3 Fatores que influenciam as condições de saúde dos peixes

Peixes criados em sistemas de aquicultura enfrentam vários tipos de estressores que podem ser classificados em estressores abióticos e bióticos. Os fatores abióticos consistem nas influências que os peixes possam sofrer, derivadas de aspectos físicos, químicos ou físico-químicos do meio ambiente. Já os fatores bióticos dizem respeito à interação dos peixes com outros organismos vivos presentes no meio (SUBRAMANI & MICHAEL, 2017). A Figura 3 exemplifica alguns destes fatores.

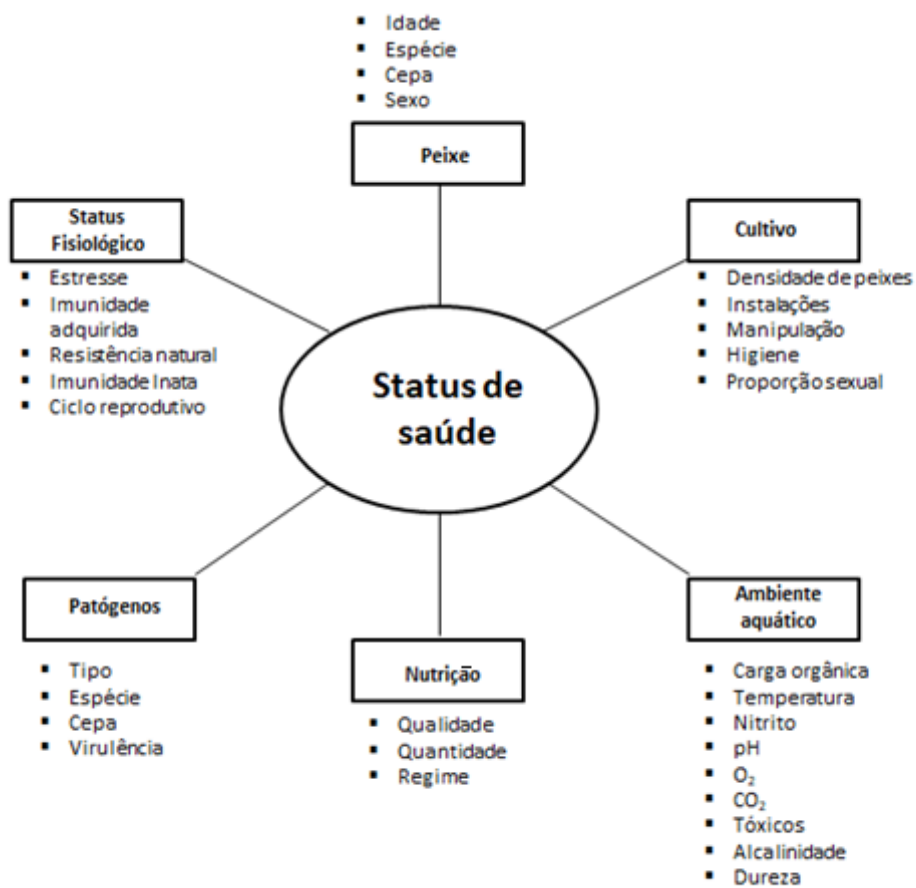


Figura 3 – Fatores que afetam o status de saúde dos peixes. Adaptado de Subramani & Michael (2017).

1.2.3.1 Nutrição

A importância da dieta fornecida aos peixes vai além das perspectivas de crescimento, taxa de conversão alimentar e ausência de síndromes de deficiência. Atualmente, os criadores de peixes adquirem rações para peixes com base em vários aspectos, incluindo saúde normal e resistência a doenças (SUBRAMANI & MICHAEL, 2017).

De acordo com Vallejos-Vidal et. al (2016) compostos com propriedades imunoestimulantes têm sido considerados promissores como aditivos na dieta dos animais. Este tipo de substância, caracterizada como um produto natural ou de natureza química capaz de estimular o sistema imunológico, favorece o ganho de peso, eficiência alimentar e/ou resistência a doenças em peixes cultivados. Todos estes fatores otimizam a produtividade das espécies em cultivo.

Por outro lado, embora ocorra melhora de alguns parâmetros do sistema imunológico, efeitos positivos no resultado final da resposta imune integrada podem não ocorrer, uma vez que a alteração de um único parâmetro pode não causar um impacto detectável na resposta imune dos peixes. Essa afirmação pode ser explicada pela grande diversidade de espécies cultivadas e pela falta de compreensão total sobre o sistema imunológico das diferentes espécies de peixes. Portanto, o estudo da imunonutrição ainda não está totalmente desenvolvido, consistindo num campo bastante amplo para a pesquisa (POHLENZ & GATLIN, 2014).

De acordo com Subramani & Michael (2017) encontrar o efeito de um determinado nutriente no sistema imune dos peixes é desafiador, devido à possível contaminação da água que por si só expõe os peixes à diversos microorganismos e também pela natureza ectotérmica dos animais, tendo em vista que diferentes temperaturas podem gerar resultados diversos.

1.2.3.2 Equilíbrio fisiológico

O cultivo de animais de vida aquática enfrenta dentre outros desafios a manutenção da homeostasia dos peixes, já que os estressores ambientais e de manejo envolvidos resultam em

respostas fisiológicas destes animais, a fim de adaptar seus sistemas biológicos e reorganizar o metabolismo para lidar com o excesso de energia necessária para suportar o estressor (PANAGIOTAKI; MALANDRAKIS, 2018).

O estresse pode ser agudo ou crônico, dependendo da duração e da severidade dos estressores envolvidos. O estresse agudo é um estado que os peixes experimentam por um curto período de tempo. Por outro lado, o estresse crônico do peixe provoca respostas fisiológicas por exposição leve, constante e/ou recorrente. Embora ambos os tipos de estresse apresentem graves efeitos sobre a saúde dos peixes, a resposta ao estresse é um mecanismo de defesa evolutivo (PANAGIOTAKI; MALANDRAKIS, 2018).

Neste contexto, muitos indicadores bioquímicos têm sido propostos como índices de estresse na literatura científica. Dentre eles, os níveis de estresse oxidativo, da atividade do sistema antioxidante e do sistema imune representam indicativos importantes do estado fisiológico que se encontram as espécies em cultivo.

1.2.3.3.1 Estresse oxidativo

O estresse oxidativo (Figura 4) pode ser caracterizado pela elevação nos níveis endógenos de espécies reativas de oxigênio (EROs) em decorrência do excesso de produção das mesmas ou da diminuição dos níveis de antioxidantes celulares (HALLIWELL; GUTTERIDGE, 1999). A mitocôndria é a principal fonte geradora de EROS, cuja toxicidade depende da quantidade, da natureza química, localização celular e tecidual, e das taxas de formação e degradação (SCHMIDT et al., 2015).

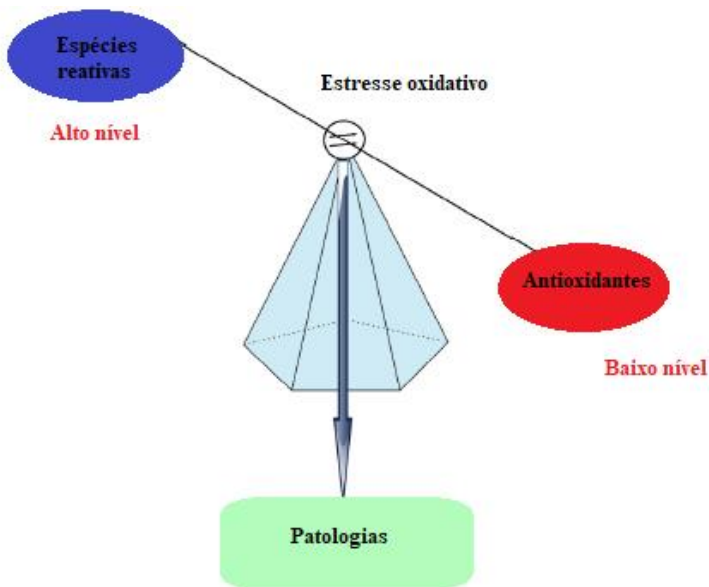


Figura 4 – Estresse oxidativo: Desequilíbrio entre espécies reativas e antioxidantes

Os animais aquáticos estão sujeitos a uma grande quantidade de fatores extrínsecos que podem gerar estresse oxidativo. De acordo com Halliwell & Gutteridge (2015), temperaturas mais altas estão associadas com um aumento na taxa metabólica, o que leva a um aumento do consumo de oxigênio (O_2), gerando estresse oxidativo. O desenvolvimento desta condição também está correlacionada de modo direto com a quantidade de oxigênio dentro de um organismo. Portanto, quanto maiores os níveis de O_2 , maior a probabilidade de ocorrência de oxidação celular. Mudanças na salinidade também induzem estresse oxidativo em peixes, tendo em vista que impõem respostas fisiológicas e comportamentais aos animais. Outro fator importante é a presença de contaminantes e patógenos no meio, pois a ativação do sistema imune é dependente da geração de espécies reativas de oxigênio (EROs) (ASLANI & GHOBADI, 2016; BIRNIE-GAUVIN et al., 2017; LUSHCHAK, 2011).

A excessiva produção de EROS têm por consequência a oxidação de biomoléculas, sobretudo oxidação de lipídeos, proteínas e ácido desoxirribonucleico (DNA) (BARBOSA, 2010; HALLIWELL, WHITEMAN, 2004; MAYNE, 2003; VINCENT; INNES; VINCENT, 2007). Os metabólitos gerados a partir das reações oxidativas podem ser quantificados e, portanto, constituem importantes biomarcadores da ocorrência do estresse oxidativo.

A peroxidação lipídica trata-se de um processo no qual oxidantes atacam lipídios da membrana celular que contém ligações duplas carbono-carbono, especialmente ácidos graxos poli-insaturados. As principais EROS que podem afetar os lipídios são o radical hidroxila ($HO\cdot$)

e hidroperoxila (HOO^\cdot). Sob taxas de oxidação lipídica fisiológica, as células estimulam sua manutenção através do sistema de defesa antioxidant (AYALA, MUÑOZ & ARGÜELLES, 2014). Todavia, sob condições tóxicas a ocorrência deste processo pode afetar a função celular, a ação de receptores de enzimas e a permeabilidade a alguns íons, desencadeando danos ao organismo dos peixes e, consequentemente, diminuindo a produtividade na aquicultura (HALLIWELL; CHIRICO, 1993).

Além dos lipídios, outras biomoléculas que também sofrem alterações oxidativas são as proteínas, especialmente devido a sua abundância nos sistemas biológicos (HOHN; KONIG; GRUNE, 2013). Sua oxidação ocorre em resíduos de metionina, cisteína, prolina, histidina, arginina, lisina, triptofano, tirosina, fenilalanina e valina, e, como consequência, são gerados compostos carbonílicos (OGA; CAMARGO; BATISTUZZO, 2014). A formação de derivados carbonílicos leva a alterações conformacionais e diminuição da atividade catalítica de enzimas, resultando em degradação proteica. Diante disso, a investigação do conteúdo de biomarcadores de oxidação proteica nas células é um parâmetro importante para investigar a influência das condições experimentais em peixes (ALMROTH et al., 2005; CATTANEO et al., 2011; MORAES et al., 2011; PARVEZ; RAISUDDIN, 2005; TONI et al., 2011;).

As EROS podem ainda danificar o DNA. O radical hidroxil em especial, possui a capacidade de adicionar ligações duplas nas bases heterocíclicas de DNA e também de abstrair hidrogênio da base nitrogenada timina e de cada um dos carbonos da desoxirribose (DIZDAROGLU et al., 2002). Tais danos, que podem ser quantificados através da aplicação do teste cometa e determinação de micronúcleo, são frequentemente utilizados para medir o impacto das EROS em peixes expostos aos xenobióticos (VASCONCELOS et al., 2007).

1.2.3.3.2 Sistema antioxidant

Sob condições fisiológicas favoráveis, os antioxidantes endógenos neutralizam o excesso de EROS. Os principais antioxidantes intrínsecos se dividem entre os que agem enzimaticamente, a exemplo da superóxido dismutase (SOD), catalase (CAT), glutationa peroxidase (GPx), glutationa-S-transferase (GST), ou não enzimaticamente, como a glutationa reduzida (GSH) (BARREIROS; DAVID; DAVID, 2006).

As enzimas SOD, CAT e GPx constituem a primeira linha de defesa antioxidant (Figura 5). A primeira enzima a atuar é a SOD. A SOD representa a única enzima que atua de

modo específico sobre o ânion superóxido (O_2^-) catalisando sua dismutação em O_2 e H_2O_2 (LEI et al., 2016), conforme representado na equação (5), a seguir: (5) $O_2\cdot^- \rightarrow H_2O_2 + O_2$ Duas isoformas desta enzima já foram identificadas em peixes: (1) MnSOD ou SOD mitocondrial, que possui o manganês como metal cofator em seu sítio ativo; (2) Cu/ZnSOD ou SOD citosólica, cujos cofatores no sítio ativo são cobre e zinco. Tais isoformas, apesar de serem originárias de genes distintos e possuírem localização subcelular, catalisam a mesma reação (FUKAI & USHIO-FUKAI, 2011).

O H_2O_2 resultante da atuação da SOD também constitui uma espécie reativa a ser neutralizada. Neste contexto, evidenciamos a ação de outras duas enzimas, a CAT e a GPx.

A catalase é uma enzima composta por quatro subunidades contendo um grupo heme, com ferro férrico em cada uma das subunidades, encontrada em abundância no fígado, nos rins e nos glóbulos vermelhos (WINTERNITZ; MELOY, 1908). Assim como a GPx, sua principal função é catalisar a dismutação do H_2O_2 em água e oxigênio molecular, conforme representado nas equações (3) e (4), a seguir: (3) $CAT (\text{Porf-Fe}^{\text{III}}) + H_2O_2 \rightarrow \text{Cpd I} (\text{Porf}^{\cdot+} - \text{Fe}^{\text{IV}} = O) + H_2O$; (4) $\text{Cpd I} (\text{Porf}^{\cdot+} - \text{Fe}^{\text{IV}} = O) + H_2O_2 \rightarrow CAT (\text{Porf-Fe}^{\text{III}}) + H_2O + O_2$. Segundo Valko et al. (2006) existe uma competição entre GPx e CAT para catalisar a hidrólise da espécie reativa supracitada. Durante a reação enzimática que leva à metabolização de H_2O_2 , a catalase é oxidada a um composto intermediário, conhecido como composto I (Cpd I), que é então reduzido de volta, utilizando uma segunda molécula de H_2O_2 (HEINZELMANN, BAUER, 2010; GLORIEUX; CALDERON, 2017). Segundo Krych-Madej & Gebicka (2017), a CAT também é capaz de decompor o peroxinitrito, através da oxidação do óxido nítrico, na presença de H_2O_2 .

Já a GPx, que é uma enzima que existe endogenamente sob duas isoformas (dependente e independente de selênio), fornece a principal proteção contra baixos níveis de dano oxidativo (VALKO et al., 2006). Esta enzima, embora já tenha sido relacionada a inúmeras atividades biológicas, é reconhecida por contribuir com a homeostasia dos níveis de peróxido de hidrogênio (H_2O_2) e hidroperóxidos, que são espécies reativas (ASLANI & GHOBAD, 2016). As reações catalisadas pela GPx ocorrem na presença de GSH e promovem a geração de álcool e água, conforme representado esquematicamente nas equações (1) e (2), a seguir: (1) $H_2O_2 + 2GSH \rightarrow 2H_2O + GSSG$; (2) $ROOH + 2GSH \rightarrow ROH + GSSG + H_2O$. O principal órgão de síntese desta enzima é o rim, todavia as maiores concentrações teciduais encontram-se no fígado (YOUNG & WOODSIDE, 2001).

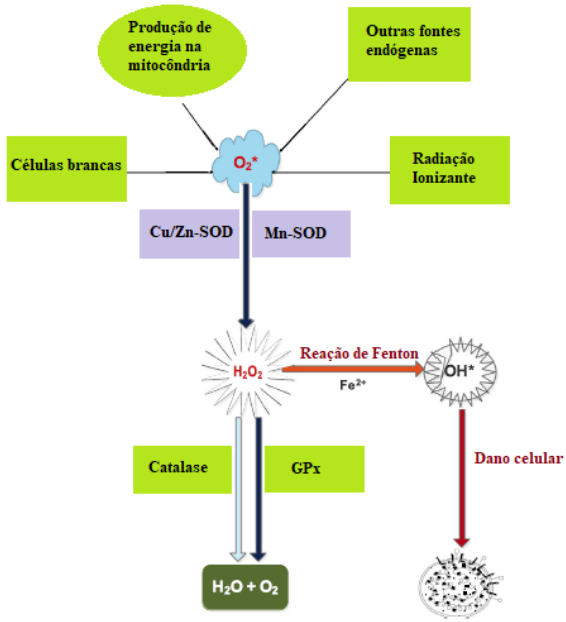


Figura 5 – Primeira linha de defesa antioxidante. Adaptado de Ighodaro & Akinloye (2017)

Outra família de enzimas que funciona catalisando reações de eliminação de xenobióticos, é a das glutationa-S-transferases (GSTs) (JAKOBY, 1978). A atuação desta família de enzimas ocorre através da catalisação da conjugação de GSH a eletrófilos e xenobióticos, facilitando a sua eliminação (SMEYNE & SMEYNE, 2013). Outra função importante, abordada mais recentemente, diz respeito à atuação das GSTs sobre os níveis intracelulares do 4-hidroxinonenal, um produto da peroxidação lipídica que é utilizado como substrato por estas enzimas detoxificantes (AWASTHI et al., 2017). Diante disso, as GSTs representam uma importante linha de defesa para os peixes, visto que estes são naturalmente suscetíveis a xenobióticos presentes na água.

No que se refere à neutralização de EROs através de substâncias não enzimáticas, destaca-se a glutationa reduzida. A GSH é a principal representante do sistema antioxidante não enzimático endógeno. Trata-se de um tiol não proteico que reage com espécies reativas para inibir o estresse oxidativo celular. Além disso, facilita a atividade de enzimas antioxidantes, tais como a GPx e a GST, permitindo a neutralização de compostos oxidantes. A proporção entre os

níveis de GSH e glutationa oxidada (GSSG) mantém o equilíbrio celular redox (REN et al., 2017).

Cabe salientar ainda a importância de compostos dietéticos no combate às EROs, pois pesquisas têm demonstrado que a adição de antioxidantes naturais à alimentação dos peixes podem contribuir para melhorar o desempenho e a capacidade do sistema antioxidante endógeno (ZHENG et al., 2009; SACCOL et al., 2013). Segundo Birnie-Gauvin et al. (2016), a dieta contendo principalmente antioxidantes lipossolúveis é capaz de beneficiar o *status* oxidativo dos peixes, embora isso possa ocorrer de diferentes maneiras, quando consideramos a espécie e o tipo de dieta utilizada.

Pê's et al. (2016) suplementaram a dieta de *Rhamdia quelen* com quercentina e evidenciaram que após 21 dias houve diminuição de LPO em todos os tecidos avaliados e aumento da atividade de SOD (cérebro, brânquias, fígado e músculo), CAT (fígado e rim), GPx (cérebro, brânquias, fígado) e GST (brânquias, fígado, rim e músculo) deste peixe. Em outro estudo conduzido por Saccol et al. (2013), a dieta de *R. quelen* foi suplementada com o óleo essencial de *Lippia alba* e parâmetros de crescimento, metabolismo, sanguíneos e biomarcadores de estresse oxidativo foram avaliados. Tais autores evidenciaram que o aditivo estudado diminui a lipoperoxidação (LPO), aumenta as reservas de glicogênio e lactato e aumenta a resposta antioxidante dos tecidos, sendo portanto recomendada a suplementação da dieta do jundiá com o óleo essencial estudado.

1.2.3.3.4 Sistema imune e a imunidade inata

O sistema imune, apesar de bastante complexo, é definido por Córdova (1994) como um sistema composto por células e moléculas imprescindíveis para a defesa frente a infecções e/ou situações que comprometam a integridade do organismo. Abbas, Lichtman e Pillai (2015) e Levinson (2016) relatam que o sistema imune é responsável pela defesa contra micro-organismos infecciosos e substâncias estranhas não infeciosas. Awad & Awaad (2017) definem o sistema imunológico como um grupo de mecanismos biológicos que protegem organismos vivos de patógenos invasores. Já Rao (2018) explica que apesar de ser conhecido como um sistema de células que ingerem e destroem patógenos, o sistema imunológico desenvolve uma variedade de funções, incluindo (1) a capacidade de discriminar agentes

patogênicos prejudiciais dos抗ígenos inofensivos; (2) depuração de células e tecidos mortos e (3) a promoção da cicatrização de feridas e reconhecimento de células.

De modo geral, os mecanismos de defesa são mediados pelas reações iniciais da imunidade inata, também denominada imunidade natural ou não-específica e pelas respostas tardias provenientes da imunidade adaptativa ou específica (ABBAS; LICHTMAN; PILLAI, 2015; LEVINSON 2016; SECOMBES & WANG, 2012). As respostas inatas ocorrem em questão de minutos, por meio da atuação de neutrófilos, monócitos/macrófagos, células dendríticas, células “natural killers” e de moléculas como as proteínas do sistema complemento (LE PAGE et al., 2017). Já as defesas específicas demoram dias para o início da atuação e são mediadas pela atuação de linfócitos T, responsáveis pelas defesas celulares e linfócitos B, que atuam através de respostas humorais (anticorpos) (ABBAS; LICHTMAN; PILLAI, 2015; LEVINSON 2016; SECOMBES & WANG, 2012).

Os peixes combinam tanto os mecanismos provenientes da resposta imune inata, que consiste na resposta inicial aos micro-organismos, prevenindo, controlando e eliminando a infecção, quanto os da imunidade adaptativa na defesa contra抗ígenos ou patógenos (SECOMBES & WANG, 2012). Apesar disso, conforme Bly & Clem (1994) a resposta imune inata desempenha papel de destaque nos peixes, uma vez que nesses animais as defesas específicas respondem de uma forma mais lenta aos agentes agressores quando comparados aos mamíferos (SECOMBES, 1996).

Os componentes da imunidade inata atuam de forma conjunta para limitar a ocorrência de infecções e lesão celular através de dois tipos principais de reações teciduais: (1) inflamação, caracterizada pelo recrutamento de leucócitos e proteínas plasmáticas; (2) defesa antiviral, que consiste em uma reação mediada por citocinas, na qual as células adquirem resistência às infecções virais e também na morte das células infectadas por vírus, através da atuação das células “natural killers” (ABBAS; LICHTMAN; PILLAI, 2015).

As proteínas do sistema complemento constituem um dos principais componentes da imunidade inata humorai, uma vez que participam da remoção dos invasores e ainda da depuração de células auto modificadas, como células apoptóticas e detritos. Esse sistema pode ser ativado por três vias: (1) Via clássica: ativada por um anticorpo ligado ao抗ígeno alvo ou de forma independente, pela presença de vírus e bactérias Gram-negativas; (2) Via alternativa:

iniciada pela ligação covalente de moléculas C3 com grupos hidroxila ou amina na superfície celular de micro-organismos; (3) Via da lectina: iniciada com a ligação de lectinas ligadoras de manose ou ficolinas a padrões de carboidratos em superfícies microbianas. Após a ativação, as proteínas se depositam na superfície dos micro-organismos invasores e promovem a fagocitose através da opsonização. Além disso, ocorre a recruta, dentre outros, dos mediadores pró-inflamatórios, compostos citolíticos e compostos antimicrobianos prejudiciais aos micro-organismos (SECOMBES & WANG, 2012; ZIFPEL & SHERKA, 2009).

O papel da lisozima na defesa contra micro-organismos também já é amplamente reconhecido. Trata-se de uma proteína básica, composta por 129 resíduos de aminoácidos, presente em vários fluidos do organismo, que atua como um agente bactericida potente. Especialmente contra bactérias Gram-positivas, uma vez que destroi a camada de peptidoglicano presente na parede celular. Para que bactérias Gram-negativas sejam atingidas, é necessário que a barreira de permeabilidade seja superada e a camada de peptideoglicanos interna seja exposta (DI FALCO; CAMMARATA & VIZZINI, 2016; IBRAHIM, AOKI & PELLEGRINI, 2002).

Outro importante componente do sistema imune para o combate às infecções é a mieloperoxidase (MPO). Esta enzima está presente nos neutrófilos e em menor quantidade em monócitos, cuja atuação é fundamental para a fagocitose, pois catalisa a produção de ácido hipocloroso, tóxico aos micro-organismos. Contudo, caso ocorra a difusão desta enzima para os tecidos pode ocorrer dano tecidual e desencadear um processo inflamatório (HOY et al., 2002; KLEBANOFF, 2005; RUSSEL et al., 2017).

Nos últimos anos, estudos que visam identificar compostos imunoestimulantes naturais para prevenir doenças na aquicultura foram intensificados (LEE et al., 2015; SUTILI et al., 2016). Especialmente porque o uso de quimioterápicos e antimicrobianos para controlar doenças nos peixes leva a efeitos desfavoráveis, como o desenvolvimento de cepas resistentes a antimicrobianos e acumulação desses compostos no ambiente e/ou tecido dos peixes que, em última análise, refletem sobre a saúde humana (AWAD & AWAAD, 2017).

Neste contexto, alguns extrativos vegetais têm se mostrado como alternativas na estimulação do sistema imunológico quando adicionados à ração dos peixes, uma vez que são considerados mais seguros e baratos para prevenir e/ou controlar infecções (AWAD &

AWAAD, 2017). A exemplo disso, o extrato de *Origanum vulgare* (1%) melhorou a atividade de explosão respiratória, atividade fagocítica e atividade de lisozima sérica após oito semanas em *Oncorhynchus mykiss* (POURMOGHIM, HAGHIGHI & ROHANI, 2015). A dieta suplementada com a erva chinesa *Sophora flavescens* aumentou significativamente, em todas as doses testadas (0.025%, 0.050%, 0.100%, 0.200%, and 0.400%), dentre outros parâmetros a quantidade de lisozima do soro, a atividade do sistema complemento e da mieloperoxidase na tilápia do Nilo (*Oreochromis niloticus*) desafiada com *Streptococcus agalactiae* (WU et al., 2013).

1.2.4 Antimicrobianos e produtos naturais na aquicultura

Durante as últimas décadas, os antimicrobianos têm sido empregados como principal estratégia para o manejo de doenças de peixes. Contudo, o desenvolvimento e disseminação de bactérias resistentes e genes de resistência, e também a ocorrência de resíduos antimicrobianos em produtos da aquicultura emergem como uma preocupação relacionada à esta vasta utilização (FEČKANINOVÁ et al., 2017). Conforme Gastalho, Da Silva & Ramos (2014) o uso de antimicrobianos em aquacultura apresenta riscos de contaminação do meio ambiente, com possíveis nefastas e imprevisíveis consequências nos ecossistemas aquáticos, assim como impacto na saúde pública.

Outro fator importante, que está relacionado ao desenvolvimento sustentável na indústria da aquicultura, é a necessidade de métodos que minimizem os altos custos do tratamento com antimicrobianos. Nesse sentido, a melhora da resistência dos peixes saudáveis contra patógenos e estresse ambiental associado a baixos custos torna-se fundamental. Para este propósito, o uso de produtos naturais com propriedades antioxidantes, imunoestimulantes ou antimicrobianas tem sido uma alternativa no cultivo de animais aquáticos (ZARGARI; MAZANDARANI & HOSEINI).

Neste cenário, merecem destaque os óleos essenciais (OEs). Estes são líquidos voláteis e aromáticos extraídos das plantas constituídos por uma mistura de compostos orgânicos (KAČÁNIOVÁ et al. 2017). Bajpai, Baek & Kang (2012) & Kačániová et al. (2017) enfatizam que a composição química dos OEs é fundamental para as atividades biológicas demonstradas, uma vez que, dentro da mistura, os constituintes podem apresentar potenciação, adição, sinergia, ou ainda efeitos antagônicos, modificando a atividade quando administrados isoladamente (EFFERTH, KOCH, 2011). Sutili et al. (2017) explicam que o processo de extração, a concentração utilizada, o método de administração e as condições de armazenamento também são determinantes para a atividade biológica dos OEs. A área geográfica de localização da planta e o tempo de colheita também influenciam a composição e por consequência, a atividade dos OEs (DIMA & DIMA, 2015).

1.2.4.1 Citral

O citral, mistura dos diastereoisômeros neral (*Z*-citral ou α -citral) e geranal (*E*-citral ou β -citral) (Figura 6) é um componente de óleos essenciais extraídos de diversas plantas, tais como capim-limão (*Cymbopogon citratus*), melissa (*Melissa officinalis*), verbena (*Verbena officinalis*), erva-cidreira-brasileira (*Lippia alba*), erva-luísia (*Aloysia triphylla*) entre outros. Na prática é utilizado como aditivo alimentar e como fragrância em cosméticos, devido ao seu agradável aroma de limão (DUDAI et al., 2005).

Biologicamente, este constituinte já foi relacionado às atividades sedativa (DO VALE et al., 2002), antifúngica (FERREIRA et al., 2009) e anti-inflamatória (BACHIEGA; SFORCIN, 2011; PONCE-MONTER et al., 2010), tendo sido detectados também efeitos antinociceptivos (ORTIZ et al., 2010) e mais recentemente um promissor efeito anestésico (SOUSA et al., 2015). Zhang et al. (2014) demonstraram a capacidade do citral de inibição da formação de biofilme de bactérias, indicando que esta substância apresenta potencial de uso como conservante alimentar. Em outro estudo, Silva-Ângulo et al. (2015) reforçaram a hipótese de que o citral possui propriedades antibacterianas, tendo em vista que este monoterpenoide exibiu atividade contra *Listeria innocua* e *Listeria monocytogenes*. O citral também tem sido relacionado a propriedades antioxidantes. Sacchetti et al. (2005) avaliaram “*in vitro*” as atividades antioxidantes de inúmeros óleos essenciais e encontraram mais de 60% de atividade antioxidante para o óleo essencial de capim-limão, que apresentava um teor de 73,58% de citral em sua composição. Rabbani et al. (2006) testaram em seu estudo a atividade antioxidante do citral *in vitro* e observaram que o monoterpenoide apresenta uma boa atividade de eliminação do radical superóxido. Baschieri et al. (2017) explicaram que alguns terpenoides como o citral reduzem a concentração de radicais peroxila, funcionando como potenciadores de terminação, etapa final da peroxidação lipídica. No tocante aos efeitos sobre o sistema imune, os estudos são escassos.

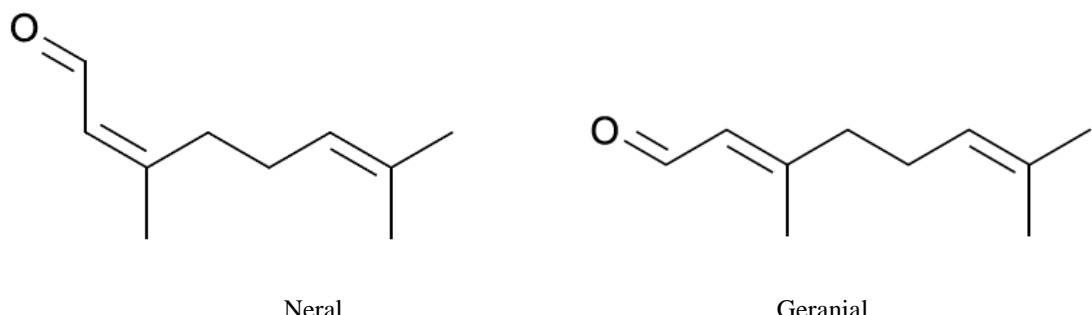


Figura 6 – Estrutura química do neral (α -citrал) e geranial (β -citrал), isômeros componentes do citral.

No que se refere às espécies aquáticas, alguns estudos também já demonstraram atividade biológica de óleos essenciais compostos majoritariamente pelo citral. Por exemplo, o óleo essencial de *A. triphylla* demonstrou ter a capacidade de estender a vida de prateleira e o tempo de refrigeração do filé de jundiá (*R. quelen*) além de aumentar o crescimento desta espécie, sendo portanto recomendado como um aditivo alimentar (DANIEL et al., 2014; ZEPPENFELD et al., 2015). Kizak et al. (2018), avaliaram a eficácia do OE de *Cymbopogon citratus* como anestésico em duas espécies de peixes ornamentais, *Sciaenochromis fryeri* e *Labidochromis caeruleus*. Neste caso, a concentração de 200 μ L/L induziu anestesia profunda, sem promover mortalidade ou efeitos adversos nas duas espécies. Souza et al. (2017), avaliaram o efeito anestésico de OE de dois quimiotipos *Lippia alba* (citrál e linalol) em jundiá (*R. quelen*). Para ambas as variedades de plantas o resultado foi promissor, embora aquela que continha o citral como constituinte majoritário (54,26%) tenha induzido maiores níveis de creatinina. Bandeira Junior et al. (2018), avaliaram o efeito anestésico e ansiolítico das folhas de *A. triphylla* (39,91% de α -citrál) em jundiá (*R. quelen*) e zebrafish (*Danio rerio*). Para ambas as espécies houve efeito ansiolítico sem alterar padrões locomotores ou indução de comportamento aversivo.

Apesar de numerosos estudos demonstrando o potencial de OEs contendo citral na aquicultura, trabalhos com este constituinte isolado aplicado ao incremento da produção animal são escassos. Assim, considerando o fato de que os peixes não são capazes de sintetizar este monoterpenoide, torna-se importante a investigação dos efeitos da aplicação do mesmo na piscicultura. A complementação dietética e/ou a adição do citral na água poderia ser benéfica tanto para melhorar as condições de saúde, como para a prevenção de doenças, levando a um aumento na produtividade e beneficiando o cultivo de peixes no Brasil.

2. OBJETIVOS

2.1 OBJETIVO GERAL

Avaliar o potencial do citral para uso como aditivo alimentar na aquicultura em diferentes espécies de peixes

2.2 OBJETIVOS ESPECÍFICOS

- Quantificar os isômeros do citral (α e β -citral = neral e citronelal, respectivamente) presentes na mistura racêmica utilizada no estudo;
- Avaliar o efeito de diferentes concentrações de citral sobre a atividade das enzimas superóxido-dismutase (SOD), catalase (CAT), glutationa-peroxidase (GPx), glutationa-S-transferase (GST) em fígado e brânquias de robalo-flecha e tainha;
- Avaliar o efeito de diferentes concentrações de citral sobre os níveis de tióis não protéicos e sobre a formação de hidroperóxidos lipídicos em fígado e brânquias de robalos-flecha e tainha;
- Avaliar o efeito de diferentes concentrações de citral sobre os parâmetros imunológicos de robalos-flecha e tainha: atividade de lisozima, atividade hemolítica do soro e níveis de mieloperoxidase;
- Avaliar o efeito de diferentes concentrações de citral sobre níveis de aspartato aminotransferase (AST) e alanina aminotransferase (ALT) de robalo-flecha e tainha;
- Avaliar o efeito de diferentes concentrações de citral sobre parâmetros histológicos e morfometria do tecido hepático de robalo-flecha e tainha;
- Definir quais as concentrações mais indicadas de citral para incorporação à dieta de robalo-flecha e tainha;

3. DELINEAMENTO METODOLÓGICO GERAL

3.1 Animais e condições de laboratório

Foram utilizados peixes juvenis das espécies *Centropomus undecimalis* e *Mugil liza*, provenientes de reprodução no próprio laboratório, totalizando 40 animais de cada espécie. Os animais foram distribuídos aleatoriamente em quatro sistemas de recirculação de água, utilizando a água da Lagoa da Conceição. Cada sistema consistia em três tanques circulares (150 L). Durante todo o período experimental, a água contida nesses tanques foi removida através de uma tubulação central com filtro de mangas (50 µm), filtro biológico, fracionador de espuma e esterilizador ultravioleta (60 w). Após o tratamento, a água foi devolvida aos tanques experimentais.

No período anterior ao experimento os peixes foram aclimatados às condições experimentais durante quatro dias. Sobras de alimento e fezes foram removidos através de sifonagem e uma média de 25% de água foi renovada diariamente.

Os parâmetros da água foram verificados diariamente (temperatura, pH e oxigênio dissolvido) ou semanalmente (alcalinidade, amônia e nitrito) durante todo o período experimental, conforme descrito por Zeppenfeld et al. (2014).

No experimento com o robalo os parâmetros da água permaneceram estáveis durante todo o período experimental. A temperatura foi mantida em $31,59 \pm 0,08^{\circ}\text{C}$, pH a $8,18 \pm 0,02$ e oxigênio dissolvido a $4,63 \pm 0,06 \text{ mg L}^{-1}$. Alcalinidade ($102,35 \pm 0,9 \text{ mg CaCO}_3 \text{ L}^{-1}$), nitrito ($0,3 \pm 0,05 \text{ mg L}^{-1}$) e amônia total ($0,3 \pm 0,04 \text{ mg L}^{-1}$) foram mantidos no intervalo desejado.

No experimento com a tainha os parâmetros da água permaneceram estáveis durante todo o período experimental. A temperatura foi mantida a $27,11 \pm 0,11^{\circ}\text{C}$, pH a $7,58 \pm 0,13$ e oxigênio dissolvido a $5,16 \pm 0,16 \text{ mg L}^{-1}$. Alcalinidade ($103,65 \pm 0,34 \text{ mg CaCO}_3 \text{ L}^{-1}$), nitrito ($0,2 \pm 0,04 \text{ mg L}^{-1}$) e amônia total ($0,2 \pm 0,05 \text{ mg L}^{-1}$) foram mantidos dentro da faixa desejada. A salinidade foi mantida entre 32 e 35 ppt.

3.2 Aspectos éticos

Os experimentos foram realizados no Laboratório de Piscicultura Marinha (LAPMAR) da Universidade Federal de Santa Catarina (UFSC), Florianópolis, Brasil. O estudo foi aprovado pelo Comitê de Ética em Experimentação Animal da UFSC (número de registro PP00861/2013).

3.3 Citral

O Citral foi obtido da Sigma Aldrich[®] (St. Louis, Missouri, EUA). Antes de sua incorporação na dieta, foi realizada a quantificação dos isômeros. A análise foi executada em cromatógrafo a gás Agilent 6890A acoplado a um detector de massas 5973 usando uma coluna capilar quiral HP (30 m x 0,25 mm i.d. x 0,25 µm espessura do filme) e energia de ionização de 70 eV. O hélio foi usado como gás de arraste em uma vazão de 1,0 mL min⁻¹, temperatura do injetor configurada em 250°C e a temperatura do detector em 280°C. A temperatura do forno foi mantida a 40°C por 4 min e depois elevada para 240 °C a uma taxa de 4 ° C min⁻¹. Soluções de amostra de 1 µL (2:1000 em hexano, v/v) foram injetadas em modo split. Os índices de retenção de Kovats foram calculados usando uma série homóloga de C8-C40 n-alcanos injetados nas mesmas condições das amostras. Os constituintes foram identificados por comparação dos espectros de massas com a espectrotécnica do aparelho e do índice de retenção de Kovats com dados da literatura (NIST, 2008). O percentual relativo de compostos foi estimado pela integração da área dos picos obtida do cromatograma (α -Citral = 60,15%; β -Citral = 39,85%).

3.4 Dieta e desenho experimental

Foram preparadas quatro dietas baseadas na formulação inicial contendo diferentes concentrações de citral (0-controle; 0,44; 0,88; 1,76 g por kg de alimento, equivalentes a 0-

controle; 0,5; 1,0; 2,0 mL de citral por kg de dieta). A dieta foi peletizada utilizando uma peneira com tamanho de sedimento de 6 mm. O citral foi previamente misturado com óleo de peixe. Logo, a mistura foi juntada aos demais ingredientes, homogeneizada manualmente e seca a 40 °C durante 24 h. Os peixes receberam as dietas experimentais até a saciedade aparente (Robalo: quatro vezes ao dia; Tainha: duas vezes ao dia) por 45 dias. A alimentação dos animais foi suspensa 24 h antes da amostragem e coleta final do tecido. O delineamento experimental resultou em quatro grupos e todos os ensaios foram realizados em triplicata (BARBUIO, 1999).

A análise da composição e da composição média aproximada da dieta foi realizada em Laboratório de Bromatologia e Nutrição de Ruminantes da Universidade Federal de Santa Maria (UFSM), estado do Rio Grande do Sul (RS), Brasil (Tabela 1).

TABELA 1. Formulação (%) e análise da composição média aproximada (%) da dieta experimental.

| Ingredientes | (%) | Composição média | (%) |
|---|------------|--------------------------------|------------|
| aproximada | | | |
| Amido | 14 | Teor de matéria seca | 94,32 |
| Lecitina de soja | 1 | Proteína | 53,73 |
| Vitaminas e minerais (pré-mistura) * | 0,5 | Extrato etéreo | 9,19 |
| Lula fresca | 12 | Matéria Mineral | 20,73 |
| Farinha de peixe | 70 | Fibra em detergente ácido | 2,04 |
| Óleo de peixe | 2,4 | Fibra em detergente neutron | 14,31 |
| Vitamina C | 0,1 | - | - |

*Vitaminas e mistura mineral (níveis de segurança por quilograma de produto) - ácido fólico: 250 mg, ácido pantotênico: 5.000 mg, antioxidante: 0,60 g, biotina: 125 mg, cobalto: 25 mg, cobre: 2.000 mg, ferro: 820 mg iodo: 100 mg, manganês: 3.750 mg, niacina: 5.000 mg, selênio: 75 mg, vitamina A: 1.000.000 UI, vitamina B1: 1.250 mg, vitamina B12: 3.750 mcg, vitamina B2: 2.500 mg, vitamina B6: 2.485 mg, vitamina C: 28.000 mg, vitamina D3: 500.000 UI, vitamina E: 20.000 UI, vitamina K: 500 mg, zinco: 17.500 mg.

3.5 Coleta das amostras

Após 45 dias, dez peixes de cada tanque foram utilizados para coleta de amostras e determinações analíticas. Os peixes foram anestesiados com benzocaína e a coleta de sangue foi realizada a partir da veia caudal com seringas estéreis heparinizadas. Os peixes foram eutanasiados por secção da medula espinhal e os órgãos foram removidos e imediatamente congelados em nitrogênio líquido. Os tecidos foram armazenados a -20 ° C para posterior análise.

3.6 Determinações analíticas

3.6.1 Parâmetros de estresse oxidativo

Para a mensuração dos biomarcadores de estresse oxidativo, os tecidos foram homogeneizados segundo Azambuja et al. (2011) usando um meio contendo 120 mM KCl e tampão fosfato de sódio 30 mM (pH 7,4). Os homogenatos foram centrifugados a 1000 × g por 10 min. O teor de proteína foi medido usando o método de Lowry et al. (1951) e os resultados são relatados em mg mL⁻¹.

Os níveis de LPO foram estimados utilizando hidroperóxidos lipídicos (LOOH), que podem detectar os produtos primários de peroxidação usando a oxidação de Fe²⁺ por LOOH em um meio ácido com corante laranja de xilenol. As leituras foram realizadas a 560 nm e os resultados são relatados como nmol mg proteína⁻¹ (SÖDERGREN et al., 1998).

Atividade total de superóxido dismutase (SOD), expressa em unidades SOD mg proteína⁻¹, foi baseado na taxa de inibição da geração de adenocromo autocatalítico em 480 nm (MISRA & FRIDOVICH, 1972). A atividade da catalase (CAT) foi avaliada após a diminuição da absorção em 240 nm de H₂O₂ e foi relatado como pmol min⁻¹ mg de proteína⁻¹ (BOVERIS e CHANCE, 1973).

Atividade de glutationa peroxidase (GPx) foi medido com base na oxidação de NADPH, de acordo com o método de Flohé e Gunzler (1984), a 340 nm. Os resultados foram expressos como nmol min⁻¹ mg de proteína⁻¹.

Os níveis de tióis não proteicos (NPSH), uma medida indireta da glutationa reduzida (GSH), foram avaliados após reação com 5,5'-ditiobis (ácido 2-nitrobenzóico) a 412 nm e como μmol mg de proteína⁻¹ (ELLMAN, 1959).

A atividade da glutationa S-transferase (GST) foi medida pela taxa de formação de dinitrofenil S-glutationa a 340 nm (HABIG et al., 1974) e os resultados expressos como μmol min⁻¹ mg de proteína⁻¹.

3.6.2 Sistema imunológico inato

A atividade hemolítica do sistema complemento foi medida de acordo com Morales-DelaNuez et al. (2009) com as seguintes modificações: eritrócitos de carneiro a 5% (30 μL) foram adicionadas ao plasma (50 μL) e incubados a 25 °C. Solução salina (100 μL) gelada foi adicionada após 45 min, em seguida, as células foram sedimentadas por centrifugação (3800 x g por 10 min) e a absorbância do sobrenadante foi medida em um leitor de microplacas a 540 nm. A percentagem de hemólise foi calculada por comparação entre hemólise total (100%) e não hemólise (0%) da seguinte forma: % hemólise = [(amostra A540 – A540 não-hemólise) / (A540 hemólise total – A540 não-hemólise)] × 100.

A atividade da lisozima foi determinada por um ensaio turbidimétrico como descrito por Jørgensen et al. (1993). Resumidamente, uma suspensão (200 μL) de *Micrococcus lysodeikticus* em Solução de PBS (0,2 g / L) a pH 6,2 foi misturada com plasma (10 μL). A atividade de lisozima (unidades/mL) foi calculada usando a seguinte fórmula: [(Δabsorbância (4-1min) /3)/0,001] × 100. Uma unidade de atividade da lisozima foi definida como a quantidade de enzima que produz diminuição na absorbância de 0,001 / min.

O teor de mieloperoxidase do soro dos peixes foi determinado de acordo com o protocolo de Quade e Roth (1997) com algumas modificações. O soro de peixe (10 μL) foi diluído com 90 μl de Ca⁺⁺, Mg⁺⁺ e solução de Hank's livre de vermelho de fenol, em placas de fundo plano de 96 poços. Em seguida, 35 μL de OPD (dicloridrato de *o*-fenilenodiamina),

em citrato (0,2 M) e tampão fosfato (0,1 M, pH 5,3) foram adicionados. A reação de peroxidase foi interrompida após 5 min pela adição de 50 µL de ácido clorídrico (HCl, 3 M). As placas foram lidas em um espectrofotômetro a 450 nm.

3.6.3 Aspartato transaminase (AST) e alanina transaminase (ALT)

A atividade de aspartato transaminase (AST) e alanina transaminase sérica (ALT) foi determinada utilizando kits comerciais (Gold analisa[®]) e expressos em U mL⁻¹.

3.6.4 Parâmetros histológicos do fígado

Fragments do fígado foram fixados em líquido de Bouin por 24 h. Posteriormente, foram submetidos à desidratação, diafanização e procedimentos de inclusão na histosina Leica[®]. Seções 4 mm de espessura foram submetidos à coloração com hematoxilina-eosina, segundo McManus (1946), para estudos morfológicos. Além disso, seis campos de alta potência foram selecionados aleatoriamente em cada slide para medir a área da veia central lobular, diâmetro dos capilares sinusoidais e tamanho dos hepatócitos.

3.7 Análise estatística

A distribuição das variáveis foi testada pelo teste de Kolmogorov-Smirnov. Os dados obtidos nos grupos estudados foram submetidos à análise unidirecional de variância, seguida do teste de Tukey-Kramer. Todas as análises foram realizadas com o software GraphPad Prism[®] 5.0. As diferenças foram consideradas significativas quando $p < 0,05$. Todas as determinações biológicas foram realizadas em triplicata e os resultados expressos por média ± erro padrão da média (SEM).

4. RESULTADOS

Os resultados estão descritos na forma de um artigo científico publicado na revista Aquaculture e outro artigo, submetido para revista Aquaculture Nutrition, respectivamente.

4.1 Artigo 1



Citral as a dietary additive for *Centropomus undecimalis* juveniles: Redox, immune innate profiles, liver enzymes and histopathology



Natacha Cossettin Mori^{a,b}, Bruna T. Michelotti^c, Tânia da Silva Pê^a, Caroline Azzolin Bressan^a, Fernando Sutti^e, Luiz C. Kreutz^d, Quelen Garlet^a, Bernardo Baldissarotto^{a,b},
Maria Amália Pavanato^{a,b}, Vincius R. Cerqueira^f, Silvio Teixeira da Costa^g,
Berta Maria Hetzmann^{a,b,e}

^a Graduate Program in Pharmacology, Centro de Ciências da Saúde/CCS, Federal University of Santa Maria/UFSM, Prédio 21, Campus Universitário, BR 97105-900 Santa Maria, RS, Brazil

^b Department of Health and Agricultural Sciences/CCSA, University of Cruz Alta/UNICRUIZ, Rodovia Municipal Jacob Della Môa, s/n, BR 98020-290 Cruz Alta, RS, Brazil

^c Graduate Program in Animal Science, Prédio 28, Campus Universitário, BR 97105-900 Santa Maria, RS, Brazil

^d School of Agronomy and Veterinary Medicine, University of Passo Fundo, BR 95052-900, Passo Fundo, RS, Brazil

^e Department of Physiology and Pharmacology, CCS, Federal University of Santa Maria, Prédio 21, BR 97105-900 Santa Maria, RS, Brazil

^f Marine Fisheries Laboratory, Department of Aquaculture, Centro de Ciências Agrárias, Federal University of Santa Catarina, BR 88061-600 Florianópolis, SC, Brazil

^g Department of Industrial Pharmacy, CCS, Federal University of Santa Maria, Prédio 26, Campus Universitário, BR 97105-900 Santa Maria, RS, Brazil

^h Department of Morphology, CCS, Federal University of Santa Maria, Prédio 10, Campus Universitário, BR 97105-900 Santa Maria, RS, Brazil

ARTICLE INFO

Keywords:
Monoterpenoids
Diet
Oxidative stress
Innate immunity

ABSTRACT

The effect of dietary levels of citral in juvenile common snook (*Centropomus undecimalis*) was evaluated by determining biomarkers of oxidative stress and innate immune system, as well as liver parameters. The fish (2.75 ± 0.03 g) were fed diets containing different concentrations of citral (0, 0.44, 0.88, and 1.76 g/kg feed) for 45 days. Results indicate that citral does not cause significant hepatic alterations; nevertheless, this monoterpenoid was able to induce lipid peroxidation in the gills in all concentrations tested. In this context, the altered activity of enzymes such as superoxide dismutase (SOD) in the liver and gills (1.76 g per kg feed), catalase (CAT) in the liver (0.44; 0.88 g per kg feed) and gills (all groups), and glutathione-S-transferase (GST) in the liver (0.44 g per kg feed) and gills (1.76 g per kg feed) occurred in response to the oxidative damage evidenced. Although dietary levels of citral did not influence the lysozyme activity, we verified that the haemolytic activity of the complement system was excessive in the lowest concentration tested and that the myeloperoxidase activity (MPO) decreased in all groups. Thus, although this monoterpenoid is a diet additive which has already been approved for consumption in other animal species, dietary supplementation with citral for common snook has not improved oxidative parameters and innate immunity of this species.

1. Introduction

The cultivation of aquatic animals has emerged as an alternative to fishing and has great development potential in view of population growth and the increasing search for healthy food. According to FAO (2016), global total production of marine fish has shown significant growth, reaching 26.7 million tons in 2014.

Nevertheless, cultivation conditions are a limiting factor to the increase of aquaculture. Among other factors, infection caused by microorganisms, animal handling and transport, water quality parameters, temperature, and diet exert an important influence on fish health conditions, which have a direct effect on productivity and quality of the cultivated species (Wedemeyer, 1996). Profitable production without unduly harming fish health and performance is still a challenge to fish farming.

Plant-based products such as essential oils (EOs) and their isolated constituents have emerged as an alternative to traditional therapies and diet additives (Sutili et al., 2017). Essential oils are important dietary sources that contain antioxidant potential as they have phytochemicals with this property or produce them in response to stress conditions (Kasote et al., 2015). Additionally, several plant extracts are also alternatives to boost the immune system when added to fish feed (Sutili et al., 2017). Thus, dietary supplementation with natural additives may favor the functioning of the organism by means of the modulation of oxidative stress and immunostimulation of these animals (Zheng et al., 2009; Saccò et al., 2013, Sutili et al., 2017).

Citral is a component of EOs extracted from several plants, including *Cymbopogon citratus*, *Melissa officinalis*, *Verbena officinalis*, *Lippia alba*, among others. This monoterpenoid presents sedative (Vale et al., 2002), antifungal (Ferreira et al., 2009), anti-

inflammatory (Ponce-Monter et al., 2010), and antinociceptive effects (Ortiz et al., 2010). Sousa et al. (2015) found a promising anesthetic effect in rats. Zhang et al. (2014) demonstrated that citral is able to inhibit the formation of bacterial biofilms, and Silva-Angulo et al. (2015) demonstrated antibacterial properties, which indicate that this substance presents potential use as a food preservative. Therefore, citral is currently recognized as a safe diet additive by the US Food and Drug Administration (FDA) (GRAS 182.10).

In aquatic species, several studies have demonstrated biological activity of EOs composed mainly of citral. Parodi et al. (2012) described antioxidant properties of *Aloysia triphylla* EO in sub-adult white shrimps (*Litopenaeus vannamei*). *A. triphylla* EO is able to extend shelf life and refrigeration time of silver catfish (*Rhamdia quelen*) fillets, in addition to being capable of increasing the growth of this species (Daniel et al., 2014; Zeppenfeld et al., 2016). In this fish species, *A. triphylla* EO also presented antioxidant capacity and prevented lipoperoxidation (Gressler et al., 2014; Zeppenfeld et al., 2014). Brum et al. (2017) demonstrated that *Zingiber officinale* essential oil (41.1% of citral) improved the growth and present immunomodulatory effect in *Oreochromis niloticus* (Nile tilapia). Other studies have also related citral to the antimicrobial potential (Bandeira Junior et al., 2018) and anesthetic (Souza, et al., 2017). However, despite all these demonstrated activities, possible antioxidant and immunostimulant properties of this monoterpenoid in fish have not been explored yet.

Centropomus undecimalis (Bloch, 1792) (Common snook, Centropomidae) is an euryhaline species found in areas of the west coast of the Atlantic Ocean from Florida, USA, to Santa Catarina, Brazil (Alvarez-Lajonchere & Tsuzuki, 2008). It presents great potential for aquaculture due to its rapid growth rate, great resistance during management processes as well as its high value and market demand (Cavalli & Hamilton, 2007). Therefore, the objective of this study was to evaluate the effects of dietary supplementation with citral on parameters of

oxidative stress and innate immunity in *C. undecimalis*. In addition, the activity of citral on hepatic enzymes and histopathological analysis of liver was determined, aiming to identify possible signs of hepatotoxicity of this monoterpenoid when added to diet.

2. Materials and Methods

2.1 Animals and rearing conditions

The experiment was performed in the Laboratory of Marine Fish Farming (LAPMAR) at the Federal University of Santa Catarina (UFSC), Florianópolis, Southern Brazil. The study was approved by the Ethics Committee on Animal Experimentation of UFSC and was registered under number PP00861/2013.

Juvenile common snook (*Centropomus undecimalis*) (2.75 ± 0.03 g and 7.07 ± 0.04 cm) were randomly distributed into four water recirculation systems with salinity 31.12 ± 2.31 ppt, temperature of $31.59 \pm 0.91^\circ\text{C}$ and photoperiod of 12:12 h LD, as suggested by Michelotti et al. (2018) (n=30 per tank). Each system consisted of three circular tanks (150 L). During the experimental period, the water contained in these tanks was removed through a central pipeline with a bag filter (50 µm), a biological filter, a foam fractionator, and an ultraviolet sterilizer (60w). After the treatment, water returned to the experimental tanks.

Fish were acclimated to the experimental conditions for four days. Remains of food and feces were removed through siphoning and an average of 25% of the water was renewed on a daily basis.

After 45 days, three fish from each tank (n = 9 animals per treatment) were used for sample collection. Also, there was no difference in consumption between the experimental groups.

2.2 Water parameters

Water parameters were checked daily (temperature, pH, and dissolved oxygen) or weekly (alkalinity, total ammonia, and nitrite) throughout the experimental period as described by Zeppenfeld et al. (2014). Water parameters remained stable throughout the experimental period. Temperature was maintained at $31.59 \pm 0.08^\circ\text{C}$, pH at 8.18 ± 0.02 , and dissolved oxygen at $4.63 \pm 0.06 \text{ mg L}^{-1}$. Alkalinity ($102.35 \pm 0.9 \text{ mg CaCO}_3 \text{ L}^{-1}$), nitrite ($0.3 \pm 0.05 \text{ mg L}^{-1}$), and total ammonia ($0.3 \pm 0.04 \text{ mg L}^{-1}$) were maintained within the desired range. The water from Lagoa da Conceição used in the experiments of said laboratory has a total hardness of approximately 6000 CaCO_3 per mL/water.

2.3 Citral

Citral was obtained from Sigma Aldrich[®] (St. Louis, Missouri, USA). Citral density was $0.88 \text{ g}\cdot\text{cm}^{-3}$. Before being incorporated into the diet, isomer quantification was performed. The analysis was carried out with an Agilent 6890A gas chromatograph coupled to an Agilent Mass Selective Detector MSD 5973 with an HP-Chiral capillary GC column (30 m x 0.25 mm i.d. x 0.25 μm film thickness) and operated in electron ionization mode at 70 eV. Helium was used as the carrier gas at a flow rate of 1.0 mL min^{-1} , injector temperature was set at 250 and detector at 280°C . Oven temperature was kept at 40°C for 4 min and then raised to 240°C at a rate of 4°C min^{-1} . Sample solutions of $1 \mu\text{L}$ (2:1000 in hexane, v/v) were injected in split mode. Kovats retention indices were calculated by means of a homologous series of n-alkanes (C8-C40) that was injected under the same conditions of the samples. The constituents were identified by means of mass spectrometry and Kovats retention index was compared to data from the National Institute of Standards and

Technology Mass Spectral Library (NIST, 2008). The relative percentage of compounds was estimated by under peak area integration obtained from the chromatogram (α -Citral=60.15%; β -Citral =39.85%).

2.4 Diets and Experimental design

2.4 Diets and Experimental design

Citral levels were defined considering previous studies by Zeppenfeld et al (2016) and Zeppenfeld et al. (2017), which used diets enriched with essential oils containing citral as major component. Four diets based on the same initial formulation (Barbuio, 1999) (Table 1) containing different concentrations of citral (0-control; 0.44; 0.88; 1.76 g per kg feed) were pelletized at a 6 mm pellet size. Citral was previously homogenized with fish oil. All ingredients were homogenized manually and dried at 40°C for 24 h. This temperature was chosen to prevent evaporation of citral, since the boiling point of this monoterpenoid is 229 °C (Kang et al., 2007). Fish received the experimental diets until apparent satiation four times a day for 45 days. The feed was suspended 24 h prior to sampling and final collection of the tissues. The experimental design resulted in four groups and all assays were performed in triplicate. The analysis of the composition of the diet was carried out at the Laboratory of Bromatology and Ruminant Nutrition at the Federal University of Santa Maria (UFSM), Rio Grande do Sul (RS), Brazil (Table 2). Dry matter content was determined by oven drying at 105 °C for at least 8 hours (AOAC, 1984). Total nitrogen (N) was determined by the Kjeldahl method (AOAC, 1997). For the conversion of N values to crude protein, the correction factor of 6.25 was used. Determination of ether extract content was performed by AOCS Am5-04 Method (2005). Neutral detergent fiber analysis was based on the procedures described by Mertens (2002) using thermostable α -amylase, except that the samples were weighed into

polyester filter bags (porosity 16 µm) and treated with neutral detergent at 110 ° C for 40 minutes (Senger et al., 2008). Concentrations of acid detergent fiber were analyzed according to AOAC 973.18 Method (1997) except that the samples were weighed into polyester filter bags (16 µm porosity) and treated with autoclave acid detergent at 110 ° C for 40 minutes (Senger et al., 2008). The crude energy was obtained through the total combustion of the sample in calorimetric pump (Model Parr 6400 Oxigen Bomb Calorimeter).

2.5 Sample collection

After 45 days, three fish from each tank ($n = 9$ animals per treatment) were anesthetized with 50 mg L⁻¹ benzocaine. Blood sampling was performed from the caudal vein with sterile heparin-filled syringes. The fish were euthanized by sectioning the spinal cord and liver and gills were frozen in liquid nitrogen immediately after removal. Tissues were stored at -20°C for 30 days, for further analysis.

2.6 Biological analytical determinations

2.6.1 Oxidative stress parameters

For the measurement of oxidative stress biomarkers, tissues were homogenized according to Azambuja et al. (2011) by means of a medium containing 120 mmol L⁻¹ KCl and 30 mmol L⁻¹ sodium phosphate buffer (pH 7.4). The homogenates were centrifuged at 1000×g for 10 min. Protein content was measured by means of the Lowry protein assay (Lowry et al., 1951) and results were reported in mg mL⁻¹.

Lipid peroxidation levels were estimated using a lipid hydroperoxides (LOOH) technique that detects the primary products of peroxidation through the oxidation of Fe²⁺ by

LOOH in an acidic medium containing xylenol orange dye. The readings were performed at 560 nm and the results were reported in nmol mg protein⁻¹ (Södergren et al., 1998).

Total superoxide dismutase (SOD) activity, which are expressed as SOD units mg protein⁻¹, was based on the inhibition rate of autocatalytic adenochrome generation at 480 nm (Misra and Fridovich, 1972). Catalase (CAT) activity was evaluated by following the decrease in the 240 nm absorption of H₂O₂, and it was reported in pmol min⁻¹ mg protein⁻¹ (Boveris and Chance, 1973). Glutathione peroxidase (GPx) activity was measured based on NADPH oxidation at 340 nm, according to the method described by Flohé and Gunzler (1984). Results were expressed in nmol min⁻¹ mg protein⁻¹. Non-protein thiol (NPSH) levels, an indirect measure of reduced glutathione (GSH), was evaluated after reacting with 5,5'-dithiobis (2-nitrobenzoic acid) at 412 nm and reported in μmol mg protein⁻¹ (Ellman, 1959). Glutathione S-transferase (GST) activity was measured by the rate of dinitrophenyl S-glutathione formation at 340 nm (Habig et al., 1974) and the results expressed in μmol min⁻¹ mg protein⁻¹.

2.6.2 Immunological parameters

2.6.2.1 Lysozyme activity assay

Lysozyme activity was determined by a turbidimetric assay as described by Jørgensen et al. (1993). Briefly, a suspension (200 μL) of *Micrococcus lysodeikticus* in PBS solution (0.2 g L⁻¹) at pH 6.2 was mixed with plasma (10 μL). Lysozyme activity (units/mL) was calculated using the following formula: [(Δ_{absorbance(4-1min)} /3)/0.001] × 100. A lysozyme activity unit was defined as the amount of enzyme producing a decrease in absorbance of 0.001/min.

2.6.2.2 Haemolytic activity of complement system

Haemolytic activity of complement system (HACS) was measured according to a method described by Morales-DelaNuez et al. (2009) with the following modifications: washed sheep red blood cells at 5% (30 µL) were added to the plasma (50 µL) and incubated at 25 °C. Ice-cold saline (100 µL) was added after 45 min, cells were pelleted by centrifugation (3800 x g for 10 min), and the absorbance of the supernatant was measured using a microplate reader at 540 nm. Hemolysis percentage was calculated by comparison between total hemolysis (100%) and no-hemolysis (0%) controls as follows: % hemolysis= $[(A_{540 \text{ sample}} - A_{540 \text{ no-hemolysis}}) / (A_{540 \text{ total hemolysis}} - A_{540 \text{ no-hemolysis}})] \times 100$.

2.6.2.3 Myeloperoxidase assay (MPO)

The peroxidase content of fish plasma was determined according to the protocol of Quade and Roth (1997) with some modifications. Fish plasma (10 µL) was diluted with 90 µl of Ca²⁺, Mg²⁺ and phenol red-free Hank's solution in flat-bottomed 96-well assay plates. Then, 35 µL of OPD (*o*-phenylenediamine dihydrochloride) in citrate (0.2 M) and phosphate buffer (0.1 M, pH 5.3) were added. The peroxidase reaction was stopped after 5 min by adding 50 µL of hydrochloric acid (HCl, 3 M). Plates were read in a spectrophotometer at 450 nm.

2.6.3 Biochemical parameters

Aspartate transaminase (AST) and alanine transaminase (ALT) levels in plasma were determined using commercial kits (Gold Analisa[®]) and expressed in U/L (One is defined as micromoles of substrate transformed per minute per one litre).

2.6.4 Histopathological analysis

Fragments of the liver were fixed in Bouin liquid for 24 hours. Subsequently, they were submitted to dehydration, diaphanization, and inclusion procedures in Leica[®] historesin. Sections 4 µm thick were submitted to hematoxylin-eosin staining, according to McManus (1946), for morphological studies. In addition, six high-power fields were randomly selected on each slide to measure lobular center vein area, sinusoidal capillaries diameter, and hepatocytes size.

2.7 Statistical analysis

The biological determinations of all samples were performed in triplicate and the results expressed as mean \pm standard error of the mean (SEM). The distribution of the variables was tested using the Kolmogorov-Smirnov test. Data obtained from the groups, for the same parameter, were submitted to one-way analysis of variance (ANOVA) followed by Tukey-Kramer test. All analyses were performed using GraphPad Prism[®] Software 5.0 and differences were considered significant at $p < 0.05$.

3. Results

3.1 Oxidative stress parameters

Levels of LPO in the liver did not differ from the control group. However, fish fed with citral 0.44 and 0.88 g per kg feed were different from each other. LPO significantly increased in the gills of fish that received diets containing citral supplementation (0.44; 0.88; 1.76 g per kg feed) when compared to control (Fig. 1a and 2a).

The activity of SOD significantly increased in the liver and gills of fish fed a diet supplemented with citral at a concentration of 1.76 g per kg feed when compared to the fish fed control diet (Fig. 1b and 2b). On the other hand, CAT activity was reduced in the liver (0.44; 0.88 g per kg feed) and gills (0.44; 0.88; 1.76 g per kg feed) of animals treated with diets containing citral when compared to control (Fig. 1c and 2c). GPx activity in the liver and gills was not significantly affected by citral-containing dietary supplementation (Fig. 1d and 2d).

Levels of NPSH decreased in the liver of fish fed diet containing citral at 0.44 g per kg feed when compared to the control fish (Fig 1e and 2e). GST activity in the liver did not differ from the control group. Nevertheless, fish fed with citral 0.44 and 0.88 g per kg feed differed from each other. There was a significant increase of GST activity in the gills of fish fed citral at 1.76 g per kg feed when compared to control (Fig. 1f and 2f).

3.2 Immunological parameters

Diets containing different citral concentrations did not exert any significant effect Lysozyme activity. Complement activity increased in the group fed diet containing citral at

0.44 g per kg feed (Fig. 3b). There was a significant decrease in myeloperoxidase levels in all treated groups when compared to the control group (Fig. 3c).

3.3 AST and ALT

Diets containing different citral concentrations did not exert any significant effect on plasma AST and ALT activity (Table 3).

3.4 Histopathological analysis

The histopathological analysis did not show the presence of any cellular alterations. Despite this, the presence of lipid vacuoles was identified in all groups (Fig.4). The hepatic morphometric analysis presented in Table 4 shows significant differences in the size of the sinusoidal capillaries of the groups fed with citral 0.88 and 1.76 g per kg feed compared to the group 0.44 g citral per kg feed and control group.

4. Discussion

The search for nutritional alternatives that optimize natural defense mechanisms in fish plays an important role in producing robust juveniles and adults (Sweetman et al., 2010). The positive effect of different secondary plant metabolites as EOs in fish antioxidant defenses (Azambuja et al., 2011; Zeppenfeld et al., 2014) has stimulated their evaluation as food additives in aquaculture, aiming to develop possible strategies for health management in commercial aquaculture facilities (Saccò et al., 2013).

Zeppenfeld et al. (2017) recently reported the beneficial effects of a diet supplemented with the EO of *A. triphylla* on oxidative status in *R. quelen*, whose major components were α -citril (29.41%) and β -citril (20.78%) (Zeppenfeld et al., 2016). Since the chemical composition of EOs is influenced by different factors, such as plant chemotype, collection season, temperature, soil composition, extraction method, rainfall, wind regime, among others (Gobbo-Neto and Lopes, 2007), the evaluation of dietary supplementation with the isolated major component of the EO of *A. triphylla* was proposed.

Oxidative stress, which is due to excessive production of ROS or a decline in antioxidant activity, may trigger lipid peroxidation of the cell membrane as well as damage proteins, enzymes, carbohydrates and DNA (Birnie-Gauvin et al., 2016). Nevertheless, some studies with vertebrates have considered that oxidative stress could be a link in the activity of the immune system, whose action is extremely relevant to the defense against pathogenic microorganisms (Biller-Takahashi et al., 2015; Tort, 2011).

According to Li et al. (2015), the liver is the main target organ of oxidative processes; however, extrahepatic damage, such as cerebral, renal, and respiratory deficiency may also occur. Thus, to verify if citral could prevent LPO in the membrane, levels of lipid hydroperoxides in the liver and gills of *C. undecimalis* were analyzed.-No alterations were observed in the liver, although contrary to our hypothesis, citral increased lipoperoxidation in the gills at 0.44, 0.88 and 1.76 g per kg feed. According to Tamir et al. (1984), compounds containing carbonyl groups, such as citral, are highly reactive and can induce cellular injury by membrane lipoperoxidation.

As a counterpoint, the endogenous cellular antioxidant system is able to repair these oxidative damages by restoring oxidized lipids to phospholipases, peroxidases or

acyltransferases or by neutralizing ROS (Hitchon & El-Gabalawy, 2004). For example, the superoxide anion may be transformed by enzymes belonging to the superoxide dismutase (SOD) family, producing O₂ (molecular oxygen) and H₂O₂ (hydrogen peroxide) (Pisoschi and Pop, 2015). The elevation of SOD activity in the liver and gills of the group fed with 1.76 g/kg of citral-enriched diet may suggest that the observed LPO may have occurred due to increased superoxide anion production since a high activity of this enzyme indicates an attempt to neutralize the aforementioned ROS.

However, it is important to note that H₂O₂, which results from the action of SOD, is also highly reactive. According to Kohen & Nyska (2002), its action involves attacking proteins, enzymatic inactivation and oxidation of DNA, lipids, sulfhydryl groups, and ketoacids. In this sense, the performance of the CAT and GPx is fundamental since they are able to neutralize H₂O₂. Citral as a dietary supplementation for *C. undecimalis* did not alter GPx activity, although it reduced CAT activity in both the liver (0.44; 0.88 g per kg feed) and gills in all groups fed this monoterpenoid. In light of this evidence, the observed reduction in CAT activity could justify the occurrence of LPO in the gills of this group, since the neutralization of H₂O₂ was probably deficient and consequently allowing the attack to the cell membrane lipids by ROS.

GST family of enzymes facilitates the elimination of xenobiotics by catalyzing thioether bonds between GSH and small electrophilic centers (Jakobsson et al., 1999; Tew et al., 2015). The activity of this enzyme increased in the gills in the group that received the highest concentrations of citral. This result may be explained by the fact that the enzymatic Glutathione S-transferase/ GST) reactions are an important step in intracellular metabolism of citral (Kapur et al., 2016). Besides, Nakamura et al. (2003) demonstrated that GST activity was induced approximately 1.6-fold when hepatocytes were exposed to geranial for 24 h and

that the inducing activity of citral was dose-dependent, justifying the response only at the highest concentration tested in this study.

The measurement of non-protein thiol levels is an indirect measure of GSH levels, which is considered to be the main non-enzymatic endogenous antioxidant. GSH participates in numerous physiological functions, such as the elimination of ROS by detoxification and consequently protection against oxidative damage as well as cellular immunity (Deponte, 2013). Fish that received the diet enriched with citral at 0.44 g per kg feed had lower levels of non-protein thiols in the liver. Citral may combine with sulphydryl groups of the enzymes involved in GSH synthesis and thus cause a decline in non-enzymatic antioxidant levels within the cell. Furthermore, this monoterpenoid can has interfered with the activity of the enzyme glutathione redutase (GR), decreasing GSH synthesis in this group (Couto et al., 2016). In several situations the effect of natural products (as essential oils and their isolated compounds) do not present a dose-effect relationship, justifying the observation of this result for this concentration only (Liao et al., 2015).

The lysosomal oxidative enzyme MPO plays a primordial role in the phagocytic activity of fish and thus contributes to the functioning of fish immune system (Russel et al., 2017). The presence of citral in the diet reduced MPO activity, suggesting that citral impairs the ability fish have to respond to infections (Kreutz et al., 2011). Sinha et al. (2014) tested the effect of citral on cell viability of a human lymphocyte line and demonstrated that this monoterpenoid reduces the viability of these defense cells to 75.69%. In this context, neutrophil viability may also be affected by this monoterpenoid, justifying the decrease in MPO levels. An alternative explanation is that this result may indicate anti-inflammatory activity for the compound tested since the release of MPO is related to tissue damage (Pitanga et al., 2014). Liao et al. (2015) demonstrated anti-inflammatory activity of citral isomers.

Neral, in particular, has been more efficient in inhibiting interleukin 1 β , nitric oxide synthase, and cyclooxygenase 2 expression in murine macrophages stimulated by lipopolysaccharides.

The complement system constitutes another primordial defense mechanism in fish since it participates in the opsonization and consequent phagocytosis of pathogenic microorganisms (Magnadóttir, 2006). Boshra et al. (2006) argue that this system is likely to be more evolved in fish since it is necessary for them to overcome survival requirements imposed by the aquatic environment and management conditions. In the present study, citral induced the highest activity of the complement system at the lowest concentration tested. Although this finding indicates that clearance of possible infectious diseases would be more efficient in this group (Zipfel & Skerka, 2009), the excessive activity of the complement system may be detrimental to cell membrane due to excessive production of ROS according to Shen et al. (1997) and Secombes & Wang (2012). Thus, the increase in this biomarker in the group that received the diet containing citral at 0.44 mg per kg feed may also have contributed to the occurrence of LPO in the fish gills.

Lysozyme, which is a vital component of the innate immune system (Nilojan et al., 2017), is present in phagocytic cells and recognized for its bactericidal action, especially in Gram-positive bacteria (Klockars & Roberts, 1976). Also, this enzyme is able to activate the complement system, acting as an opsonin (Jolles and Jolles, 1984). However, citral no altered lysozyme levels when added to the diet of *C. undecimalis* in any of the evaluated concentrations. This result does not explain the increase in complement system haemolytic activity in fish treated with citral at 0.44 g per kg feed.

The activities of AST and ALT can be used as biomarkers for cellular damage in fish since they participate in transamination reactions, which predominantly occur in the liver, cardiac cells, and striated muscle tissue (Vutukuru et al., 2007). In addition, changes in

hepatic structure may be significant to evaluate possible toxic effects of citral, since the liver is fundamental for the metabolism of xenobiotics (Wolf and Weeler, 2018). In the present study, alterations in AST and ALT activity of citral-treated animals were not observed, as expected. This finding corroborates the results of Li et al. (2017), in which the activities of the above-mentioned enzymes in plasma of rats fed citral showed no significant differences when to the control group. In addition, no cellular damage was found in the liver of the fish, since the presence of the hepatic vacuoles is considered a normal finding, because teleosts can have the liver parenchyma rich in lipids and glycogen (Welsch and Storch, 1973). On the other hand, the difference in the size of sinusoidal capillaries may also have elapsed from a normal adrenergic response, since no other changes were observed in liver (Barton, 2011).

All fish fed with citral presented increased LPO and decreased catalase activity in the gills. In addition, in the liver there was also a decrease in catalase activity (0.44, 0.88 g per kg feed) and non-protein thiol levels (0.44 g per kg feed). These oxidizing effects may have activated physiological antioxidant responses evidenced by the significant increase in SOD and GST activity in the groups receiving the highest concentration tested in this study. Regarding the innate immune system, we showed that the presence of citral in the diet decreased the activity of myeloperoxidase and hyperactivated the complement system (0.44 g per kg feed), damaging the fish defense system. Therefore, although hepatic enzyme activity and histological markers were considered normal, the addition of citral in the diet of common snook is not recommended.

These results were unexpected and may suggest that biological activity of complex mixtures, such as EOs, may be due to the action of minor components. The principles governing phytotherapy, in which pharmacological effects result from complex interactions between different components with additive, synergistic, and even antagonistic effects, must

also be considered (Efferth and Koch, 2011). Another fundamental aspect is the physiological divergences between fish species, which can promote different responses to the same therapeutic agent (Gioda et al., 2017). Therefore, future studies should focus on evaluating the effects of citral on other fish species and on testing some isolated minor components from *A. triphylla* EO, the cytotoxicity attributed to this monoterpenoid against fish pathogenic microorganisms or a possible anti-inflammatory activity of monoterpenoid.

Acknowledgments

The authors gratefully acknowledge financial support from Conselho Nacional de Desenvolvimento Tecnológico (CNPq, Brazil) in the form of research fellowships granted to B. Baldisserotto, B.M. Heinzmann, and L.C. Kreutz and Coordenação de Aperfeiçoamento de Pessoal de Nível Superior (CAPES, Brazil) in the form of PhD scholarships granted to Q.I. Garlet and T. Pêس.

References

- Alvarez-Lajonchère, L., Tsuzuki, M. Y., 2008. A review of methods for *Centropomus* spp. (snooks) aquaculture and recommendations for the establishment of their culture in Latin America. Aquacult. Res. 39 (7), 684-700.
- American Oil Chemists' Society – AOCS, 2005. Official Procedure, Approved Procedure Am 5-04, Rapid determination of oil/fat utilizing high temperature solvent extraction, Urbana, IL.
- Association of Official Agricultural Chemists – AOAC, 1984. Official methods of analysis. 14. ed. Washington D.C., 1141 p.

Association of Official Analytical Chemists – AOAC, 1997. Official Methods of Analysis. 3. ed. Gaithersburg, MD..

Azambuja, C. R., Mattiazzi, J., Riffel, A. P. K., Finamor, I. A., Garcia, L. O., Heldwein, C. G, Heinzmann, B. M., Baldisserotto, B., Pavanato, M. A., Llesuy, S. F., 2011. Effect of the essential oil of *Lippia alba* on oxidative stress parameters in silver catfish (*Rhamdia quelen*) subjected to transport. Aquaculture 319 (1), 156-161.

Bandeira Junior, G., Sutili, F. J., Gressler, L. T., Ely, V. L., Silveira, B. P., Tasca, C., Matter, L. B., Vargas, A.P.C., Baldisserotto, B., 2018. Antibacterial potential of phytochemicals alone or in combination with antimicrobials against fish pathogenic bacteria. J Appl Microbiol. Barbuio, M. A. T., 1999. Efeitos da utilização de uma dieta comercial e dietas experimentais, nas formas seca e semi-úmida, no crescimento e composição corporal do robalo (*Centropomus parallelus* Poey, 1860). Master dissertation. Universidade Federal de Santa Catarina, Brazil.

Barton, B.A., 2011. Stress in finfish: Past, present and future-a historical perspective. [s.l.] Cambridge, UK: Cambridge University Press.

Biller-Takahashi, J. D., Takahashi, L. S., Mingatto, F. E., Urbinati, E. C., 2015. The immune system is limited by oxidative stress: Dietary selenium promotes optimal antioxidative status and greatest immune defense in pacu *Piaractus mesopotamicus*. Fish Shellfish Immunol. 47(1), 360-367.

Birnie-Gauvin, K., Costantini, D., Cooke, S. J., Willmore, W. G., 2017. A comparative and evolutionary approach to oxidative stress in fish: a review. Fish Fish., 1–15.

- Boshra, H., Li, J., Sunyer, J. O., 2006. Recent advances on the complement system of teleost fish. *Fish Shellfish Immunol.* 20 (2), 239-262.
- Boveris, A., Chance, B., 1973. Mitochondrial generation of hydrogen peroxide. General properties and effect of hyperbaric oxygen. *Biochem. J.* 134, 707–716.
- Brum, A., Pereira, S. A., Owatari, M. S., Chagas, E. C., Chaves, F. C. M., Mourino, J. L. P., Martins, M. L., 2017. Effect of dietary essential oils of clove basil and ginger on Nile tilapia (*Oreochromis niloticus*) following challenge with *Streptococcus agalactiae*. *Aquaculture*, 468, 235-243.
- Cavalli, R.O., Hamilton, S. A, 2007. Piscicultura marinha no Brasil. Afinal, quais as espécies boas para cultivar? *Panorama da Aquicultura* 17 (104), 50-55.
- Couto, N., Wood, J., Barber, J., 2016. The role of glutathione reductase and related enzymes on cellular redox homoeostasis network. *Free Radic. Biol. Med.*, 95, 27-42.
- Daniel, A. P., Veeck, A. P. L., Klein, B., Ferreira, L. F., Cunha, M. A., Parodi, T. V, Zeppenfeld C. C., Schmidt, D., Caron, B. O., Heinzmann B. M., Baldisserotto B., Emanuelli, T., 2014. Using the essential oil of *Aloysia triphylla* (L'Her.) Britton to sedate silver catfish (*Rhamdia quelen*) during transport improved the chemical and sensory qualities of the fish during storage in ice. *J. Food Sci.* 79 (6), 1205-1211.
- Deponte, M., 2013. Glutathione catalysis and the reaction mechanisms of glutathione-dependent enzymes. *Biochim. Biophys. Acta* 1830(5), 3217-3266.
- Ellman, J., 1959. Tissue sulfhydryl groups. *Arch. Biochem. Biophys.* 82, 70–77.

Efferth, T., Koch, E., 2011. Complex interactions between phytochemicals. The multi-target therapeutic concept of phytotherapy. *Curr. Drug Targets* 12, 122-132.

FAO - Food and Agriculture Organization of the United Nations. 2018. The state of world fisheries and aquaculture 2018.

Ferreira, T. M., Silva, F. D. S., Teodoro, G. R., Costa, A. C. B. P. D., Maria, A., Beltrame Júnior, M., Khouri, S., 2009. Citral antifungal activity against *Candida* genus yeasts isolated from hospitalized patients. *Rev. Inst. Adolfo Lutz* 68 (1), 118-125.

Flohé, L., Gunzler,W. A., 1984. Assays of glutathione peroxidase. In: Colowick, S.P., Kaplan O.N. (Eds.). *Methods Enzymol.* Academic Press, San Diego, pp. 114–121.

Gioda, C. R., Pretto, A., Freitas, C. D. S., Leitemperger, J., Loro, V. L., Lazzari, R., Lissner, L. A. Baldisserotto B, Salbego, J., 2017. Different feeding habits influence the activity of digestive enzymes in freshwater fish. *Ciência Rural* 47(3), 1-7.

Gobbo-Neto, L., Lopes, N. P., 2007. Plantas medicinais: fatores de influência no conteúdo de metabólitos secundários. *Quím. Nova* 30, 374-381.

Gressler, L. T., Sutili, F. J., Costa, S. T., Parodi, T. V., Pêس, T. S., Koakoski, G., Barcellos, L. J. G., Baldisserotto B., 2014. Hematological, morphological, biochemical and hydromineral responses in *Rhamdia quelen* sedated with propofol. *Fish Physiol. Biochem.* 41, 463–472.

- Habig, W. H., Pabst, M. J., Jakoby, W. B., 1974. Glutathione S-transferases the first enzymatic step in mercapturic acid formation. *J. Biol. Chem.* 249, 7130–7139.
- Hitchon, C.A., El-Gabalawy, H.S., 2004. Oxidation in rheumatoid arthritis. *Arthritis Res. Ther.* 6 (6), 265-278.
- Jakobsson, P. J., Thorén, S., Morgenstern, R., Samuelsson, B., 1999. Identification of human prostaglandin E synthase: a microsomal, glutathione dependent inducible enzyme, constituting a potential novel drug target. *Proc. Natl. Acad. Sci. U S A* 96(13), 7220–7225.
- Jolles P., Jolles J., 1984. What's new in lysozyme research? Always a model system, today as yesterday. *Mol. Cell Biochem.* 63 (2), 165-189.
- Jørgensen, J. B., Sharp, G. J. E., Secombes, C. J., Robertsen, B., 1993. Effect of a yeast-cell-wall glucan on the bactericidal activity of rainbow trout macrophages. *Fish Shellfish Immunol.* 3, 267-277.
- Kang, L., Yap, C. W., Lim, P. F. C., Chen, Y. Z., Ho, P. C., Chan, Y. W., Wong G.P., Chan, S. Y., 2007. Formulation development of transdermal dosage forms: Quantitative structure-activity relationship model for predicting activities of terpenes that enhance drug penetration through human skin. *J. Control. Release*, 120(3), 211-219.

Kasote, D. M., Katyare, S. S., Hegde, M. V., Bae, H., 2015. Significance of antioxidant potential of plants and its relevance to therapeutic applications. Int. J. Biol. Sci. 11 (8), 982.

Klockars, M., Roberts, P., 1976. Stimulation of phagocytosis by human lysozyme, Acta Haematol. 55(5), 289-295.

Kreutz, L. C., Barcellos, L. J. G., de Faria Valle, S., de Oliveira Silva, T., Anziliero, D., dos Santos, E. D., Pivato, M., Zanatta, R., 2011. Altered hematological and immunological parameters in silver catfish (*Rhamdia quelen*) following short term exposure to sublethal concentration of glyphosate. Fish shellfish Immunol. 30 (1), 51-57.

Kohen, R., Nyska, A., 2002. Oxidation of biological systems: oxidative stress phenomena, antioxidants, redox reactions, and methods for their quantification. Toxicol. Pathol. 30 (6), 620-650.

Li, S., Tan, H. Y., Wang, N., Zhang, Z. J., Lao, L., Wong, C. W., Feng, Y., 2015. The role of oxidative stress and antioxidants in liver diseases. Int. J. Mol. Sci. 16 (11), 26087-26124.

Li, C. C., Yu, H. F., Chang, C. H., Liu, Y. T., Yao, H. T., 2017. Effects of lemongrass oil and citral on hepatic drug-metabolizing enzymes, oxidative stress, and acetaminophen toxicity in rats. J. Food Drug. Anal., 1-7.

Liao, P. C., Yang, T. S., Chou, J. C., Chen, J., Lee, S. C., Kuo, Y. H., Ho, C. L., Chao, L. K. P., 2015. Anti-inflammatory activity of neral and geranial isolated from fruits of *Litsea cubeba* Lour. *J. Funct. Foods* 19, 248-258.

Lowry, O.H., Rosebrough, N.J., Farra, L., Randall, R.J., 1951. Protein measurement with the Folin Phenol Reagent. *J. Biol. Chem.* 193, 265–275.

Magnadóttir, B., 2006. Innate immunity of fish (overview). *Fish Shellfish Immunol.* 20, 137-151.

McManus, J.F.A., 1946. Histological demonstration of mucin after periodic acid. *Nature*, 158, 202.

Mertens, D. R., 2002. Gravimetric determination of amylase-treated neutral detergent fibre in feeds with refluxing beakers or crucibles: collaborative study. *J AOAC*, 85, 1217-1240.

Michelotti, B. T., Passini, G., Carvalho, C., Salbego, J., Mori, N. C., Rodrigues, R. V., Baldissserotto, B., Cerqueira, V. R., 2018. Growth and metabolic parameters of common snook juveniles raised in freshwater with different water hardness. *Aquaculture* 482, 31-35.

Misra, H.P., Fridovich, I., 1972. The role of superoxide anion in the autoxidation of epinephrine and a simple assay for superoxide dismutase. *J. Biol. Chem.* 247, 3170–3175.

Morales-DelaNuez, A., Castro, N., Moreno-Indias, I., Juste, M. C., Sánchez-Macías, D., Briggs, H., Capote, J., Arguello, A., 2009. Effects of a reputed immunostimulant on the innate immune system of goat kids. *Small Rumin. Res.* 85, 23-26.

Nakamura, Y., Miyamoto, M., Murakami, A., Ohigashi, H., Osawa, T., Uchida, K., 2003. A phase II detoxification enzyme inducer from lemongrass: identification of citral and involvement of electrophilic reaction in the enzyme induction. *Biochem. Biophys. Res. Commun.*, 302, 593-600.

National Institute of Standards and Technology: NIST 08. Mass spectral library (NIST/EPA/NIH), Gaithersburg, USA, 2008.

Nilojan, J., Bathige, S. D. N. K., Kugapreethan, R., Thulasitha, W. S., Nam, B. H., Lee, J., 2017. Molecular, transcriptional and functional insights into duplicated goose-type lysozymes from *Sebastes schlegelii* and their potential immunological role. *Fish Shellfish Immunol.*, 2017.

Ortiz, M. I., Ramírez-Montiel, M. L., González-García, M. P., Ponce-Monter, H. A., Castañeda-Hernández, G., Cariño-Cortés, R., 2010. The combination of naproxen and citral reduces nociception and gastric damage in rats. *Arch. Pharm. Res.* 33, 1691- 1697.

Parodi, T. V., Cunha, M. A., Heldwein, C. G. , de Souza, D. M., Martins, Á. C., Garcia, L. D. O., Junior, W. W., Monserrat, J. M., Schmidt, D., Caron, B. O., Heinzmann, B.,

Baldisserotto, B., 2012. The anesthetic efficacy of eugenol and the essential oils of *Lippia alba* and *Aloysia triphylla* in post-larvae and sub-adults of *Litopenaeus vannamei* (Crustacea, Penaeidae). Comp. Biochem. Physiol. C. Toxicol. Pharmacol. 155 (3), 462-468.

Pisoschi, A. M., Pop, A., 2015. The role of antioxidants in the chemistry of oxidative stress: a review. Eur. J. Med. Chem. 97, p. 55-74.

Pitanga, T. N., de Aragão França, L., Rocha, V. C. J., Meirelles, T., Borges, V. M., Gonçalves, M. S., Pontes de Carvalho, L. C., Noronha Dutra, A. A., dos-Santos, W. L. C., 2014. Neutrophil-derived microparticles induce myeloperoxidase-mediated damage of vascular endothelial cells. BMC Cell Biology 15 (1), p. 21.

Ponce-Monter, H., Fernández-Martínez, E., Ortiz, M. I., Ramírez-Montiel, M. L., Cruz-Elizalde, D., Pérez-Hernández, N., Cariño-Cortés, R., 2010. Spasmolytic and anti-inflammatory effects of *Aloysia triphylla* and citral, *in vitro* and *in vivo* studies. J. Smooth Muscle Res. 46, 309-319.

Quade, M. J., Roth, J. A., 1997. A rapid, direct assay to measure degranulation of bovine neutrophil primary granules. Vet. Immunol. Immunopathol. 58, 239-248.

Russell, M., Prokoph, N., Henderson, N., Eketjäll, S., Balendran, C. A., Michaëlsson, E., Fidock, M., Hughes, G., 2017. Determining myeloperoxidase activity and protein

concentration in a single assay: Utility in biomarker and therapeutic studies. *J. Immunol. Methods* 449, 76-79.

Saccol, E.M.H., Uczay, J., Pêس, T.S., Finamor, I.A., Ourique, G.M., Riffel, A.P.K., Schimidt, D., Caron, B.O., Heinzmann, B.M., Llesuy, S.F., Lazzari, R., Baldisserotto, B., Pavano, M.A., 2013. Addition of *Lippia alba* (Mill) N. E. Brown essential oil to the diet of the silver catfish: an analysis of growth, metabolic and blood parameters and the antioxidant response. *Aquaculture* 416, 244–254.

Secombes, C. J., Wang, T, 2012. The innate and adaptive immune system of fish. *Infectious disease in aquaculture: prevention and control* 231, 3-68.

Senger, C. C., Kozloski, G. V., Sanchez, L. M. B., Mesquita, F. R., Alves, T. P., & Castagnino, D. S., 2008. Evaluation of autoclave procedures for fibre analysis in forage and concentrate feedstuffs. *Anim Feed Sci Technol.* 146, 169-174.

Shen Y., Halperin J. A., Benzaquen L., Lee C. M., 1997. Characterization of neuronal cell death induced by complement activation. *Brain Res. Brain Res. Protoc.* 1, 186-94.

Silva-Angulo, A. B., Zanini, S. F., Rosenthal, A., Rodrigo, D., Klein, G., Martínez, A., 2015. Combined effect of carvacrol and citral on the growth of *Listeria monocytogenes* and *Listeria innocua* and on the occurrence of damaged cells. *Food Control* 53, 156-162.

Sinha, S., Jothiramajayam, M., Ghosh, M., Mukherjee, A., 2014. Evaluation of toxicity of essential oils palmarosa, citronella, lemongrass and vetiver in human lymphocytes. *Food Chem. Toxicol.* 68, 71-77.

Södergren, E., Nourooz-Zadeh, J., Berglund, L., Vessby, B., 1998. Re-evaluation of the ferrous oxidation in xylenol orange assay for the measurement of plasma lipid hydroperoxides. *J. Biochem. Biophys. Methods* 7, 137–146.

Sousa, D. G., Sousa, S. D. G., Silva, R. E. R., Silva-Alves, K. S., Ferreira-da-Silva, F. W., Kerntopf, M. R., Menezes, I. R. A., Leal-Cardoso J. H., Barbosa, R., 2015. Essential oil of *Lippia alba* and its main constituent citral block the excitability of rat sciatic nerves. *Braz. J. Med. Biol. Res.* 48(8), 697-702.

Souza C.F, C., Baldissera, M. D., Bianchini, A. E., da Silva, E. G., Mourão, R. H. V., da Silva, L. V. F., Schmidt D., Heinzmann, B. M., Baldisserotto, B., 2017. Citral and linalool chemotypes of *Lippia alba* essential oil as anesthetics for fish: a detailed physiological analysis of side effects during anesthetic recovery in silver catfish (*Rhamdia quelen*). *Fish Physiol Biochem*, 1-14.

Sutili F. J., Gatlin D. B., Heinzmann B. M., Baldisserotto B., 2017. Plant essential oils as fish diet additives: benefits on fish health and stability in feed. *Reviews in Aquaculture* 0, 1–11.

Sweetman, J. W., Torrecillas, S., Dimitroglou, A., Rider, S., Davies, S. J., Izquierdo, M. S., 2010. Enhancing the natural defences and barrier protection of aquaculture species. Aquaculture Res., 41, 345-355.

Tamir, I., Abramovici, A., Milo-Goldzweig, I., Segal, R., 1984. The hemolytic activity of citral: evidence for free radical participation. Biochem. Pharmacol. 33(19), 2945-2950.

Tew, K. D., Manevich, Y., Grek, C., Xiong, Y., Uys, J., Townsend, D. M., 2011. The role of glutathione S-transferase P in signaling pathways and S-glutathionylation in cancer. Free Radic. Biol. Med. 51 (2), 299-313.

Tort, L., 2011. Stress and immune modulation in fish. Dev. Comp. Immunol. 35, 1366–1375.

Vale, T. G., Furtado, E. C., Santos, J. G., Viana, G. S. B., 2002. Central effects of citral, myrcene and limonene, constituents of essential oil chemotypes from *Lippia alba* (Mill.) NE Brown. Phytomedicine 9 (8), 709-714.

Vutukuru, S. S., Prabhath, N. A., Raghavender, M., Yerramilli, A., 2007. Effect of arsenic and chromium on the serum amino-transferases activity in Indian major carp, *Labeo rohita*. Int. J. Environ. Res. Public Health 4 (3), 224-227.

Wedemeyer, G., 1996. Physiology of fish in intensive culture systems. Springer Science & Business Media, (232 p.).

Welsch, U.N., Storch, V.N., 1973. Enzyme histochemical and ultrastructural observations of the liver of teleost fishes. Arch. Histol. Jpn. (Niigata, Jpn.) 36, 21-37.

Wolf, J. C., Wheeler, J. R., 2018. A critical review of histopathological findings associated with endocrine and non-endocrine hepatic toxicity in fish models. Aquat. Toxicol., 197, 60-78.

Zeppenfeld, C. C., Toni, C., Becker, A. G., dos Santos Miron, D., Parodi, T. V., Heinzmann, B. M., Barcellos, L. J. G., Koakoski, G., Da Rosa, J. G. S., Loro, V. L., da Cunha, M. A., Baldisserotto, B., 2014. Physiological and biochemical responses of silver catfish, *Rhamdia quelen*, after transport in water with essential oil of *Aloysia triphylla* (L'Herit) Britton. Aquaculture 418, 101-107.

Zeppenfeld, C. C., Hernández, D. R., Santinón, J. J., Heinzmann, B. M., Cunha, M. A., Schmidt, D., Baldisserotto, B., 2016. Essential oil of *Aloysia triphylla* as feed additive promotes growth of silver catfish (*Rhamdia quelen*). Aquac. Nutr. 22(4), 933-94.

Zeppenfeld, C. C., Saccòl, E. M. H., Pê, T. S., Salbego, J., Koakoski, G., Santos, A. C., Heinzmann, B. M., Cunha, M. A. Barcellos, L. J. G., Pavanato, M. A., Caron, B. O., Baldisserotto, B., 2017. *Aloysia triphylla* essential oil as food additive for *Rhamdia quelen* – Stress and antioxidant parameters. Aquac. Nutr. 23, 1362–1367.

Zhang, H., Zhou, W., Zhang, W., Yang, A., Liu, Y., Jiang, Y., Huang S. Su, J., 2014. Inhibitory effects of citral, cinnamaldehyde, and tea polyphenols on mixed biofilm

formation by foodborne *Staphylococcus aureus* and *Salmonella enteritidis*. J Food Prot. 77 (6), 927-933.

Zheng, Z. L., Tan, J. Y. W., Liu, H. Y., Zhou, X. H., Xiang, X., Wang, K. Y.,
2009. Evaluation of oregano essential oil (*Origanum heracleoticum L.*) on growth,
antioxidant, effect and resistance against *Aeromonas hydrophila* in channel catfish
(*Ictalurus punctatus*). Aquaculture 292, 214–218.

Zipfel, P. F., Skerka, C., 2009. Complement regulators and inhibitory proteins. Nat. Rev. Immunol., 9 (10), 729-740.

TABLES

Table 1

Formulation (%) of the experimental diet

| Ingredients | (%) |
|------------------------------------|-----|
| Starch | 14 |
| Soy lecithin | 1 |
| Vitamins and minerals (premix)* | 0.5 |
| Fresh squid | 12 |
| Fish meal | 70 |
| Fish oil | 2.4 |
| Vitamin C | 0.1 |

*Vitamin and mineral mixture (security levels per kilogram of product) — folic acid: 250 mg, pantothenic acid: 5.000 mg, antioxidant: 0.60 g, biotin: 125 mg, cobalt: 25 mg, copper: 2.000 mg, iron: 820 mg, iodo: 100 mg, manganese: 3.750 mg, niacin: 5.000 mg, selenium: 75 mg, vitamin A: 1.000.000 UI, vitamin B1: 1.250 mg, vitamin B12: 3.750 mcg, vitamin B2: 2.500 mg, vitamin B6: 2.485 mg, vitamin C: 28.000 mg, vitamin D3: 500.000 UI, vitamin E: 20.000 UI, vitamin K: 500 mg, zinc: 17.500 mg.

Table 2

Composition (%) of the experimental diet

| | Groups (g citral) | | | |
|-------------------------|--------------------------|-------------|-------------|-------------|
| | 0 | 0.44 | 0.88 | 1.76 |
| Dry matter content | 94.21 | 94.42 | 94.21 | 94.44 |
| Protein | 53.32 | 53.96 | 54.29 | 53.35 |
| Ether extract | 9.37 | 9.75 | 9.33 | 9.77 |
| Mineral matter | 20.35 | 21.48 | 20.22 | 20.87 |
| Acid detergent fiber | 1.79 | 2.03 | 1.98 | 2.05 |
| Neutral detergent fiber | 15.17 | 12.78 | 14.18 | 13.96 |

Table 3

Hepatic enzymes in plasma of *Centropomus undecimalis* fed with diets containing different concentrations of citral

| | <i>Control</i> | 0.44 | 0.88 | 1.76 |
|-----|--------------------------|--------------------------|--------------------------|--------------------------|
| AST | 33.38±10.39 ^a | 43.76±14.42 ^a | 51.58±15.71 ^a | 33.12±10.30 ^a |
| ALT | 68.90±13.25 ^a | 52.89±2.32 ^a | 57.23±17.60 ^a | 54.73±4.23 ^a |

AST – Aspartate aminotransferase; ALT – Alanine aminotransferase.

Values are mean ± SEM (n= 4). Different lowercase letters indicate significant difference between the treatments using one-way ANOVA and Tukey's test (p < 0.05)

Table 4 Liver histology parameters (μm) in *Centropomus undecimalis* fed with diets containing different concentrations of citral.

| | <i>Control</i> | <i>0.5</i> | <i>1.0</i> | <i>2.0</i> |
|-----------------------|-------------------------------|-------------------------------|-------------------------------|-------------------------------|
| <i>Lobular center</i> | <i>1539±274.4^a</i> | <i>1376±132.1^a</i> | <i>1501±136.8^a</i> | <i>1937±433.5^a</i> |
| <i>vein</i> | | | | |
| <i>Sinusoidal</i> | <i>5.84±0.20^a</i> | <i>5.31±0.12^a</i> | <i>4.31±0.28^b</i> | <i>4.03±0.20^b</i> |
| <i>capillaries</i> | | | | |
| <i>Hepatocytes</i> | <i>118.0±4.77^a</i> | <i>108.2±3.28^a</i> | <i>110.1±3.76^a</i> | <i>112.4±3.46^a</i> |

All the values are expressed as mean \pm SEM (n= 4). Different lowercase letters indicate significant difference between the treatments using one-way ANOVA and Tukey's test (p < 0.05) .

FIGURES

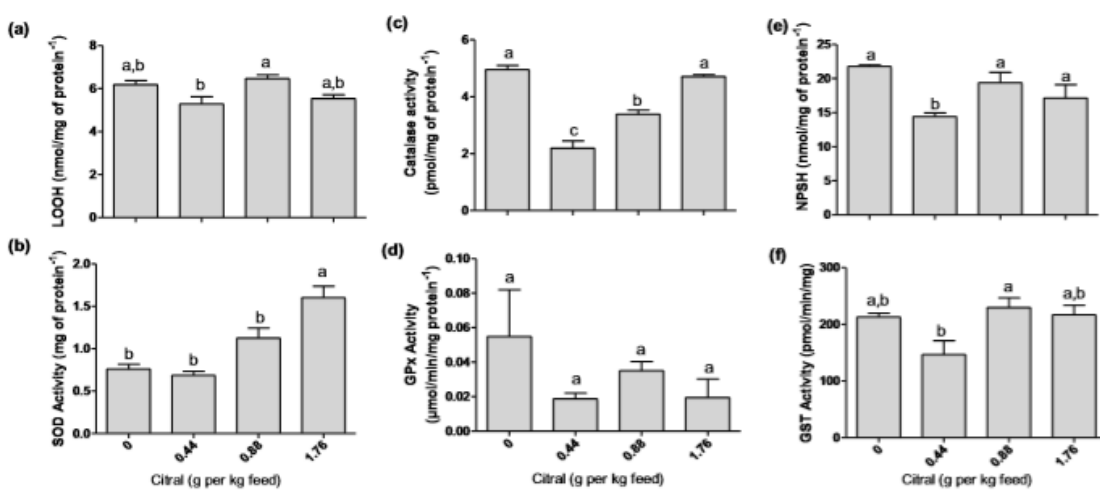


Fig. 1. (a) Lipid hydroperoxides levels (LOOH), (b) superoxide dismutase (SOD) activity, (c) catalase (CAT) activity, (d) glutathione peroxidase (GPx) activity, (e) non-protein thiol (NPSH) levels, and (f) glutathione S-transferase (GST) activity in the liver of *Centropomus undecimalis* fed diets containing different concentrations of citral. All values are expressed as mean \pm SEM ($n = 4$). Different lowercase letters indicate significant difference between treatments ($p < .05$).

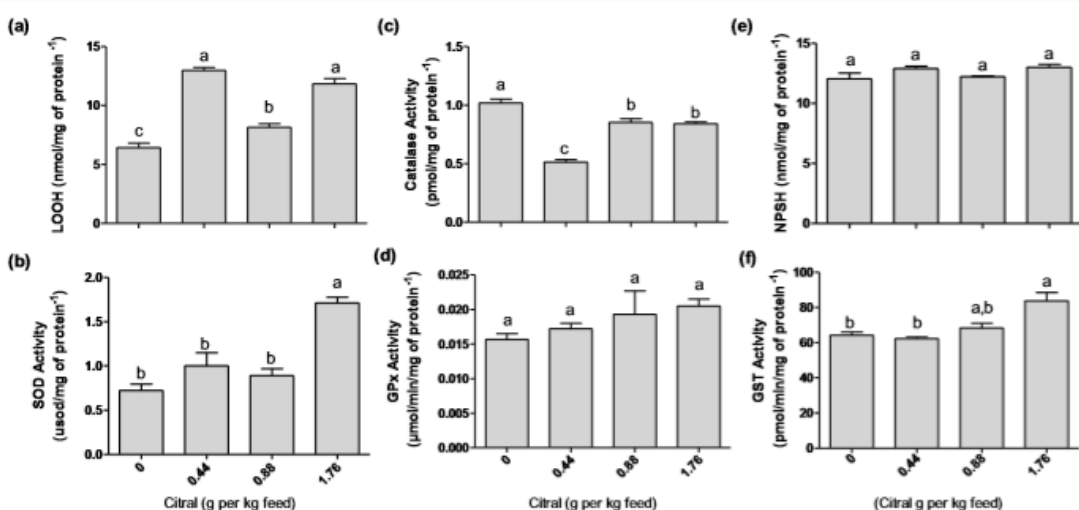


Fig. 2. (a) Lipid hydroperoxides (LOOH) levels, (b) superoxide dismutase (SOD) activity, (c) catalase (CAT) activity, (d) glutathione peroxidase (GPx) activity, (e) non-protein thiol (NPSH) levels, and (f) glutathione S-transferase (GST) activity in the gills of *Centropomus undecimalis* fed diets containing different concentrations of citral. All values are expressed as mean \pm SEM ($n = 4$). Different lowercase letters indicate significant difference between the treatments ($p < .05$).

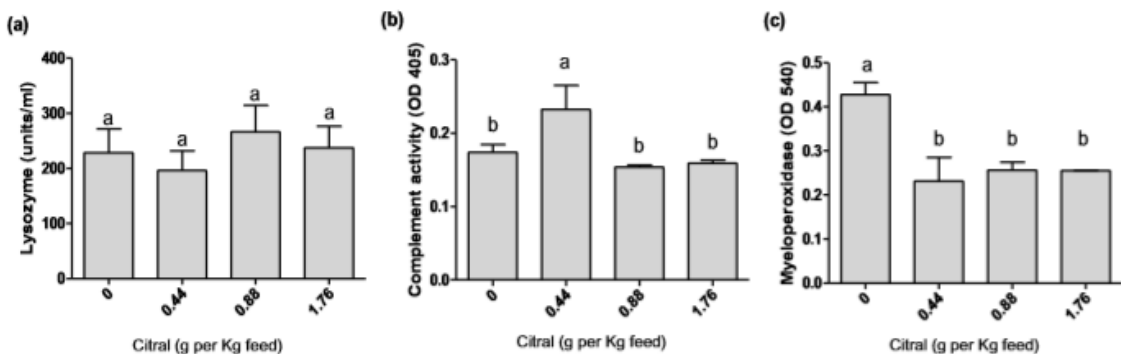


Fig. 3. (a) Lysozyme activity (units/ml), (b) haemolytic activity of complement system (%), and (c) Myeloperoxidase levels (OD540) in plasma obtained from *Centropomus undecimalis* fed diets containing different concentrations of citral. All values are expressed as mean \pm SEM ($n = 4$). Different lowercase letters indicate significant difference between the treatments ($p < .05$).

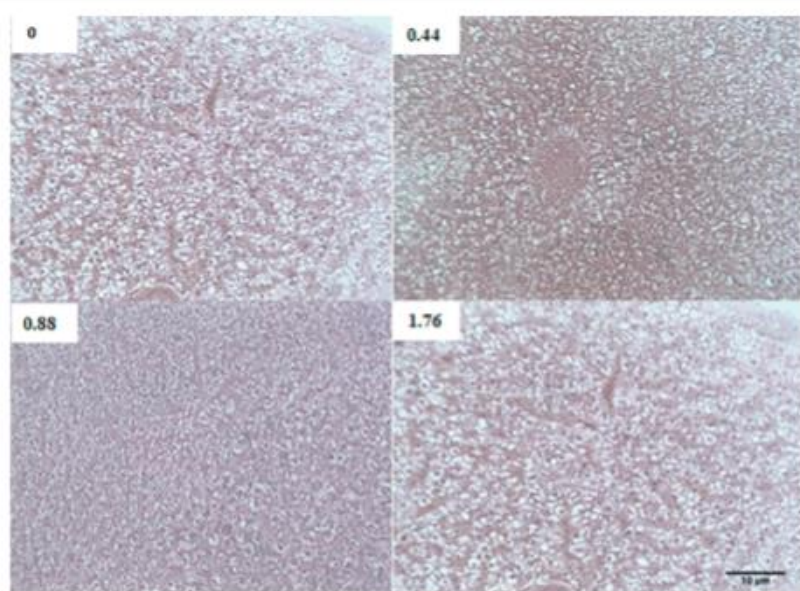


Fig. 4. Histological characteristics of liver from *Centropomus undecimalis* fed with diets containing different concentrations of citral (g per Kg feed).

4.2 Artigo 2

Redox profile, innate immune system, and hepatic parameters in *Mugil liza* juveniles after the dietary addition of citral

Natacha Cossettin Mori^{a, b}, Bruna Tomazetti Michelotti^c, Caroline Azzolin Bressan^a, Fernando Jonas Sutili^e, Luiz Carlos Kreutz^d, Bernardo Baldisserotto^{a, e}, Maria Amália Pavanato^{a, e}, Vinicius Rozani Cerqueira^f, Silvio Teixeira da Costa^h, Berta Maria Heinzmann^{a, g}

*

^a Graduate Program in Pharmacology, Centro de Ciências da Saúde/ CCS, Federal University of Santa Maria/ UFSM, Prédio 21, Campus Universitário, BR-97105-900 Santa Maria, RS, Brazil

^b Department of Health and Agricultural Sciences/CCSA, University of Cruz Alta/UNICRUZ, Rodovia Municipal Jacob Della Méa, s/n, BR-98020-290, Cruz Alta, RS, Brazil

^c Graduate Program in Animal Science, Prédio 78, Campus Universitário, BR-97105-900 Santa Maria, RS, Brazil

^d School of Agronomy and Veterinary Medicine, University of Passo Fundo, BR-99052-900, Passo Fundo, RS, Brazil.

^e Department of Physiology and Pharmacology, CCS, Federal University of Santa Maria, Prédio 21, BR-97105-900 Santa Maria, RS, Brazil

^f Marine Fisheries Laboratory, Department of Aquaculture, Centro de Ciências Agrárias, Federal University of Santa Catarina, BR-88061-600, Florianópolis, SC, Brazil

^g Department of Industrial Pharmacy, CCS, Federal University of Santa Maria, Prédio

26, Campus Universitário, BR-97105-900, Santa Maria, RS, Brazil

^h Departament of Morphology, CCS, Federal University of Santa Maria, Prédio 19,

Campus Universitário, BR-97105-900, Santa Maria, RS, Brazil

*Corresponding author

Name: Berta Maria Heinzmann

E-mail: berta.heinzmann@gmail.com

Address: Departamento de Farmácia Industrial, CCS, UFSM, Prédio 26, Campus Universitário, BR-97105-900, Santa Maria, RS, Brazil

Telephone: +55(55)32209674

Running title: Citral as a dietary additive for *Mugil liza*

Key words: monoterpenoids, fish, diet, oxidative stress, innate immune system, hepatic biomarkers.

ABSTRACT: Different citral concentrations (0, 0.44, 0.88, and 1.76 g per kg feed) were added to the diet of *Mugil liza* juveniles for 45 days and their effect on oxidative stress biomarkers, innate immune system, and liver damage were evaluated. The presence of citral reduced lipoperoxidation in the liver, improved superoxide dismutase activity, glutathione peroxidase, glutathione-S-transferase in the liver, gills, and brain, in addition to increasing non-protein thiol levels in the gills and brain, especially at higher concentrations. Myeloperoxidase levels were lower in groups that consumed 0.88 and 1.76 g citral per kg feed. These effects occurred without promoting hepatic injury, since histological parameters and serum aspartate aminotransferase (and alanine aminotransferase) as well as histological parameters from treated fish did not differ from the control group. The use of citral at 1.76 g per kg feed improved the health of *Mugil liza*; therefore, it is recommended for the increased productivity of this species.

1. Introduction

Animals grown in aquatic environments are naturally predisposed to stress development. This is because the handling and transport of animals, changes in water quality, and presence of chemicals, contaminants, and pathogens are common in aquaculture. These alterations reflect directly on the productivity of cultivated species, generating a negative economic impact on this activity (Tort, 2011).

The stress of managing these animals in such environments also induces responses in the oxidative system. In general, there is an imbalance between antioxidants and oxidants in favor of the latter, leading to the disruption of redox signaling and to molecular control and/or damage (Sies, 2015). According to Birnie-Gauvin et al. (2017), antioxidant defenses minimize oxidative stress and are associated with fertility and survival, while oxidative stress negatively affects fish reproduction and growth. This occurs because reactive oxygen species (ROS)

which are generated under oxidative stress attack biomolecules, impairing their function (Gebicki, 2016). Thus, a redox profile can be used to evaluate health of *Mugil liza*.

The immune system is particularly sensitive to oxidative stress because (1) ROS generation is necessary for the microbicidal activity of phagocytic cells; (2) polyunsaturated fatty acids from the plasma membrane of the immune cells are susceptible to external ROS and (3) antioxidants from the immune cells preserve the integrity and function of macromolecules as well as control signal transduction of gene expression (De La Fuente, 2002; Aslani and Ghobadi, 2016). Thus, according to Tort (2011), stress responses may affect immune system efficiency, consequently compromising immune defences and resistance to pathogens in fish.

Therefore, compounds that may minimize oxidative stress and supplementation of immunostimulant diets to improve weight gain, feed efficiency, and/or disease resistance in cultured fish have been employed to minimize the impact of managing conditions in fish productivity (Vallejos-Vidal et al., 2016). Hence, natural compounds have shown important advantages in aquaculture, considering they have expressive biological activity and low occurrence of adverse events (Sutili et al., 2017).

Citral, which is a monoterpene aldehyde composed of the geometric isomers neral and geranial, is found in a wide variety of plants (Saddiq and Kayyat, 2010) and has already been linked to benefits in some fish species. Brum et al., (2017) reported that *Zingiber officinale* essential oil (41.1% citral) supplementation improved growth and presented immunomodulatory effects on Nile tilapia (*Oreochromis niloticus*) after the challenge performed with *Streptococcus agalactiae*. Dietary supplementation with *Aloysia triphylla* essential oil (50.2% citral) also stimulated growth, antioxidant capacity, prevented lipoperoxidation, and decreased cortisol release in *Rhamdia quelen* (Zeppenfeld et al., 2017).

In vitro studies have also linked citral to anti-inflammatory properties. For example, Liao et al. (2015) demonstrated that nerol promoted inhibition of cytokine secretion and inflammatory molecule expression of lipopolysaccharide-stimulated macrophages. Mori et al. (2018) detected decreased myeloperoxidase activity after the addition of citral in the diet of *Centropomus undecimalis*. Although numerous studies with essencial oil (EO) containing citral have shown good results in fish, the use of citral in aquaculture is still conflicting. *Mugil liza* is a marine fish of the Mugilidae family. It inhabits coastal regions from the Caribbean Sea to northern Patagonia in Argentina and estuarine environments (Fortunato et al., 2017). According to Lisboa et al. (2015), the cultivation of this species has attracted the attention of fish farmers due to its low position in the food chain and ease of handling. Therefore, in order to increase the possibilities of chemical and biochemical interventions to improve the health and productivity of this species, the possible benefits of citral in the diet of *Mugil liza* redox profile and innate immune system were investigated. Furthermore, this substance was also tested for hepatic toxicity in this fish species.

2. Materials and methods

2.1 Fish conditioning and water quality

This experiment was performed at the Laboratory of Marine Fish Farming (LAPMAR) of Federal University of Santa Catarina (UFSC), Florianópolis, Southern Brazil. The study was approved by the Ethics Committee on Animal Experimentation of UFSC (registration number PP00861/2013).

Mugil liza juveniles (6.69 ± 0.06 g and 8.56 ± 0.01 cm) were randomly distributed into four water recirculation systems with salinity 32.19 ± 0.18 ppt. Each system consisted of three circular tanks (150 L). During the experimental period, the water contained in these tanks was removed through a central pipeline with a bag filter (50 μm), biological filter, foam fractionator, and ultraviolet sterilizer (60w). After the treatment, the water was returned to the experimental tanks. Fish were acclimated to experimental conditions for four days. Food and feces were removed through siphoning and an average of 25% of water was renewed on a daily basis.

Water parameters were checked daily (temperature, pH, and dissolved oxygen) or weekly (alkalinity, ammonia, and nitrite) throughout the experimental period as described by Zeppenfeld et al. (2014). Water parameters remained stable during the whole of the experimental period. The temperature was maintained at $27.11 \pm 0.11^\circ\text{C}$, pH at 7.58 ± 0.13 , and dissolved oxygen at 5.16 ± 0.16 mg L $^{-1}$. Alkalinity (103.65 ± 0.34 mg CaCO $_3$ L $^{-1}$), nitrite (0.2 ± 0.04 mg L $^{-1}$), and total ammonia (0.2 ± 0.05 mg L $^{-1}$) were maintained within the desired range.

2.2 Citral

Citral was obtained from Sigma Aldrich® (St. Louis, Missouri, USA). Isomer quantification was performed before incorporating citral into the diet. Composition analyses are reported in Mori et al. (2018). The relative percentage of compounds was estimated by under peak area integration obtained from chromatogram (α -Citral, syn geranal = 60.15%; β -Citral, syn neral = 39.85%).

2.3 Diets and experimental design

Four diets based on the same initial formulation (Barbuio, 1999) (Table 1) containing different concentrations of citral (0-control; 0.44; 0.88; 1.76 g per kg feed equivalent to 0-control; 0.5; 1.0; 2.0 mL per kg feed) were pelletized using a 6 mm pellet size. Citral was previously mixed with fish oil. All ingredients were homogenized manually and dried at 40 °C for 24 h. Fish received the experimental diets until apparent satiety, four times a day for 45 days. The feed was suspended 24 h prior to sampling and final tissue collection. The experimental design resulted in four groups and all assays were performed in triplicate. Diet composition analysis was carried out as described by Mori et al. (2018) (Table 1).

2.4 Sample collection

After 45 days, ten fish from each tank were used for sample collection and analytical determination. Blood sampling was performed from the caudal vein with sterile heparin-filled syringes. The fish were anesthetized with 50 mg L⁻¹ benzocaine and euthanized by sectioning the spinal cord and liver. The gills and brain were frozen in liquid nitrogen immediately after removal. Tissues were stored at -20 °C for further analysis.

2.5 Prooxidant and antioxidant analyses

Tissues were homogenized according to Azambuja et al. (2011) using a medium containing 120 mM KCl and 30 mM sodium phosphate buffer (pH 7.4). Protein content was measured using the method of Lowry et al. (1951), and results are reported as mg mL⁻¹.

Lipoperoxidation (LPO) levels were estimated according to the method described by Södergren et al. (1998). This technique can detect lipid hydroperoxides (LOOH) through Fe²⁺

oxidation by primary products of peroxidation in an acidic medium with xylenol orange dye. The readings were performed at 560 nm and the results were reported as nmol mg protein⁻¹. Total superoxide dismutase (SOD) activity was performed according to Misra and Fridovich (1972) and based on the inhibition rate of autocatalytic adenochrome generation. Readings were performed at 480 nm and the results were reported as SOD units/mg protein⁻¹. Catalase (CAT) activity was evaluated as described by Boveris and Chance (1973). Results were reported as pmol min⁻¹ mg protein⁻¹ and readings performed at 240 nm. Glutathione peroxidase (GPx) activity was measured according to the method by Flohé and Gunzler (1984), which is based on NADPH oxidation at 340 nm. Results were expressed as nmol min⁻¹ mg protein⁻¹.

Non-protein thiol (NPSH) content, which is an indirect measure of reduced glutathione (GSH), was evaluated after reacting with 5,5'-dithiobis (2-nitrobenzoic acid) at 412 nm and reported as µmol mg protein⁻¹ (Ellman, 1959). Glutathione S-transferase (GST) activity was measured by the rate of dinitrophenyl S-glutathione formation at 340 nm (Habig et al., 1974) and the results were expressed as µmol min⁻¹ mg protein⁻¹.

2.6. Innate immune system measurements

Hemolytic activity of the complement system (HACS) was measured according to Morales-DelaNuez et al. (2009) and with the modifications described in detail by Mori et al. (2019). The percent of hemolysis was calculated by comparing total hemolysis (100%) and no-hemolysis (0%) controls as follows: % hemolysis= [(A₅₄₀ sample-A₅₄₀ no-hemolysis)/(A₅₄₀ total hemolysis-A₅₄₀ no-hemolysis)] × 100.

Lysozyme activity was determined by a turbidimetric assay as described by Jørgensen et. al (1993). A suspension (200 µL) of *Micrococcus lysodeikticus* in PBS solution (0.2 g/L) at pH 6.2 was mixed with plasma (10 µL). Lysozyme activity (units/mL) was calculated using $[(\Delta_{\text{absorbance}(4-1\text{min})}/3)/0.001] \times 100$. A lysozyme activity unit was defined as the number of enzymes decreasing in absorbance of 0.001/min.

The peroxidase content of fish serum was determined according to the protocol of Quade and Roth (1997) with some modifications, as described in detail by Mori et al. (2019).

2.7 Aspartate transaminase (AST) and Alanine transaminase (ALT) levels

Hepatic enzyme levels in serum were determined using commercial kits (Gold analisa[®]) and expressed as U mL⁻¹.

2.8 Liver morphometry

Liver fragments were fixed in Bouin liquid for 24 h and subsequently submitted to dehydration, diaphanization, and inclusion procedures in Leica[®] historesin. Moreover, 4-µm thick sections were submitted to hematoxylin-eosin staining for morphological analysis according to McManus (1946).

2.9 Statistical analysis

Variable distribution was tested using the Kolmogorov-Smirnov test. Data obtained from the studied groups, for the same parameter, were submitted to one-way analysis of variance followed by the Tukey-Kramer test. All analyses were performed with GraphPad Prism[®] Software 5.0. Differences were considered significant at p< 0.05. All biological

determinations were performed in triplicate and results expressed by means \pm standart error of the mean (SEM).

3. Results

3.1 Prooxidant and antioxidant analyses

At 45 days of supplementation, hepatic LOOH significantly decreased in fish that received citral at 0.44 and 1.76 g per kg feed. In addition, the LOOH of the gills of fish fed citral concentration of 0.88 g per kg feed decreased (Table 2). All fish that received citral had lower levels of LOOH in the brain compared to the control group.

Regarding antioxidant enzymes, SOD activity was higher in liver from the group fed 0.44 and 0.88 g citral per kg feed and in gills from the group fed 0.88 and 1.76 g citral per kg feed compared to the control group. Superoxide dismutase had also higher activity in the brain of fish fed 0.44 g citral per kg feed. The group fed 0.88 g citral per kg feed showed lower SOD activity than the other two groups fed citral supplementation; however, it did not differ from the control. Nevertheless, CAT activity did not differ among the experimental groups in all tissues Glutathione peroxidase activity was significantly higher in the liver and brain in all groups that received citral supplementation compared to the control group. Additionally, the activity of this enzyme in the gills was the highest in fish fed 1.76 g citral per kg feed. GST activity increased significantly in the liver, gills and brain of *Mugil liza* suplemented with 0.88 and 1.76 g citral per kg feed compared to the control group. The highest concentrations tested showed higher GST activity compared to the group fed citral 0.44 g per kg feed in liver and gills (Table 2).

Non-protein thiol levels did not differ among the experimental groups in liver, but increased significantly in the gills and brain of fish fed 1.76 g citral per kg feed compared to the control fish and fish that received citral 0.44 and 0.88 g per kg feed in liver and gills (Table 2).

3.2 Innate immune system measurements

Lysozyme and complement activity were not affected significantly by the treatments. Nevertheless, myeloperoxidase activity significantly decreased in fish fed 0.88 and 1.76 g citral per kg feed compared to the control group. The group fed 0.88 g citral per kg feed showed lower myeloperoxidase activity compared to the fish fed 1.76 g citral per kg feed (Fig. 1).

3.3 Aspartate transaminase (AST) and Alanine transaminase (ALT) levels

No significant differences were observed in hepatic enzymes among treatments (Table 3).

3.4 Liver histology parameters

Hepatocytes of all groups were rounded with basophilic spheroidal nuclei located in the centrobasal portion of the cell and with the presence of vacuoles in the cytoplasm (Fig. 2). In morphometric analysis, *Mugil liza* liver samples showed similar lobular center vein, sinusoidal capillaries, and hepatocytes size in all groups (Table 4).

4. Discussion

The occurrence of oxidative stress has been related to increased susceptibility to different environmental or biotic stress and development of different types of pathologies in distinct animal species (Blier, 2014). Oxidative profile has been considered an important tool to evaluate metabolic and general health of fish populations.

Lipid peroxidation (LPO) can be described as a process in which oxidant species attack lipids from the cellular membrane, which results in lipid peroxy radicals and hydroperoxides (Yin et al., 2014). Fish fed the diets containing citral presented lower levels of lipid peroxidation in the liver, gills, and brain. This corroborates the lower LPO levels in the liver and muscle of silver catfish transported in water containing *A. triphylla* essential oil (27 and 36 mg/L) in relation to the control fish (Zeppenfeld et al., 2014). The dietary supplementation with the *A. triphylla* essential oil at 1.76 g per kg feed also decreased LPO levels (Zeppenfeld et al., 2017). Our results suggest that citral may be the most notable factor in the beneficial effects observed in *M. liza*.

To protect themselves against potentially damaging ROS, organisms have developed systems to prevent, eliminate or repair the effects of oxidative stress. The first line of antioxidant defense is composed of enzymes that act extremely fast to neutralize ROS or any ROS-inducing molecules (Ighodaro and Akinloye, 2017).

The enzyme SOD is responsible for anion superoxide dismutation into hydrogen peroxide (H_2O_2) and water (Birnie-Gauvin et al., 2017). In the present study, SOD activity was higher in the gills (1.76 g per kg feed) and brain (0.44 g per kg feed) of fish fed citral, indicating that the presence of this monoterpenoid may increase superoxide neutralization.

To neutralize H₂O₂ produced independently or by SOD action, fish rely on CAT and GPx activities. Catalase is highly efficient, since it can break down millions of hydrogen peroxide molecules to water and molecular oxygen in one second (Glorieux and Calderon, 2017; Ighodaro and Akinloye, 2017). In the current study, CAT activity was low in all tissues, which may have contributed to the lack of citral activity in this enzyme. According to Vélez-Alavez et al. (2015), low or no CAT activity is a common feature in marine teleosts. An alternative explanation is that H₂O₂ concentrations in this species is not high enough to induce the antioxidant activity of this enzyme (Powers and Jackson, 2008). On the other hand, GPx utilizes reducing GSH equivalents to reduce peroxides (Lei et al., 2016). The presence of citral in the diet of *M. liza* increased significantly the GPx activity in the liver, gills, and brain. According to Urso and Clarkson (2003), GPx has a much higher affinity to hydrogen peroxide than CAT, and it may detoxify peroxides. Therefore, the present results indicate that neutralizing H₂O₂ was more efficient in fish that received dietary citral supplementation.

Reduced glutathione (GSH) is the dominant antioxidant in cells that react non-enzymatically with oxidants to inhibit oxidative stress. In addition, GSH reacts enzymatically with GPx and GST, contributing to their action (Ren et al., 2017). The highest concentration of dietary citral tested increased NPSH levels in the gills and brain of *M. liza*, which is an indirect measure of GSH. Dietary supplementation with *Cymbopogon citratus* essential oil (α -citrat=31.8%; β -citrat=27.75%) increased GSH levels in Nile tilapia (Al-Sagheer et al., 2017). Data regarding NPSH determination is an important result, since according to Ming et al. (2015), increasing GSH improves parameters such as growth, survival rate, non-specific immunity, and antioxidant capacity in fish.

Glutathione-S-transferases (GSTs) are the main phase II detoxification enzymes and are responsible for catalyzing the conjugation of a wide variety of structurally dissimilar

compounds containing electrophilic carbon, nitrogen or sulfur atoms with GSH. They play a role in eliminating xenobiotics and protection against oxidative damage (Singhal et al., 2015).

In the present study, the influence of dietary citral on GST levels was evident, since the highest citral concentration increased this parameter in all tissues analyzed. Nakamura et al. (2003) reported that, by studying the *in vitro* GST activation by citral in an epithelial cell line obtained from normal rat livers, the *E*-isomer geranial is the main contributor to GST induction. Moreover, the same authors postulated that the α,β -unsaturated carbonyl group with a *trans*-double bond is an essential structural factor for GST induction by citral.

Overall, the dietary supplementation with citral in *M. liza* induced beneficial effects in oxidative parameters. Moreover, the results here corroborate studies performed with essential oils rich in citral (Zeppenfeld et al., 2017), which also reduced oxidative stress in fish when used for diet supplementation. However, these data can not be generalized since similar dietary citral supplementation for common snook caused oxidative stress, and thus not being recommended for dietary supplementation (Mori et al., 2018).

In addition to benefit redox homeostasis, nutritional strategies may also contribute to modulate immune responses, which are fundamental for the survival of captive-bred animals (Sutili et al., 2017). Although the addition of citral in the diet of *M. liza* did not modulate lysozyme activity and the complement system, which are two important weapons against microorganism infection, it was able to decrease myeloperoxidase levels. This suggests that this monoterpenoid may present antiinflammatory properties (Pitanga et al., 2014). Mori et al. (2018) also demonstrated that citral decreased MPO levels when added to the diet of common snook. Katsukawa et al. (2010) showed that citral is able to activate peroxisome proliferator-activated receptors (PPAR α and γ) and suppress COX-2 expression, which plays a key role in inflammation.

Natural compounds such as essential oils and their main constituents are of interest primarily due to their potential therapeutic effects. However, the investigation of cytotoxic effects is of fundamental importance in order for biological activities to be successfully used in practice (Sharifi-Rad et al., 2017). Thus, considering the hepatic metabolism of citral (Kohlert et al., 2000), its effect on the activity of liver enzymes and liver histology was evaluated. The activity of AST and ALT, as well as histological parameters were not different from the control group and among the the experimental groups , demonstrating that citral did not promote hepatic injury for the mullet in the proposed experimental conditions. The presence of hepatic vacuoles in cells is not astonishing, since different species of teleosts can have the liver parenchyma rich in lipids and glycogen (Welsch and Storch, 1973). These results corroborated Mori et al. (2018), in which AST and ALT levels in common snook were also not affected by dietary citral supplementation.

In conclusion, citral contributed to neutralizing and eliminating ROS, consequently decreasing oxidative stress without causing hepatic toxicity in mullets. Furthermore, the monoterpenoid tested appears to exhibit anti-inflammatory properties in this species. Thus, citral can be considered a potential antioxidant and anti-inflammatory agent with the recommended dietary addition of 1.76 g citral per kg feed for *M. Liza*.

Conflicts of interest

The authors declare no conflicts of interest.

Acknowledgments

The authors gratefully acknowledge the financial support from Conselho Nacional de Desenvolvimento Tecnológico (CNPq, Brazil) in the form of a post-doc fellowship to F.J. Sutili and research fellowships granted to B. Baldisserotto, B.M. Heinzmann, and L.C. Kreutz and Coordenação de Aperfeiçoamento de Pessoal de Nível Superior (CAPES, Brazil) – Finance Code 001 in the form of PhD scholarships granted to C. A. Bressan and B.T. Michelotti

References

- Al-Sagheer, A. A., Mahmoud, H. K., Reda, F. M., Mahgoub, S. A., Ayyat, M. S. (2017). Supplementation of diets for *Oreochromis niloticus* with essential oil extracts from lemongrass (*Cymbopogon citratus*) and geranium (*Pelargonium graveolens*) and effects on growth, intestinal microbiota, antioxidant and immune activities. *Aquaculture Nutrition*, 0, 1–9.
- Aslani, B. A. & Ghobadi, S. (2016). Studies on oxidants and antioxidants with a brief glance at their relevance to the immune system. *Life sciences*, 146, 163-173.
- Ayala, A., Muñoz, M. F. & Argüelles, S. (2014). Lipid peroxidation: production, metabolism, and signaling mechanisms of malondialdehyde and 4-hydroxy-2-nonenal. *Oxidative medicine and cellular longevity*, 2014, 1-31.

Azambuja, C. R., Mattiazzi, J., Riffel, A. P. K., Finamor, I. A., Garcia, L. O., Heldwein, C. G., Heinzmann, B. M., Baldisserotto, B., Pavanatto, M. A. & Llesuy, S. F. (2011). Effect of the essential oil of *Lippia alba* on oxidative stress parameters in silver catfish (*Rhamdia quelen*) subjected to transport. *Aquaculture*, 319, 156-161.

Barbuio, M. A. T. (1999). Efeitos da utilização de uma dieta comercial e dietas experimentais, nas formas seca e semi-úmida, no crescimento e composição corporal do robalo (*Centropomus parallelus* Poey, 1860). Master dissertation. Universidade Federal de Santa Catarina, Brazil.

Birnie-Gauvin, K., Costantini, D., Cooke, S. J. & Willmore, W. G. (2017). A comparative and evolutionary approach to oxidative stress in fish: a review. *Fish Fisheries*, 1–15.

Blier, P. (2014). Fish health: an oxidative stress perspective. *Fisheries and Aquaculture Journal*, 5, 105.

Boveris, A. & Chance, B. (1973). Mitochondrial generation of hydrogen peroxide. General properties and effect of hyperbaric oxygen. *Biochemical Journal*, 134, 707–716.

Brum, A., Pereira, S. A., Owatari, M. S., Chagas, E. C., Chaves, F. C. M., Mourino, J. L. P. & Martins, M. L. (2017). Effect of dietary essential oils of clove basil and ginger on Nile tilapia (*Oreochromis niloticus*) following challenge with *Streptococcus agalactiae*. *Aquaculture*, 468, 235–243.

De la Fuente M. (2002). Effects of antioxidants on immune system ageing. *European Journal of Clinical Nutrition*, 56, 5-8.

Ellman, J. (1959). Tissue sulfhydryl groups. *Archives of biochemistry and biophysics*, 82, 70-77.

Flohé, L. & Gunzler, W. A. (1984). Assays of glutathione peroxidase. In: Colowick, S.P., Kaplan O.N. (Eds.). *Methods in enzymology*, 105, 114-120.

Fortunato, R. C., González-Castro, M., Galán, A. R., Alonso, I. G., Kunert, C., Durà, V. B., & Volpedo, A. (2017). Identification of potential fish stocks and lifetime movement patterns of *Mugil liza* Valenciennes 1836 in the Southwestern Atlantic Ocean. *Fisheries Research*, 193, 164-172.

Gebicki, J. M. (2016). Oxidative stress, free radicals and protein peroxides. *Archives of biochemistry and biophysics*, 595, 33-39.

Glorieux, C. & Calderon, P. B. (2017). Catalase, a remarkable enzyme: targeting the oldest antioxidant enzyme to find a new cancer treatment approach. *Biological chemistry*, 398, 1095-1108.

Habig, W. H., Pabst, M. J. & Jakoby, W. B. (1974). Glutathione S-transferases the first enzymatic step in mercapturic acid formation. *Journal of biological Chemistry*, 249, 7130-7139.

Ighodaro, O. M. & Akinloye, O. A. (2017). First line defence antioxidants-superoxide dismutase (SOD), catalase (CAT) and glutathione peroxidase (GPX): Their fundamental role in the entire antioxidant defence grid. *Alexandria Journal of Medicine*, 54, 287-293.

Jørgensen, J. B., Sharp, G. J. E., Secombes, C. J. & Robertsen, B. (1993). Effect of a yeast-cell-wall glucan on the bactericidal activity of rainbow trout macrophages. *Fish & Shellfish Immunology*, 3, 267-277.

Kohlert, C., Van Rensen, I., März, R., Schindler, G., Graefe, E. U., & Veit, M. (2000). Bioavailability and pharmacokinetics of natural volatile terpenes in animals and humans. *Planta medica*, 66, 495-505.

Lei, X. G., Zhu, J. H., Cheng, W. H., Bao, Y., Ho, Y. S., Reddi, A. R., Holmgren A. & Arnér, E. S. (2016). Paradoxical roles of antioxidant enzymes: basic mechanisms and health implications. *Physiological reviews*, 96, 307-364.

Liao, P. C., Yang, T. S., Chou, J. C., Chen, J., Lee, S. C., Kuo, Y. H., Ho C. H. & Chao, L. K. P. (2015). Anti-inflammatory activity of neral and geranal isolated from fruits of *Litsea cubeba* Lour. *Journal of Functional Foods*, 19, 248-258.

Lisboa, V., Barcarolli, I. F., Sampaio, L. A., & Bianchini, A. (2015). Effect of salinity on survival, growth and biochemical parameters in juvenile Lebranch mullet *Mugil liza* (Perciformes: Mugilidae). *Neotropical Ichthyology*, 13, 447-452.

Lowry, O.H., Rosebrough, N. J., Farra, L. & Randall, R.J. (1951). Protein measurement with the Folin Phenol Reagent. *Journal of biological chemistry*, 193, 265-275.

Katsukawa, M., Nakata, R., Takizawa, Y., Hori, K., Takahashi, S. & Inoue, H. (2010). Citral, a component of lemongrass oil, activates PPAR α and γ and suppresses COX-2 expression. *Biochimica et Biophysica Acta (BBA)-Molecular and Cell Biology of Lipids*, 1801, 1214-1220.

McManus, J. F. A. (1946). Histological demonstration of mucin after periodic acid. *Nature*, 158, 202.

Ming, J. H., Ye, J. Y., Zhang, Y. X., Xu, P. & Xie, J. (2015). Effects of dietary reduced glutathione on growth performance, non-specific immunity, antioxidant capacity and expression levels of IGF-I and HSP70 mRNA of grass carp (*Ctenopharyngodon idella*). *Aquaculture*, 438, 39-46.

Misra, H.P. & Fridovich, I. (1972). The role of superoxide anion in the autoxidation of epinephrine and a simple assay for superoxide dismutase. *Journal of Biological chemistry*, 247, 3170-3175.

Morales-DelaNuez, A., Castro, N., Moreno-Indias, I., Juste, M. C., Sánchez-Macías, D., Briggs, H., Capote, J. & Arguello, A. (2009). Effects of a reputed immunostimulant on the innate immune system of goat kids. *Small ruminant research*, 85, 23-26.

Mori, N. C.; Michelotti, B.T.; Pê, T. da S.; Bressan, C. A.; Sutili, F.; Kreutz, L.C.; Garlet, Q.; Baldisserotto, B.; Pavanato, M.A.; Cerqueira, V.; Da Costa, S.T.; Heinzmann, B.M. (2018). Citral as a dietary additive for *Centropomus undecimalis* juveniles: Redox, immune innate profiles, liver enzymes and histopathology. *Aquaculture*, 501, 14-21.

Nakamura, Y., Miyamoto, M., Murakami, A., Ohigashi, H., Osawa, T. & Uchida, K. (2003). A phase II detoxification enzyme inducer from lemongrass: identification of citral and involvement of electrophilic reaction in the enzyme induction. *Biochemical and Biophysical Research Communications*, 302, 593-600

National Institute of Standards and Technology: NIST 08. Mass spectral library (NIST/EPA/NIH), Gaithersburg, USA, 2008.

Pitanga, T. N., de Aragão França, L., Rocha, V. C. J., Meirelles, T., Borges, V. M., Gonçalves, M. S., Pontes de Carvalho, L. C., Noronha Dutra, A. A. & Santos, W. L. C. (2014). Neutrophil-derived microparticles induce myeloperoxidase-mediated damage of vascular endothelial cells. *BMC cell biology*, 15, 21.

Ren, X., Zou L., Zhang X., Branco V., Wang J., Carvalho C., Holmgren A. & Lu J. (2017). Redox Signaling Mediated by the Thioredoxin and Glutathione Systems in the Central Nervous System. *Antioxidants & Redox Signaling*, 27, 989-1010.

Powers, S. K. & Jackson, M. J. (2008). Exercise-induced oxidative stress: cellular mechanisms and impact on muscle force production. *Physiological reviews*, 88, 1243-1276.

Quade, M. J. & Roth, J. A. (1997). A rapid, direct assay to measure degranulation of bovine neutrophil primary granules. *Veterinary Immunology and Immunopathology*, 58, 239-248.

Saddiq, A. A. & Khayyat, S. A. (2010). Chemical and antimicrobial studies of monoterpenes: Citral. *Pesticide Biochemistry and Physiology*, 98, 89-93.

Sies, H. (2015). Oxidative stress: a concept in redox biology and medicine. *Redox biology*, 4, 180-183.

Sharifi-Rad, J., Sureda, A., Tenore, G. C., Daghia, M., Sharifi-Rad, M., Valussi, M., Tundis R., Sharifi-Rad M., Loizzo M. R., Ademiluyi, A. O., Sharifi-Rad, R., Ayatollahi, S. A & Iriti, M. (2017). Biological activities of essential oils: From plant chemoecology to traditional healing systems. *Molecules*, 22, 70.

Singhal, S. S., Singh, S. P., Singhal, P., Horne, D., Singhal, J. & Awasthi, S. (2015). Antioxidant role of glutathione S-transferases: 4-Hydroxynonenal, a key molecule in stress-mediated signaling. *Toxicology and applied pharmacology*, 289, 361-370.

Södergren, E., Nourooz-Zadeh, J., Berglund, L. & Vessby, B. (1998). Re-evaluation of the ferrous oxidation in xylenol orange assay for the measurement of plasma lipid hydroperoxides. *Journal of biochemical and biophysical methods*, 37, 137-146.

Sutili F. J., Gatlin D. B., Heinemann B. M. & Baldisserotto B (2017). Plant essential oils as fish diet additives: benefits on fish health and stability in feed. *Reviews in Aquaculture*, 0, 1–11.

Tort, L. (2011). Stress and immune modulation in fish. *Developmental & Comparative Immunology*, 35, 1366-1375.

Urso, M. L. & Clarkson, P. M. (2003). Oxidative stress, exercise, and antioxidant supplementation. *Toxicology*, 189, 41-54.

Vallejos-Vidal, E., Reyes-López, F., Teles, M. & MacKenzie, S. (2016). The response of fish to immunostimulant diets. *Fish & shellfish immunology*, 56, 34-69.

Vélez-Alavez, M., De Anda-Montañez, J. A., Galván-Magaña, F. & Zenteno-Savín, T. (2015). Comparative study of enzymatic antioxidants in muscle of elasmobranch and teleost fishes. *Comparative Biochemistry and Physiology Part A: Molecular & Integrative Physiology*, 187, 61-65.

Welsch, U. N. & Storch, V. N. (1973). Enzyme histochemical and ultrastructural observations of the liver of teleost fishes. *Archivum histologicum japonicum*, 36, 21-37.

Yin H., Xu L. & Porter N. A. (2011). Free radical lipid peroxidation: mechanisms and analysis. *Chemical reviews*, 111, 5944-5972.

Zeppenfeld, C. C., Toni, C., Becker, A. G., dos Santos Miron, D., Parodi, T. V., Heinzmann, B. M., Barcellos, L. J. G., Koakoski, G., Da Rosa, J. G. S., Loro, V. L., da Cunha, M. A. & Baldisserotto, B. (2014). Physiological and biochemical responses of silver catfish, *Rhamdia quelen*, after transport in water with essential oil of *Aloysia triphylla* (L'Herit) Britton. *Aquaculture*, 418, 101-107.

Zeppenfeld, C. C., Saccol, E. M. H., Pêrs, T. S., Salbego, J., Koakoski, G., Santos, A. C., B.M. Heinzmann, B. M., Cunha, M.A. da, Barcellos, L.J.G., Pavanato, M.A., Caron, B. O., Baldisserotto, B., 2017. *Aloysia triphylla* essential oil as food additive for *Rhamdia quelen*– Stress and antioxidant parameters. *Aquaculture Nutrition*, 1-6.

FIGURE CAPTIONS

Fig. 1. (a) Lysozyme activity (units/mL), (b) Hemolytic activity of the complement system (%), and (c) Myeloperoxidase levels (OD540) in plasma of *Mugil liza* fed diets containing different citral concentrations. All values are expressed as mean \pm SEM ($n= 3$). Different lowercase letters indicate significant difference between treatments ($p < 0.05$).

Fig. 2. Histological characteristics of the liver of *Mugil liza* fed diets containing different citral concentrations (g per kg feed). Letters: A= Lobular center vein; B= Sinusoidal capillaries; C= Hepatocytes; D= hepatic vacuoles.

Table 1

Formulation (g/Kg) and analyzed proximate average composition (g/Kg) of the experimental diet.

| Ingredients | (g/Kg) | Proximate average | (g/Kg) |
|------------------------------------|---------------|--------------------------|---------------|
| | | composition | |
| Starch | 140 | Dry matter content | 943.2 |
| Soy lecithin | 10 | Protein | 537.3 |
| Vitamins and minerals (premix)* | 5 | Ether extract | 91.9 |
| Fresh squid | 120 | Mineral matter | 207.3 |
| Fish meal | 700 | Acid detergent fiber | 20.4 |
| Fish oil | 24 | Neutral detergent | 143.1 |
| | | Fiber | |
| Vitamin C | 1 | - | - |

*Vitamin and mineral mixture (security levels per kilogram of product) — folic acid: 250 mg, pantothenic acid: 5.000 mg, antioxidant: 0.60 g, biotin: 125 mg, cobalt: 25 mg, copper: 2.000 mg, iron: 820 mg, iodine: 100 mg, manganese: 3.750 mg, niacin: 5.000 mg, selenium: 75 mg, vitamin A: 1.000.000 UI, vitamin B1: 1.250 mg, vitamin B12: 3.750 mcg, vitamin B2: 2.500 mg, vitamin B6: 2.485 mg, vitamin C: 28.000 mg, vitamin D3: 500.000 UI, vitamin E: 20.000 UI, vitamin K: 500 mg, zinc: 17.500 mg.

Table 2

Oxidative stress biomarkers in tissues of *Mugil liza* fed diets containing different citral concentrations. Values are mean \pm SEM (n= 3). Different lowercase letters indicate significant difference among treatments using one-way ANOVA and Tukey's test (p<0.05).

| | Citral (g per kg feed) | | | |
|--------------|-------------------------------|-------------------------------|--------------------------------|---------------------------------|
| | 0.00 | 0.44 | 0.88 | 1.76 |
| Liver | | | | |
| LOOH | 4.60 \pm 0.02 ^a | 2.19 \pm 0.18 ^b | 4.61 \pm 0.30 ^a | 1.98 \pm 0.13 ^b |
| SOD | 2.02 \pm 0.02 ^a | 2.49 \pm 0.04 ^b | 2.6 \pm 0.11 ^b | 2.31 \pm 0.09 ^{ab} |
| CAT | 3.18 \pm 0.06 ^a | 2.67 \pm 0.39 ^a | 3.52 \pm 0.19 ^a | 2.78 \pm 0.008 ^a |
| GPx | 1.96 \pm 0.22 ^c | 9.79 \pm 0.59 ^b | 10.06 \pm 0.34 ^b | 16.22 \pm 0.65 ^a |
| NPSH | 4.15 \pm 0.10 ^a | 3.73 \pm 0.20 ^a | 3.90 \pm 0.08 ^a | 3.94 \pm 0.04 ^a |
| GST | 113.8 \pm 2.64 ^b | 95.42 \pm 4.20 ^b | 163.56 \pm 5.83 ^a | 173.42 \pm 12.79 ^a |
| Gills | | | | |
| LOOH | 7.64 \pm 0.29 ^a | 5.84 \pm 0.36 ^a | 3.68 \pm 0.35 ^b | 6.76 \pm 0.68 ^a |
| SOD | 1.24 \pm 0.11 ^{bc} | 1.02 \pm 0.11 ^c | 1.98 \pm 0.11 ^a | 2.32 \pm 0.08 ^a |
| CAT | 0.41 \pm 0.13 ^a | 0.47 \pm 0.01 ^a | 0.53 \pm 0.004 ^a | 0.64 \pm 0.09 ^a |
| GPx | 4.71 \pm 0.19 ^b | 4.91 \pm 0.44 ^b | 4.50 \pm 0.09 ^b | 9.79 \pm 0.20 ^a |
| NPSH | 7.79 \pm 0.09 ^b | 7.33 \pm 0.17 ^b | 7.22 \pm 0.13 ^b | 12.07 \pm 0.45 ^a |
| GST | 7.23 \pm 0.82 ^b | 7.71 \pm 0.06 ^b | 14.10 \pm 0.48 ^a | 14.20 \pm 0.04 ^a |

Brain

| | | | | |
|------|--------------------------------|---------------------------------|---------------------------------|--------------------------------|
| LOOH | <i>7.50±0.04^a</i> | <i>3.44±0.24^b</i> | <i>3.22±0.001^b</i> | <i>3.52±0.09^b</i> |
| SOD | <i>1.27±0.06^{bc}</i> | <i>2.59±0.08^a</i> | <i>0.67±0.02^b</i> | <i>1.69±0.06^c</i> |
| CAT | <i>0.04±0.02^a</i> | <i>0.03±0.00^a</i> | <i>0.03±0.001^a</i> | <i>0.05±0.001^a</i> |
| GPx | <i>16.01±0.69^b</i> | <i>36.73±1.19^a</i> | <i>30.59±0.89^c</i> | <i>27.99±0.14^c</i> |
| NPSH | <i>11.26±0.07^b</i> | <i>11.32±0.12^b</i> | <i>8.60±1.53^b</i> | <i>15.42±0.30^a</i> |
| GST | <i>129.16±5.45^b</i> | <i>140.98±5.98^{bc}</i> | <i>150.39±4.03^{ac}</i> | <i>213.35±1.20^a</i> |

LOOH — lipid hydroperoxides (nmol/mg protein), SOD — superoxide dismutase (units/mg protein), CAT — catalase (pmol/mg protein), GPx — glutathione peroxidase (nmol/min/mg protein), NPSH — non-protein thiols (μmol/mg protein), GST — glutathione S-transferase. (μmol/min/mg protein).

Table 3

Hepatic enzymes in plasma of *Mugil liza* fed diets containing different citral concentrations. Values are mean \pm SEM (n= 3). Different lowercase letters indicate significant difference among treatments using one-way ANOVA and Tukey's test (p< 0.05).

| Citral (g per kg feed) | <i>AST</i> | <i>ALT</i> |
|---------------------------|-------------------|------------------|
| 0.00 | 55.15 \pm 13.28 | 7.89 \pm 0.47 |
| 0.44 | 68.72 \pm 4.84 | 11.28 \pm 1.64 |
| 0.88 | 47.04 \pm 4.60 | 7.61 \pm 1.65 |
| 1.76 | 58.65 \pm 11.40 | 10.39 \pm 1.53 |

AST – Aspartate aminotransferase; ALT – Alanine aminotransferase.

Table 4

Liver histology parameters (μm) of *Mugil liza* fed diets containing different citral concentrations. Values are mean \pm SEM (n= 3). Different lowercase letters indicate significant difference among treatments using one-way ANOVA and Tukey's test (p< 0.05).

| Citral (g per kg feed) | | | | |
|------------------------|--------------------|-------------------|--------------------|-------------------|
| | 0.00 | 0.44 | 0.88 | 1.76 |
| <i>Lobular</i> | 1.469 \pm 421.03 | 2.079 \pm 449.3 | 2.362 \pm 218.68 | 2.005 \pm 458.9 |
| <i>center vein</i> | | | | |
| <i>Sinusoidal</i> | 4.28 \pm 0.15 | 4.74 \pm 0.04 | 3.90 \pm 0.55 | 5.03 \pm 0.04 |
| <i>capillaries</i> | | | | |
| <i>Hepatocytes</i> | 67.33 \pm 3.51 | 65.63 \pm 3.51 | 70.69 \pm 1.49 | 63.34 \pm 0.05 |

FIGURES

Fig. 1

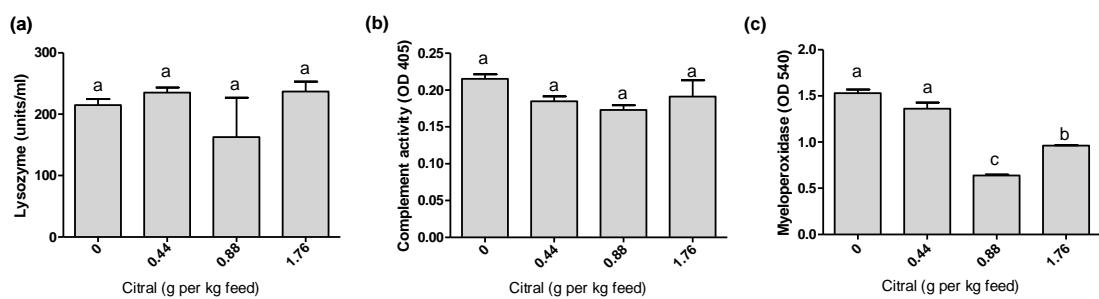
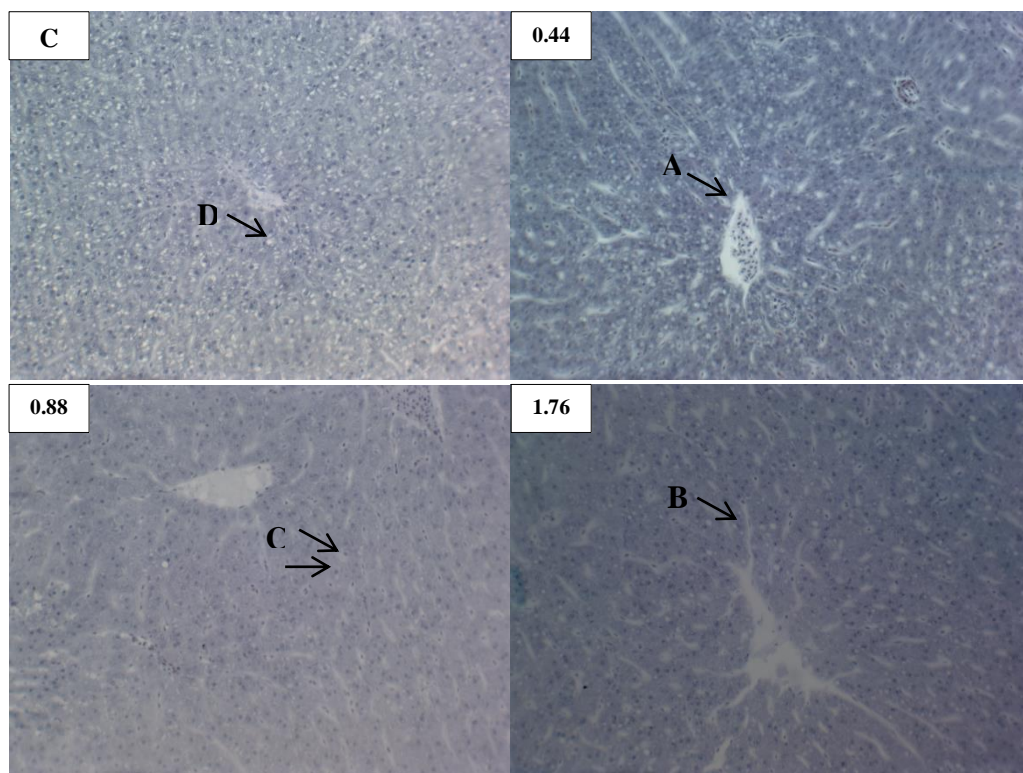


Fig. 2



5. DISCUSSÃO

A utilização de constituintes vegetais aplicados à aquicultura tem sido proposta para promover a saúde e o bem-estar de peixes criados em sistemas de cultivo, especialmente porque os antimicrobianos comumente usados como agentes profiláticos e terapêuticos têm sido relacionados à disseminação de resistência bacteriana (PÉREZ-SANCHÉZ, MORA-SANCHÉS & BALCÁZAR, 2018). Outra vantagem do uso de fitoaditivos na aquicultura é o fato dos mesmos serem substâncias naturais e, na maioria das vezes, não representarem ameaça para o peixe, o homem ou o meio ambiente (GABOR, SARA & BARBU, 2010).

Nesse sentido, são bem vindos produtos naturais que promovam um equilíbrio adequado entre oxidantes e antioxidantes no organismo animal, já que danos oxidativos às macromoléculas podem acumular-se em órgãos vitais e, ao longo do tempo, participar na etiologia de vários distúrbios crônicos e degenerativos. Em adição à isso, elevados níveis de EROS podem afetar negativamente tanto as células do sistema imunológico, bem como o seu mecanismo de defesa, favorecendo o desenvolvimento de doenças dos animais (ASLANI & GHOBADI, 2016).

Em relação à isso, Biller-Takahashi et. al (2017) confirmaram a existência de uma correlação positiva entre a melhora do status antioxidant e a produção de componentes do sistema imune inato, como a atividade da lisozima, evidenciando uma estreita relação entre o equilíbrio oxidativo e a atividade do sistema imune. Tais autores investigaram o efeito da suplementação da dieta do pacu (*Piaractus mesopotamicus*) com selênio orgânico através de indicadores de estresse oxidativo (CAT, GST, GPx e GSH), perfil hematológico e parâmetros do sistema imune inato (explosão respiratória de leucócitos, atividade hemolítica do sistema complemento sérico e atividade da lisozima).

De acordo com Aslani & Ghobadi (2016), a ingestão adequada de nutrientes antioxidantes pode ser uma estratégia útil para melhorar mecanismo de defesa antioxidant, bem como por desencadear respostas imunes mais eficientes, preservando a saúde e prevenindo vários distúrbios. Já Birnie-Gauvin (2017) destacam que os antioxidantes solúveis

na gordura podem ser especialmente benéficos quando adicionados à dieta dos peixes, pois não podem ser sintetizados pelos animais. Consequentemente, podemos esperar que a composição da dieta dos peixes promova respostas fisiológicas distintas.

Sutili et al (2017) explicam que, apesar de ser evidente que os compostos naturais afetam funções fisiológicas, os efeitos “*in vivo*” do tratamento dietético são controversos. O efeito biológico de determinado extrativo depende de muitos fatores, tais como: (1) composição química do extrativo; (2) processo de extração; (3)concentração da(s) substância(s) ativa(s); (4) método de administração; (5) condições de armazenamento da alimentação. No caso da administração de uma substância isolada como no caso do citral, os primeiros três fatores acima citados podem ser desconsiderados. Além disso, em nosso estudo fornecemos a mesma dieta para diferentes espécies de peixes estuarinos. Neste caso, eliminamos a influência de todos os fatores supracitados, pretendendo observar se as diferenças fisiológicas e de hábitos alimentares (carnívoro e detritívoro) entre as espécies testadas seriam determinantes para a atividade do citral quando administrado como aditivo alimentar.

Os nossos resultados mostram que apesar do citral não ter sido capaz de melhorar a atuação do sistema antioxidante e ainda promover lipoperoxidação nas brânquias do robalo-flecha, para a tainha a presença do citral na dieta permitiu a redução da lipoperoxidação no fígado, melhorou a atividade do sistema antioxidante no fígado, brânquias e cérebro e aumentou os níveis de tióis não proteicos nas brânquias e cérebro. No tocante à imunidade inata, apenas no robalo-flecha observamos uma superativação das proteínas do sistema complemento. Contudo, houve diminuição da atividade da mieloperoxidase nas duas espécies. Os biomarcadores hepáticos não foram diferentes do grupo controle e entre as espécies.

Estudos realizados até o momento usando aditivos dietéticos têm mostrado resultados diferentes entre as espécies e até dentro das espécies (DALMO E BOGWALD, 2008). Por exemplo, Misra et al. (2006) administraram β -glucana em diferentes doses na dieta de alevinos *Labeo rohita* desafiados com *Aeromonas hydrophila* e *Edwardsiella tarda*. Quatro dietas diferentes, com 0, 100, 250 ou 500 mg de β -glucana kg^{-1} foram administradas por 56 dias. Após este período parâmetros imunológicos e zootécnicos melhoraram significativamente e portanto, os autores recomendaram a administração de 250 mg de β -glucana kg^{-1} para o aumento da imunidade, crescimento e sobrevivência de alevinos de *L.*

rohita. Por outro lado, Whittington, Lim & Klesius (2005) suplementaram a dieta de tilápia do Nilo imunizada e não imunizada com *Streptococcus iniae* com β-glucana por 14 semanas e observaram que não houve efeito na estimulação da resposta imune e resistência da tilápia do Nilo contra a infecção por *S. iniae*.

Outro exemplo consiste na comparação entre os trabalhos realizados por Brum et al. (2017) e Nya & Austin (2009). Para os primeiros autores a suplementação das dietas de *Oreochromis niloticus* infectados com *Streptococcus agalactiae* com óleo essencial de gengibre (*Zinziber officinale*), cuja principal substância ativa é o citral, obteve resultados negativos com a maior concentração testada (1,5%) para ganho de peso, taxa de crescimento específico e conversão alimentar. Já no trabalho realizado pelos segundos autores supracitados, a suplementação com pó de gengibre em concentrações entre 0,1% e 1,0% promoveu melhorias no ganho de peso, taxa de crescimento específico e taxa de conversão alimentar em truta arco-íris (*Oncorhynchus mykiss*) infectadas com *Aeromonas hydrophila*.

Sendo assim, podemos levantar algumas hipóteses sobre os resultados dos nossos estudos. A primeira delas é que o citral possa ter afetado negativamente a microbiota intestinal saprófita apenas do robalo-flecha, já que é sabido que a diversidade dos hábitos alimentares tem por consequência a colonização por diferentes comunidades bacterianas no TGI dos peixes. Duas cepas de bactérias ácido-lácticas, *Lactobacillus plantarum* CPQBA 007-07 e *Lactococcus* sp., que foram isolados do trato intestinal de juvenis de robalo-peva, possuem a capacidade de inibir o crescimento da população de *Vibrio* spp., que embora também faça parte da microbiota de peixes marinhos, são agentes causadores de doenças e mortalidade maciça em sistemas de cultivo (SOUZA et al., 2010). Nesse sentido, considerando o reconhecido potencial antimicrobiano do citral, é possível que através da destruição da flora saprófita tenha favorecido o desequilíbrio da homeostase intestinal. Apesar de não terem sido observados sinais clínicos de infecção, a superativação do sistema complemento no grupo que recebeu a concentração mais baixa de citral também poderia ser um indicativo da atuação de micro-organismos patogênicos. Essa hipótese não se aplica a concentrações maiores, pois não observamos a hipermodulação do sistema complemento nestes grupos (SADDIQ & KHAYYAT, 2010; SILVA-ÂNGULO et al., 2015; YANG et al., 2016).

As diferenças fisiológicas entre as espécies também poderiam explicar as respostas opostas à presença do citral na dieta. O robalo-flecha apresenta estômago com maior volume e

intestino mais curto, o que pode ter influência direta sobre a superfície de absorção do monoterpenoide. Através dos nossos resultados também é possível observar que o efeito do citral não é dose-dependente em nenhuma das espécies, portanto não podemos excluir o fato de que concentrações extremamente baixas tenham efeitos prejudiciais à saúde do robalo-flecha.

Outra hipótese seria de que o citral tenha sido biotransformado em metabólitos tóxicos apenas ao *C. undecimalis* pela acidez estomacal (pH= 2,0 a 6,0), o que não ocorreu com *M. liza*, que possui uma digestão reportada como alcalina (CARDONA, 2015; DIMA & DIMA, 2015; ZHANG et al. 2016). Neste caso a encapsulação do citral poderia ser uma alternativa, uma vez que este composto seria protegido da degradação estomacal.

Uma explicação adicional estaria relacionada à diferentes respostas bioquímicas entre as espécies (ROCHA et al., 2009). Quintaneiro, Ranville & Nogueira (2015) evidenciaram diferentes respostas bioquímicas entre duas espécies detritívoras (*Atyaephyra desmarestii* e *Echinogammarus meridionalis*) expostas por 48 h ao cobre e zinco. O zinco induziu o sistema de defesa em *E. meridionalis* sem evidência de dano oxidativo. No entanto, em *A. desmarestii* exposto ao zinco foi observado dano oxidativo. Além disso, apenas o zinco reduziu significativamente a taxa de ingestão e apenas para *E. meridionalis*. O nosso estudo é pioneiro na comparação entre *C. undecimalis* e *M. liza*, portanto o comportamento metabólico destas espécies ainda é um campo a ser explorado.

Por outro lado, tanto *C. undecimalis* quanto *M. liza* apresentaram diminuição na atividade de mieloperoxidase plasmática após a ingestão do citral. Este achado pode ser interpretado de maneira controversa. Por um lado, pode representar a diminuição da capacidade fagocítica, pois as células brancas utilizam a mieloperoxidase para este fim (KREUTZ et al., 2011). No entanto, por se tratar do citral, acreditamos que a redução na atividade enzimática possa estar relacionada com a atividade anti-inflamatória do monoterpenoide estudado (LIAO, 2015).

Inúmeros estudos, embora não tenham sido conduzidos com peixes, têm demonstrado o potencial do citral no combate à inflamação. Shen, Sun & Guo (2015) investigaram os efeitos do citral na lesão pulmonar aguda induzida por lipopolissacarídeos (LPS) em camundongos. Os resultados mostraram que o pré-tratamento com citral notavelmente

atenuou o edema pulmonar e a produção dos marcadores inflamatórios TNF- α (Fator de necrose tumoral α), IL-6 (Interleucina-6) e IL-1 β (Interleucina-1 β). A ativação do NF- κ B (Fator de necrose κ B) induzida por LPS também foi inibida pelo citral. Além disso, os autores propuseram que o citral teria ação anti-inflamatória devido a ativação do PPAR- γ (Receptor Ativado por Proliferadores de Peroxisoma Gama). Bachiega & Sforcin (2011) também analisaram o efeito anti-inflamatório do citral em diferentes concentrações “*in vitro*” utilizando macrófagos peritoneais de camundongos BALB. Os resultados mostraram que o monoterpenoide inibiu a liberação de IL-1 β , IL-6 e IL-10. Liao et al. (2015) investigaram as respostas inflamatórias de neral e geranial, isômeros que compõem o citral, em macrófagos de camundongos. Embora os dois compostos tenham inibido a expressão gênica de marcadores inflamatórios, o neral mostrou maior inibição de TNF- α e IL-6 e melhor eficácia na inibição da expressão dos mediadores pró inflamatórios IL-1 β , iNOS (Óxido nítrico sintase induzível), COX-2 (ciclo-oxigenase 2) e inflamassoma NLRP-3 do que o geranial.

Da mesma forma que a atividade da mieloperoxidase, os parâmetros hepáticos avaliados em nosso estudo responderam na mesma direção nas duas espécies testadas, sem demonstrar diferença significativa do grupo controle. Uchida et al. (2017) avaliaram os efeitos do citral em um modelo murino de hepatotoxicidade utilizando o monoterpenoide como pré-tratamento para evidenciar seus efeitos protetores do fígado. Os resultados mostraram que o citral diminuiu significativamente os níveis de atividade de ALT, AST, fosfatase alcalina e gama-glutamiltransferase e ainda, melhorou lesões hepáticas evidenciadas na análise histopatológica. Outro estudo realizado por Zeppenfeld et al. (2017) determinou os níveis de AST e ALT em *R. quelen* alimentados com óleo essencial de *A. tryphylla* (α -citral 294.1 g kg $^{-1}$; β -citral 207.8 g kg $^{-1}$). Neste caso, a atividade das enzimas hepáticas não foi diferente do grupo controle, corroborando com os resultados do nosso trabalho.

6 CONCLUSÕES

- O citral possui potencial oxidativo quando administrado na dieta de *C. undecimalis*, tendo em vista que promoveu LPO nas brânquias dos animais experimentais. No entanto, quando fornecido na dieta de *M. liza* demonstrou atividade antioxidante, já que diminuiu LPO no fígado, brânquias e encéfalo;
- A atividade enzimática da SOD foi elevada no fígado e brânquias de *C. undecimalis* e também em brânquias e encéfalo de *M. liza* alimentadas com citral. Porém, houve redução na atividade da CAT em fígado e brânquias de *C. undecimalis*. Não houve modulação da atividade desta enzima em *M. liza*. A adição dietética de citral não afetou a atividade de GPx de *C. undecimalis*, contudo elevou a atividade desta enzima em fígado, brânquias e encéfalo de *M. liza*. Citral reduziu níveis de NPSH no fígado de *C. undecimalis*, porém elevou os níveis deste marcador de *M. liza* no fígado, brânquias e encéfalo. Citral aumentou a atividade de GST nas brânquias de *C. undecimalis*. Esta atividade também foi elevada em fígado, brânquias e encéfalo de *M. liza*;
- O citral reduziu a atividade da enzima MPO em todas as concentrações testadas e ainda promoveu uma hiperativação do sistema complemento quando administrado a *C. undecimalis*. Quando administrado à *M. liza* também reduziu a atividade de MPO;
- A presença de citral na dieta não alterou a atividade de AST e ALT e parâmetros histológicos hepáticos de *C. undecimalis* e de *M. liza*;
- A adição dietética de citral não é indicada para *C. undecimalis*. Porém, para *M. liza* a adição de citral 1.76 g por kg dieta melhora parâmetros de estresse oxidativo sem causar danos hepáticos, sendo portanto recomendada para esta espécie;
- Os resultados sugerem que o citral possa apresentar potencial anti-inflamatório para as espécies de peixes estudadas, portanto sugerimos a realização de estudos futuros que investiguem a atuação do monoterpenoide na terapêutica de processos inflamatórios.

REFERÊNCIAS

- ABBAS, A.K.; LICHTMAN, A.H.H.; PILLAI, S. **Imunologia Celular e Molecular.** Elsevier: Rio de Janeiro, 2015. p. 3.
- ALMROTH B. C. et al. Oxidative damage in eelpout (*Zoarces viviparus*), measured as protein carbonyls and TBARS, as biomarkers. **Aquat. Toxicol.**, v. 73, p. 171-180, 2005.
- ALVAREZ-LAJONCHÈRE, L.; TSUZUKI, M. Y. A review of methods for *Centropomus* spp.(snooks) aquaculture and recommendations for the establishment of their culture in Latin America. **Aquac. Res.**, v. 39, n. 7, p. 684-700, 2008.
- AMSLER, K. **Guia de mergulho no Caribe.** Manole: 2000.
- ASLANI, B. A.; GHOBADI, S. Studies on oxidants and antioxidants with a brief glance at their relevance to the immune system. **Life Sci.**, 146, 163-173, 2016.
- AYALA, A.; MUÑOZ, M. F.; ARGÜELLES, S. Lipid peroxidation: production, metabolism, and signaling mechanisms of malondialdehyde and 4-hydroxy-2-nonenal. **Oxid. Med. Cell. Longev.**, v. 2014, 2014.
- AWAD, E.; AWAAD, A. Role of medicinal plants on growth performance and immune status in fish. **Fish Shellfish Immun.**, v. 67, p. 40-54, 2017.
- AWASTHI, Y. C. et al. Regulatory roles of glutathione-S-transferases and 4-hydroxynonenal in stress-mediated signaling and toxicity. **Free Radic. Biol. Med.**, v. 111, p. 235-243, 2017.
- AZAMBUJA, C. R. et al. Effect of the essential oil of *Lippia alba* on oxidative stress parameters in silver catfish (*Rhamdia quelen*) subjected to transport. **Aquaculture**, v. 319, n. 1-2, p. 156-161, 2011.
- BACHIEGA, T. F.; SFORCIN, J. M. Lemongrass and citral effect on cytokines production by murine macrophages. **J. Ethnopharmacol.**, v. 137, n. 1, p. 909-913, 2011.
- BAJPAI V. K.; BAEK, K. H.; KANG, S. C. Control of *Salmonella* in foods by using essential oils: a review. **Food Res. Int.**, v. 45, p. 722-734, 2012.
- BALDISSEROTTO, B. et al. **Composição veterinária, processo de estimulação de crescimento de peixes e uso de óleo essencial.** BR N° 10 2015 020931-2. Brasil: Intituto Nacional de Propriedade Industrial.
- BANDEIRA JUNIOR, G. et al. *Lippia alba* and *Aloysia triphylla* essential oils are anxiolytic without inducing aversiveness in fish. **Aquaculture**, v. 482, p. 49-56, 2018.

BARBOSA, K. B. et al. Estresse oxidativo: conceito, implicações e fatores modulatórios. **Rev. Nutr.**, v. 23, n. 4, p. 629-643, 2010.

BARBUIO, M. A. T. **Efeito da utilização de uma dieta comercial e dietas experimentais, nas formas seca e semi-úmida, no crescimento e composição corporal do robalo (*Centropomus parallelus* Poey, 1860).** 1999. 57 f. Dissertação (Mestrado em Aquicultura) - Universidade Federal de Santa Catarina, Florianópolis, 1999.

BARREIROS, A. L. B.; DAVID, J. M.; DAVID, J. P. Estresse oxidativo: relação entre geração de espécies reativas e defesa do organismo. **Quím. Nova**, v. 29, n. 1, p. 113-123, 2006.

BARROSO, M. V. et al. Valor nutritivo de alguns ingredientes para o robalo (*Centropomus parallelus*). **Rev. Bras. Zootec.**, v. 31, n. 6, p. 2157-64, 2002.

BASCHIERI, A. et al. Explaining the antioxidant activity of some common non-phenolic components of essential oils. **Food Chem.**, v. 232, p. 656-663, 2017.

BILLER-TAKAHASHI, J. D. et al. The immune system is limited by oxidative stress: dietary selenium promotes optimal antioxidative status and greatest immune defense in pacu *Piaractus mesopotamicus*. **Fish Shellfish Immunol.**, v. 47, n. 1, p. 360-367, 2015.

BIRNIE-GAUVIN, K. et al. A comparative and evolutionary approach to oxidative stress in fish: a review. **Fish Fish.**, v. 18, n. 5, p. 928-942, 2017.

BLOIS, M. S. Antioxidant determinations by the use of a stable free radical. **Nature**, v. 18, p. 1199-1200, 1958.

BLY, J. E.; CLEM, L.W. Temperature adaptation of lymphocyte function in fish. In: COSSINS, A.R. (Ed.). **Temperature adaptation of biological membranes**. Portland Press: London, 1994, p. 169-184.

BOVERIS, A.; CHANCE, B. The mitochondrial generation of hydrogen peroxide. General properties and effect of hyperbaric oxygen. **Biochem. J.**, v. 134, n. 3, p. 707-716, 1973.

BRABO, M. F. et al. Cenário atual da produção de pescado no mundo, no Brasil e no estado do Pará: ênfase na aquicultura. **Acta Fish.**, v. 4, n. 2, p. 50-58, 2016.

BRASIL. 2014. Ministério da agricultura e pescado. Disponível em: <http://www.mpa.gov.br/aquicultura>. Acessado 10/09/15.

BRASIL. Ministério da Pesca e Aquicultura/Ministério do Meio Ambiente. Plano de Gestão para o uso sustentável da tainha, *Mugil liza* Valenciennes no Sudeste e Sul do Brasil, 2015.

BRUM, A. et al. Effect of dietary essential oils of clove basil and ginger on Nile tilapia (*Oreochromis niloticus*) following challenge with *Streptococcus agalactiae*. **Aquaculture**, v. 468, p. 235-243, 2017.

BUEGE, J. A.; AUST, S. D. Microssomal lipid peroxidation. **Methods Enzymol.**, v. 52, p. 302-309, 1978.

- CARDONA, L. Food and feeding of Mugilidae. In: **Biology, Ecology and Culture of Grey Mullets (Mugilidae)**. CRC Press, 2015. p. 174-204.
- CATTANEO, R. et al. Metabolic and histological parameters of silver catfish (*Rhamdia quelen*) exposed to commercial formulation of 2,4-dichlorophenoxyacetic acid (2,4-D) herbicide. **Pestic. Biochem. Phys.**, v. 92, p. 133-137, 2008.
- CAVALLI, R. O.; HAMILTON, S. A piscicultura marinha no Brasil. Afinal, quais as espécies boas para cultivar? **Panorama da Aquicultura**, v. 17, n.104, p. 50-55, 2007.
- CERQUEIRA, V. R. Cultivo de robalo-peva, *Centropomus parallelus*. In: BALDISSEROTTO, B.; GOMES, L.C. **Espécies nativas para piscicultura no Brasil**. UFSM: Santa Maria, 2005. p. 403-431.
- CÓRDOVA, A. **Compendio de fisiología para ciencias de la salud**. McGraw-Hill: Madrid, 1994.
- COSTA-FILHO, J.; FABREGAT, T. E. H. P.; ROSA, C. A. da V. L. Uma revisão sobre os principais aspectos no cultivo do robalo. **Rev. Ciênc. Agrovet.**, v. 12, n. 3, p. 317-325, 2013.
- DALMO, R. A.; BOGWALD, J. Beta-glucans as conductors of immune symphonies. **Fish Shellfish Immunol.**, v. 25, p. 384–396, 2008.
- DANIEL, A. P. et al. Using the essential oil of *Aloysia triphylla* (L'Her.) Britton to sedate silver catfish (*Rhamdia quelen*) during transport improved the chemical and sensory qualities of the fish during storage in ice. **J. Food Sci.**, v. 79, n. 6, p. S1205-S1211, 2014.
- DI FALCO, F.; CAMMARATA, M.; VIZZINI, A. Molecular characterisation, evolution and expression analysis of g-type lysozymes in *Ciona intestinalis*. **Dev. Comp. Immunol.**, v. 67, p. 457-463, 2017.
- DIMA, C.; DIMA, S. Essential oils in foods: extraction, stabilization, and toxicity. **Curr. Opin. Food Sci.**, v. 5, p. 29-35, 2015.
- DIZDAROGLU, M. et al. Free radical-induced damage to DNA: mechanisms and measurement. **Free Radic. Biol. Med.**, v. 32, n. 11, p. 1102- 1115, 2002.
- DO VALE, T. G. et al. Central effects of citral, myrcene and limonene, constituents of essential oil chemotypes from *Lippia alba* (Mill.) NE Brown. **Phytomedicine**, v. 9, n. 8, p. 709-714, 2002.
- DUDAI, N. et al. Citral is a new inducer of caspase-3 in tumor cell lines. **Planta Med.**, v. 71, n. 5, p. 484-488, 2005.
- EFFERTH, T.; KOCH, E. Complex interactions between phytochemicals. The multi-target therapeutic concept of phytotherapy. **Curr. Drug Targets**, v. 12, p. 122-132, 2011.
- ELLMAN, J. Tissue sulfhydryl groups. **Arch. Biochem. Biophys.**, v. 82, p. 70–77, 1959.
- FEČKANINOVÁ, A. et al. The use of probiotic bacteria against *Aeromonas* infections in salmonid aquaculture. **Aquaculture**, v. 469, p. 1-8, 2017.

- FERREIRA, T. M. et al. Citral antifungal activity against *Candida* genus yeasts isolated from hospitalized patients. **Rev. Inst. Adolfo Lutz**, v. 68, n. 1, p. 118-125, 2009.
- FLOHÉ, L.; GUNZLER, W.A., Assays of glutathione peroxidase. In: COLOWICK, S.P., KAPLAN, O.N. (Eds.), **Methods Enzymol.**, p. 114–121, 1984.
- FORTUNATO, R. C. et al. Identification of potential fish stocks and lifetime movement patterns of *Mugil liza* Valenciennes (1836) in the Southwestern Atlantic Ocean. **Fisheries Research**, v. 193, p. 164-172, 2017.
- FUKAI, T.; USHIO-FUKAI, M. Superoxide dismutases: role in redox signaling, vascular function, and diseases. **Antioxid. Redox.**, v. 15, n. 6, p. 1583-1606, 2011.
- GABOR, E. F.; SARA, A.; BARBU, A. The effects of some phytoadditives on growth, health and meat quality on different species of fish. **J. Anim. Sci. Biotechnol.**, v. 43, n. 1, p. 61-65, 2010.
- GALVÃO, M. S. N. et al. Histologia do sistema digestivo da tainha *Mugil platanus* Günther, 1880 (OSTE-ICHTHYES, MUGILIDAE) durante as fases larval e juvenil. **B. Inst. Pesca**, v. 24, p. 91–100, 1997.
- GASTALHO, S.; SILVA, G.; RAMOS, F. Uso de antibióticos em aquacultura e resistência bacteriana: impacto em saúde pública. **Acta Farmacêutica Portuguesa**, v. 3, n. 1, p. 29-45, 2014.
- GLORIEUX, C.; CALDERON, P. B. Catalase, a remarkable enzyme: targeting the oldest antioxidant enzyme to find a new cancer treatment approach. **J. Biol. Chem.**, v. 398, n. 10, p. 1095-1108, 2017.
- HABIG, W.H., PABST, M.J., JAKOBY, W.B. Glutathione S-transferases. The first enzymatic step in mercapturic acid formation. **J. Biol. Chem.**, v. 249, p. 7130-7139, 1974.
- HALLIWELL, B.; CHIRICO, S. Lipid peroxidation: its mechanism, measurement, and significance. **Am. J. Clin. Nutr.**, v. 57, n. 5, p. 715S-724S, 1993.
- HALLIWELL, B.; GUTTERIDGE, J. M. C. **Free Radicals in Biology and Medicine**. 5th ed. Clarendon Press: Oxford, 2015.
- HALLIWELL, B.; GUTTERIDGE, J. M. C. **Free Radicals in Biology and Medicine**. 3rd ed. University press: Oxford, 1999.
- HALLIWELL, B; WHITEMAN, M. Measuring reactive species and oxidative damage *in vivo* and in cell culture: how should you do it and what do the results mean? **Br. J. Pharmacol.**, v. 142, n. 2, p. 231-55, 2004.
- HEINZELMANN, S.; BAUER, G. Multiple protective functions of catalase against intercellular apoptosis-inducing ROS signalling of human tumor cells. **Biol. Chem.**, v. 391, p. 675–693, 2010.

- HOHN, A.; KONIG, J.; GRUNE, T. Protein oxidation in aging and the removal of oxidized proteins. **J. Proteom.**, v. 30, n. 92, p. 132-159, 2013.
- HOWELLS, R. G.; SONSKI, A. J.; SHAFLAND, P. I.; HILTON, B. D. Lower temperature tolerance of snook, *Centropomus undecimalis*. **Northeast Gulf Sci.**, v. 11, n. 20, p. 155-158, 1990.
- HOY, A. et al. Growing significance of myeloperoxidase in non-infectious diseases. **Clin. Chem. Lab. Med.**, v. 40, n. 1, p. 2-8, 2002.
- IBRAHIM, H. R.; AOKI, T.; PELLEGRINI, A. Strategies for new antimicrobial proteins and peptides: lysozyme and aprotinin as model molecules. **Curr. Pharm. Des.**, v. 8, n. 9, p. 671-693, 2002.
- IGHODARO, O. M.; AKINLOYE, O. A. First line defence antioxidants-superoxide dismutase (SOD), catalase (CAT) and glutathione peroxidase (GPX): Their fundamental role in the entire antioxidant defence grid. **Alexandria J. Med.**, v. 54, n. 4, p. 287-293, 2018.
- JAKOBY, W. B. The glutathione S-transferases: a group of multifunctional detoxification proteins. **Adv. Enzymol. Relat. Areas Mol. Biol.**, v. 46, p. 383-414, 1978.
- JØRGENSEN, J. B.; SHARP, G. J. E.; SECOMBES, C. J.; ROBERTSEN, B. Effect of a yeast-cell-wall glucan on the bactericidal activity of rainbow trout macrophages. **Fish Shellfish Immunol.**, v. 3, p. 267-277, 1993.
- KAČÁNIOVÁ, M. et al. The antioxidant and antimicrobial activity of essential oils against *Pseudomonas* spp. isolated from fish. **Saudi Pharm. J.**, v. 25, n. 8, p. 1108-1116, 2017.
- KIZAK, V. et al. Anesthetic efficacy of *Cymbopogon citratus* essential oil as a herbal agent in two ornamental fish species. **Isr. J. Aquacult. Bamid**, v. 70, p. 1-9, 2018.
- KLEBANOFF, S. J. Myeloperoxidase: friend and foe. **J. Leukoc. Biol.**, v. 77, n. 5, p. 598-625, 2005.
- KREUTZ, L. C. et al. Altered hematological and immunological parameters in silver catfish (*Rhamdia quelen*) following short term exposure to sublethal concentration of glyphosate. **Fish Shellfish Immunol.**, v. 30, n. 1, p. 51-57, 2011.
- KRYCH-MADEJ, J.; GEBICKA, L. Interactions of nitrite with catalase: Enzyme activity and reaction kinetics studies. **J. Inorg. Biochem.**, v. 171, p. 10-17, 2017.
- KUBITZA, F. Aquicultura no Brasil. **Panorama da aquicultura**, v. 25, p. 10-23, 2015.
- KUBITZA, F., CAMPOS, J. L., ONO, E. A., ISTCHUK, P. I. Panorama da piscicultura no Brasil: estatísticas, espécies, pólos de produção e fatores limitantes à expansão da atividade. **Panorama da Aquicultura**, v. 22, n. 132, 14-25, 2012.

LEE, C. S. et al. **Dietary Nutrients, Additives and Fish Health**. John Wiley and Sons: Hoboken, 2015.

LEVINSON, W. **Microbiologia Médica e Imunologia**. 13ed. Artmed: New York, 2016.

LIAO, P. C. et al. Anti-inflammatory activity of neral and geranial isolated from fruits of *Litsea cubeba* Lour. **J. Funct. Foods**, v. 19, p. 248-258, 2015.

LIEBL, F. et al. Desempenho de juvenis de robalo-flecha e robalo-peva submetidos a diferentes densidades de estocagem em água doce. **Boletim do Instituto de Pesca**, v. 42, n. 1, p. 145-155, 2016.

LISBOA, V. et al. Effect of salinity on survival, growth and biochemical parameters in juvenile Lebranch mullet *Mugil liza* (Perciformes: Mugilidae). **Neotrop. Ichthyol.**, v. 13, n. 2, p. 447-452, 2015.

LOWRY, O. H. et al. Protein measurement with the Folin phenol reagent. **J. Biol. Chem.**, v. 193, p. 265-275, 1951.

LUSHCHAK, V. I. Environmentally induced oxidative stress in aquatic animals. **Aquat. Toxicol.**, v. 101, n. 1, p. 13–30, 2011.

MAYNE, S. T. Antioxidant nutrients and chronic disease: use of biomarkers of exposure and oxidative stress status in epidemiologic research. **J. Nutr.**, v. 133, Suppl. 3, p. 933-40, 2003.

MCMANUS, J. F. A. Histological demonstration of mucin after periodic acid. **Nature**, v.158, p. 202, 1946.

MISRA, H. P.; FRIDOVICH, I. The role of superoxide anion in the autoxidation of epinephrine and a simple assay for superoxide dismutase. **J. Biol. Chem.**, v. 247, n. 10, p. 3170-3175, 1972.

MORAES, B. S. et al. Toxicological responses of *Cyprinus carpio* after exposure to a commercial herbicide containing imazethapyr and imazapic. **Ecotoxicol. Environ. Saf.**, v. 74, p. 328-335, 2011.

MORALES-DELANUEZ, A. et al. Effects of a reputed immunostimulant on the innate immune system of goat kids. **Small Rumin. Res.**, v. 85, n. 1, p. 23-26, 2009.

NADARAJAH, S.; FLAATEN, O. Global aquaculture growth and institutional quality. **Mar. Policy**, v. 84, p. 142-151, 2017.

National Institute of Standards and Technology: NIST 08. Mass spectral library (NIST/EPA/NIH), Gaithersburg, USA, 2008.

NYA, E. J., AUSTIN, B. Use of dietary ginger, *Zingiber officinale* Roscoe as an immunostimulant to control *Aeromonas hydrophila* infections in rainbow trout, *Oncorhynchus mykiss*. **J. Fish Dis.**, v. 32, 971–977, 2009.

OGA, S.; CAMARGO, M. M. A.; BATISTUZZO, J. A. **Fundamentos de Toxicologia**. 4.ed. Atheneu Editora: São Paulo, 2014.

ORTIZ, M. I. et al. The combination of naproxen and citral reduces nociception and gastric damage in rats. **Arch. Pharm. Res.**, v. 33, p.1691- 1697, 2010.

PANAGIOTAKI, P.; MALANDRAKIS, E. Aquatic Environment and Fish Welfare in Aquaculture. In: **Reference Module in Earth Systems and Environmental Sciences**. Volos: Elsevier, 2013.

PARVEZ, S.; RAISUDDIN, S. Protein carbonyls: novel biomarkers of exposure to oxidative stress-inducing pesticides in freshwater fish *Channa punctata* (Bloch). **Environ. Toxicol. Pharmacol.**, v. 20, p. 112-117, 2005.

PÊS, T. S. et al. Quercetin in the diet of silver catfish: Effects on antioxidant status, blood parameters and pituitary hormone expression. **Aquaculture**, v. 458, p. 100-106, 2016.

PÉREZ-SÁNCHEZ, T.; MORA-SÁNCHEZ, B.; BALCÁZAR, J. L. Biological approaches for disease control in aquaculture: advantages, limitations and challenges. **Trends Microbiol.**, v.26, n. 11, p. 896-903, 2018.

POHLENZ, C.; GATLIN, D. M. Interrelationships between fish nutrition and health. **Aquaculture**, v. 431, p. 111-117, 2014.

PONCE-MONTER H. et al. Spasmolytic and anti-inflammatory effects of *Aloysia triphylla* and citral, *in vitro* and *in vivo* studies. **J .Smooth Muscle Res.**, v. 46, p. 309-319, 2010.

POURMOGHIM, H.; HAGHIGHI, M.; ROHANI, M. S. Effect of dietary inclusion of *Origanum vulgare* extract on non-specific immune responses and hematological parameters of Rainbow trout (*Oncorhynchus mykiss*). **Bull. Environm. Pharmacol. Life Sciences**, v. 4, p. 33-39, 2015.

QUADE, M. J.; ROTH, J. A. A rapid, direct assay to measure degranulation of bovine neutrophil primary granules. **Vet. Immunol. Immunopathol.**, v. 58, n. 3-4, p. 239-248, 1997.

QUINTANEIRO, C.; RANVILLE, J.; NOGUEIRA, A. J. A. Effects of the essential metals copper and zinc in two freshwater detritivores species: biochemical approach. **Ecotox. Environ. Safe.**, v. 118, p. 37-46, 2015.

RABBANI, S. I. et al. Citral, a component of lemongrass oil inhibits the clastogenic effect of nickel chloride in mouse micronucleus test system. **Pak. J. Pharm. Sci.**, v. 19, n. 2, p. 108-113, 2006.

RAMOS, L. R. V. et al. Biological responses in mullet *Mugil liza* juveniles fed with guar gum supplemented diets. **Anim. Feed Sci. Tech.**, v. 205, p. 98-106, 2015.

RAO, D. S. Overview and Compartmentalization of the Immune System. In: Hoffman R. et al. **Hematology: Basic Principles and Practice**. 17 ed. Elsevier, 2018. p. 199 -209.

REN, X. et al. Redox signaling mediated by thioredoxin and glutathione systems in the central nervous system. **Antioxid. Redox Signal.**, v. 27, n. 13, p. 989-1010, 2017.

ROBINS, C. R.; RAY, G. C. **A field guide to Atlantic coast fishes of North America.** Houghton Mifflin Company: Boston, 1986. 354 p.

ROCHA, A. M. et al. Seasonal and organ variations in antioxidant capacity, detoxifying competence and oxidative damage in freshwater and estuarine fishes from Southern Brazil. **Comp. Biochem. Physiol. C. Pharmacol.**, v. 150, n. 4, p. 512-520, 2009.

ROUTLEDGE, E. A. B. et al. A importância da pesquisa para o desenvolvimento da cadeia produtiva da aquicultura. **Visão Agrícola**, v. 11, p. 4-8, 2012.

RUSSEL, M. et al. Determining myeloperoxidase activity and protein concentration in a single assay: Utility in biomarker and therapeutic studies. **J. Immunol. Methods**, v. 449, p. 76-79, 2017.

SACCOL, E. M. H. et al. Addition of *Lippia alba* (Mill) N. E. Brown essential oil to the diet of the silver catfish: An analysis of growth, metabolic and blood parameters and the antioxidant response. **Aquaculture**, v. 146, p. 416–417, 2013.

SADDIQ, A. A.; KHAYYAT, S. A. Chemical and antimicrobial studies of monoterpenes: Citral. **Pestic. Biochem. Physiol.**, v. 98, n. 1, p. 89-93, 2010.

SANTOS, L. R. B. S.; OBA, E.T. In: **Manejo e sanidade de peixes em cultivo.** Dias, M. T. 1º ed. Macapá: Embrapa Amapá, 2009. p.89.

SACCHETTI G. et al. Comparative evaluation of 11 essential oils of different origin as functional antioxidants, antira-dicals and antimicrobials in foods. **Food Chem.**, v. 91, p. 621–632, 2005.

SANCHES, E. G.; SILVA, F. C.; RAMOS, A. P. F. A. Viabilidade econômica do cultivo do robalo-flecha em empreendimentos de carcinicultura no Nordeste do Brasil. **Boletim do Instituto de Pesca**, v. 40, n. 4, p. 577-588, 2014.

SANTA CATARINA. 2012. Lei 15.922. Declara a tainha como parte integrante do patrimônio histórico, artístico e cultural do estado de Santa Catarina.

SECOMBES, C. J. The nonspecific immune system: Celular Defenses. In: IWAMA, G., NAKANISHI, T. **The fish immune system.** London: Academic Press, 1996. p. 63-105

SECOMBES, C. J.; WANG, T. The innate and adaptive immune system of fish. In: **Infectious disease in aquaculture.** Woodhead Publishing, 2012. p. 3-68.

SHAFLAND, P. I.; FOOTE, K. J. A Lower temperature for fingerling snook, *Centropomus undecimalis*. **Northeast Gulf Sci.**, v. 6, n. 2, p. 175-177, 1983.

SHEN, Y.; SUN, Z.; GUO, X. Citral inhibits lipopolysaccharide-induced acute lung injury by activating PPAR- γ . **Eur. J. Pharmacol.**, v. 747, p. 45-51, 2015.

SHI, C. et al. Antimicrobial activity and possible mechanism of action of citral against *Cronobacter sakazakii*. **PLoS One**, v. 11, n. 7, p.1-12, 2016.

SICCHA-RAMIREZ, R. et al. Molecular identification of mullet species of the Atlantic South Caribbean and South America and the phylogeographic analysis of *Mugil liza*. **Rev. Fish. Sci. Aquac.**, v. 22, n. 1, p. 86-96, 2014.

SILVA-ÂNGULO, A. B. et al. Combined effect of carvacrol and citral on the growth of *Listeria monocytogenes* and *Listeria innocua* and on the occurrence of damaged cells. **Food Control**, v. 53, p. 156-162, 2015.

SCHMIDT, H. H. H. W. et al. Antioxidants in translational medicine. **Antioxid. Redox Signal.**, v. 23, n. 14, p. 1130-1143, 2015.

SMEYNE, M.; SMEYNE, R. J. Glutathione metabolism and Parkinson's disease. **Free Radic. Biol. Med.**, v. 62, p. 13-25, 2013.

SÖDERGREN, E. et al. Re-evaluation of the ferrous oxidation in xylenol orange assay for the measurement of plasma lipid hydroperoxides. **J. Biochem. Biophys. Methods**, v. 37, n. 3, p. 137-146, 1998.

SOUZA, D. G. et al. Essential oil of *Lippia alba* and its main constituent citral block the excitability of rat sciatic nerves. **Braz. J. Med. Biol. Res.**, v. 48, n. 8, p. 697-702, 2015.

SOUZA, R. M. et al. Selection of potential probiotic bacteria to use in fat snook (*Centropomus parallelus* Poey, 1860) culture. **Boletim do Instituto de Pesca**, v. 36, n. 1, p. 17-24, 2010.

SOUZA, C. de F. et al. Physiological responses of *Rhamdia quelen* (Siluriformes: Heptapteridae) to anesthesia with essential oils from two different chemotypes of *Lippia alba*. **Neotrop. Ichthyol.**, v. 15, n. 1, 2017.

SOUZA, D. S.; SILVA, R. C. P.; STEENBOCK, W. De quem é o peixe? Aspectos socioeconômicos da pesca industrial e artesanal de tainha (*Mugil liza*) em Santa Catarina. **Revista CEPSUL-Biodiversidade e Conservação Marinha**, v. 6, 2017.

SOUZA-FILHO, J. J. de; CERQUEIRA, V. R. Influence of stocking density on the rearing of juvenile common snook in laboratory. **Pesquisa Agropecuária Brasileira**, v. 38, n. 11, p. 1317-1322, 2003.

SZPILMAN, M. **Peixes marinhos do Brasil (guia prático de identificação)**. Rio de Janeiro: Instituto Ecológico Aqualung, 2000. 288p.

SUBRAMANI, P. A.; MICHAEL, R. D. Prophylactic and Prevention Methods Against Diseases in Aquaculture. In: **Fish Diseases**. 2017. p. 81-117.

SUTILI, F. J. et al. *In vitro* effects of plant essential oils on non-specific immune parameters of red drum, *Sciaenops ocellatus* L. **J. Anim. Physiol. Anim. Nutr.**, v. 100, n. 6, p. 1113-1120, 2016.

SUTILI, F. J. et al. Plant essential oils as fish diet additives: benefits on fish health and stability in feed. **Rev. Aquac.**, v. 10, n. 3, p. 716-726, 2018.

VALLEJOS-VIDAL, E. et al. The response of fish to immunostimulant diets. **Fish Shellfish Immun.**, v. 56, p. 34-69, 2016.

VASCONCELOS, S. M. L. et al. Espécies reativas de oxigênio e de nitrogênio, antioxidantes e marcadores de dano oxidativo em sangue humano: principais métodos analíticos para sua determinação. **Quím. Nova**, v. 30, n. 5, p. 1323-1338, 2007.

TONI, C. et al. Exposure to tebuconazol in rice field and laboratory conditions induces oxidative stress in carp (*Cyprinus carpio*). **Comp. Biochem. Physiol. C. Toxicol. Pharmacol.**, v. 153, p. 128-132, 2011.

TSUZUKI, M. Y. et al. Growth of juvenile fat snook *Centropomus parallelus* in cages at three stocking densities. **Boletim do Instituto de Pesca**, v. 34, p. 319-324, 2008.

UCHIDA, N. S. et al. Hepatoprotective effect of citral on acetaminophen-induced liver toxicity in mice. **Evid. Based. Complement. Alternat. Med.**, v. 2017, 2017.

VALKO, M. et al. Free radicals, metals and antioxidants in oxidative stress-induced cancer. **Chem. Biol. Interact.**, v. 160, n. 1, p. 1-40, 2006.

VIEIRA, J.P., SCALABRIN, C. Migração reprodutiva da Tainha *Mugil platanus*, Günther, 1880 no sul do Brasil. **Atlântica**, v. 13, n. 1: p. 131-141, 1991.

VINCENT, H. K.; INNES, K. E.; VINCENT, K. R. Oxidative stress and potential interventions to reduce oxidative stress in overweight and obesity. **Diabetes Obes. Metab.**, v. 9, n. 6, p. 813-39, 2007.

WINTERNITZ, M. C.; MELOY, C. R. On the occurrence of catalase in human tissues and its variations in diseases. **J. Exp. Med.**, v. 10, p. 759-781, 1908.

WHITTINGTON, R.; LIM C.; KLESIUS, P. H. Effect of dietary β -glucan levels on the growth response and efficacy of *Streptococcus iniae* vaccine in Nile tilapia, *Oreochromis niloticus*. **Aquaculture**, v. 248, p. 217-225, 2005.

WU, Y. et al. Effect of *Sophora flavescens* on non-specific immune response of tilapia (*Oreochromis niloticus*) and disease resistance against *Streptococcus agalactiae*. **Fish Shellfish Immunol.**, v. 34, n. 1, p. 220-227, 2013.

YANG, Y.; WANG, Q.; DIARRA, M.S. et al. Functional assessment of encapsulated citral for controlling necrotic enteritis in broiler chickens. **Poult. Sci.**, v. 95, n. 4, p. 780–789, 2016.

YOUNG, I. S.; WOODSIDE, J. V. Antioxidants in health and disease. **J. Clin. Pathol.**, v. 54, p. 176-186, 2001.

ZARGARI, A.; MAZANDARANI, M.; HOSEINI, S. M. Effects of safflower (*Carthamus tinctorius*) extract on serum antibacterial activity of rainbow trout (*Oncorhynchus mykiss*) against *Aeromonas hydrophila*, *Streptococcus iniae* and *Yersinia ruckeri*. **Int. J. Aquat. Biol.**, v. 6, n. 1, p. 1-7, 2018.

ZEPPENFELD, C. C. et al. Physiological and biochemical responses of silver catfish, *Rhamdia quelen*, after transport in water with essential oil of *Aloysia triphylla* (L'Herit) Britton. **Aquaculture**, v. 418, p. 101-107, 2014.

ZEPPENFELD, C. C. et al. Essential oil of *Aloysia triphylla* as feed additive promotes growth of silver catfish (*Rhamdia quelen*). **Aquac. Nutr.**, v. 22, n. 4, p. 933-940, 2016.

ZEPPENFELD, C. C. et al. *Aloysia triphylla* essential oil as food additive for *Rhamdia quelen*—Stress and antioxidant parameters. **Aquac. Nutr.**, v. 23, n. 6, p. 1362-1367, 2017.

ZHANG, H. et al. Inhibitory effects of citral, cinnamaldehyde, and tea polyphenols on mixed biofilm formation by foodborne *Staphylococcus aureus* and *Salmonella enteritidis*. **J. Food Prot.**, v. 77, n. 6, p. 927-933, 2014.

ZHANG, Y.; WANG, Q. C.; YU, H. et al. Evaluation of alginate-whey protein microcapsules for intestinal delivery of lipophilic compounds in pigs. **J. Sci. Food Agric.**, v. 96, p. 2674–2681, 2016.

ZHENG, Z. L. et al. Evaluation of oregano essential oil (*Origanum heracleoticum* L.) on growth, antioxidant, effect and resistance against *Aeromonas hydrophila* in channel catfish (*Ictalurus punctatus*). **Aquaculture**, v. 292, p. 214–218, 2009.

ZIPFEL, P. F.; SKERKA, C. Complement regulators and inhibitory proteins. **Nat. Rev. Immunol.**, v. 9, n. 10, p. 729, 2009.

ANEXOS

ANEXO 1 – Normas Revista Aquaculture Nutrition

Sections

1. [Submission](#)
2. [Aims and Scope](#)
3. [Manuscript Categories](#)
4. [Preparing the Submission](#)
5. [Editorial Policies and Ethical Considerations](#)
6. [Author Licensing](#)
7. [Publication Process After Acceptance](#)
8. [Post Publication](#)
9. [Editorial Office Contact Details](#)

1. SUBMISSION

Authors should kindly note that submission implies that the content has not been published or submitted for publication elsewhere except as a brief abstract in the proceedings of a scientific meeting or symposium.

Once the submission materials have been prepared in accordance with the Author Guidelines, manuscripts should be submitted online at <http://mc.manuscriptcentral.com/anu>

Click here for more details on how to use [ScholarOne](#).

For help with submissions, please contact Inghild Øye at the Editorial Office: an@hi.no

2. AIMS AND SCOPE

Aquaculture Nutrition provides a global perspective on the nutrition of all cultivated aquatic animals. Topics range from extensive aquaculture to laboratory studies of nutritional biochemistry and physiology.

Aquaculture Nutrition publishes papers which strive to:

- increase basic knowledge of the nutrition of aquacultured species and elevate the standards of published aquaculture nutrition research
- improve understanding of the relationships between nutrition and the environmental impact of aquaculture
- increase understanding of the relationships between nutrition and processing, product quality, and the consumer.
- help aquaculturalists improve their management and understanding of the complex discipline of nutrition
- help the aquaculture feed industry by providing a focus for relevant information, techniques, tools and concepts.

3. MANUSCRIPT CATEGORIES

- Original Articles
- Letter to the Editor
- Review

4. PREPARING THE SUBMISSION

Cover Letters

A covering letter must be included, signed by the corresponding author (i.e., the author to whom correspondence should be addressed), and stating on behalf of all the authors that the work has not been published and is not being considered for publication elsewhere. Authors are encouraged to suggest four potential referees for their manuscripts.

The manuscript should be submitted in separate files: main text file; figures.

Main Text File

The text file should be presented in the following order:

- i. A short informative title containing the major key words. The title should not contain abbreviations (see Wiley's best practice SEO tips);
- ii. A short running title of less than 40 characters;
- iii. The full names of the authors with corresponding author marked with *;
- iv. The author's institutional affiliations where the work was conducted, with a footnote for the author's present address if different from where the work was conducted;
- v. Acknowledgments;
- vi. Abstract and keywords;
- vii. Main text;
- viii. References;
- ix,
- x. Tables (each table complete with title and Data Availability Statement footnotes);
- xi. Figure legends;
- xii. Appendices (if relevant).

Figures and supporting information should be supplied as separate files.

Authorship

Please refer to the journal's Authorship policy in the Editorial Policies and Ethical Considerations section for details on author listing eligibility.

Acknowledgments

Contributions from anyone who does not meet the criteria for authorship should be listed, with permission from the contributor, in an Acknowledgments section. Financial and material support should also be mentioned. Thanks to anonymous reviewers are not appropriate.

Conflict of Interest Statement

Authors will be asked to provide a conflict of interest statement during the submission process. For details on what to include in this section, see the 'Conflict of Interest' section in the Editorial Policies and Ethical Considerations section below. Submitting authors should ensure they liaise with all co-authors to confirm agreement with the final statement.

Abstract

Please provide an abstract of no more than 200 words containing the major keywords.

Keywords

Please provide six keywords.

Main Text

- The journal uses British spelling; however, authors may submit using either option, as spelling of accepted papers is converted during the production process.
- Footnotes to the text are not allowed and any such material should be incorporated into the text as parenthetical matter.

References

List all sources in the reference list alphabetically by name. In text citations should follow the author-date method. This means that the author's last name and the year of publication for the source should appear in the text, for example, (Jones, 1998), and a complete reference should appear in the reference list at the end of the paper.

References are styled according to the sixth edition of the Publication Manual of the American Psychological Association. A sample of the most common entries in reference lists appears below. Please note that for journal articles, issue numbers are not included unless each issue in the volume begins with page one.

Journal article:

Phelps, L. (1996). Discriminative validity of the WRAML with ADHD and LD children. *Psychology in the Schools*, 33, 5-12.

Book edition:

Bradley-Johnson, S. (1994). Psychoeducational assessment of students who are visually impaired or blind: Infancy through high school (2nd ed.). Austin, TX: Pro-ed.

References should refer only to material listed within the text.

Footnotes

Footnotes should be placed as a list at the end of the paper only, not at the foot of each page. They should be numbered in the list and referred to in the text with consecutive, superscript Arabic numerals. Keep footnotes brief; they should contain only short comments tangential to the main argument of the paper and should not include references.

Tables

Tables should be self-contained and complement, not duplicate, information contained in the text. They should be supplied as editable files, not pasted as images. Legends should be concise but comprehensive – the table, legend, and footnotes must be understandable without reference to the text. All abbreviations must be defined in footnotes. Footnote symbols: †, ‡, §, ¶, should be used (in that order) and *, **, *** should be reserved for P-values. Statistical measures such as SD or SEM should be identified in the headings.

Figure Legends

Legends should be concise but comprehensive – the figure and its legend must be understandable without reference to the text. Include definitions of any symbols used and define/explain all abbreviations and units of measurement.

Figures

Although authors are encouraged to send the highest-quality figures possible, for peer-review purposes, a wide variety of formats, sizes, and resolutions are accepted.

[Click here](#) for the basic figure requirements for figures submitted with manuscripts for initial peer review, as well as the more detailed post-acceptance figure requirements.

Color figures: Figures submitted in colour may be reproduced in color online free of charge. Please note, however, that it is preferable that line figures (e.g. graphs and charts) are supplied in black and white so that they are legible if printed by a reader in black and white.

Guidelines for Cover Submissions

If you would like to send suggestions for artwork related to your manuscript to be considered to appear on the cover of the journal, please [follow these general guidelines](#).

Additional Files

Appendices

Appendices will be published after the references. For submission they should be supplied as separate files but referred to in the text.

Supporting Information

Supporting information is information that is not essential to the article, but provides greater depth and background. It is hosted online and appears without editing or typesetting. It may include tables, figures, videos, datasets, etc.

[Click here](#) for Wiley's FAQs on supporting information.

Note: if data, scripts, or other artefacts used to generate the analyses presented in the paper are available via a publicly available data repository, authors should include a reference to the location of the material within their paper.

General Style Points

The following points provide general advice on formatting and style.

- Abbreviations: In general, terms should not be abbreviated unless they are used repeatedly and the abbreviation is helpful to the reader. Initially, use the word in full, followed by the abbreviation in parentheses. Thereafter use the abbreviation only.
- Measurements should be given in SI or SI-derived units. Visit the [Bureau International des Poids et Mesures \(BIPM\) website](#) for more information about SI units. The salinity of sea water should be given as g L⁻¹. Use the form g mL⁻¹ not g/mL. Avoid the use of g per 100g, for example in food composition, use g/kg composition. If other units are used, these should be defined on first appearance in terms of SI units, e.g. mmHg.
- Numbers: numbers under 10 are spelt out, except for: measurements with a unit (8mmol/l); age (6 weeks old), or lists with other numbers (11 dogs, 9 cats, 4 gerbils).
- Trade Names: Chemical substances should be referred to by the generic name only. Trade names should not be used. Drugs should be referred to by their generic names. If proprietary drugs have been used in the study, refer to these by their generic name,

mentioning the proprietary name and the name and location of the manufacturer in parentheses.

Resource Identification Initiative

The journal supports the [Resource Identification Initiative](#), which aims to promote research resource identification, discovery, and reuse. This initiative, led by the [Neuroscience Information Framework](#) and the [Oregon Health & Science University Library](#), provides unique identifiers for antibodies, model organisms, cell lines, and tools including software and databases. These IDs, called Research Resource Identifiers (RRIDs), are machine-readable and can be used to search for all papers where a particular resource was used and to increase access to critical data to help researchers identify suitable reagents and tools.

Authors are asked to use RRIDs to cite the resources used in their research where applicable in the text, similar to a regular citation or Genbank Accession number. For antibodies, authors should include in the citation the vendor, catalogue number, and RRID both in the text upon first mention in the Methods section. For software tools and databases, please provide the name of the resource followed by the resource website, if available, and the RRID. For model organisms, the RRID alone is sufficient.

Additionally, authors must include the RIIDs in the list of keywords associated with the manuscript.

To Obtain Research Resource Identifiers (RRIDs):

- 1) Use the [Resource Identification Portal](#), created by the Resource Identification Initiative Working Group.
- 2) Search for the research resource (please see the section titled “Search Features and Tips” for more information).
- 3) Click on the “Cite This” button to obtain the citation and insert the citation into the manuscript text.

If there is a resource that is not found within the Portal, authors are asked to register the resource with the appropriate resource authority. Information on how to do this is provided in the “Resource Citation Guidelines” section of the Portal.

If any difficulties in obtaining identifiers arise, please contact rii-help@scicrunch.org for assistance.

Example Citations:

Antibodies: "Wnt3 was localized using a rabbit polyclonal antibody C64F2 against Wnt3 (Cell Signaling Technology, Cat# 2721S, RRID: AB_2215411)"

Model Organisms: "Experiments were conducted in *c. elegans* strain SP304 (RRID:CGC_SP304)"

Cell lines: "Experiments were conducted in PC12 CLS cells (CLS Cat# 500311/p701_PC-12, RRID:CVCL_0481)"

Tools, Software, and Databases: "Image analysis was conducted with CellProfiler Image Analysis Software, V2.0 (<http://www.cellprofiler.org>, RRID:nif-0000-00280)"

Wiley Author Resources

Manuscript Preparation Tips: Wiley has a range of resources for authors preparing manuscripts for submission available [here](#). In particular, we encourage authors to consult Wiley's best practice tips on [Writing for Search Engine Optimization](#).

Editing, Translation, and Formatting Support: Wiley Editing Services can greatly improve the chances of a manuscript being accepted. Offering expert help in English language editing, translation, manuscript formatting, and figure preparation, Wiley Editing Services ensures that the manuscript is ready for submission.

5. EDITORIAL POLICIES AND ETHICAL CONSIDERATIONS

Peer Review and Acceptance

The acceptance criteria for all papers are the quality and originality of the research and its significance to journal readership. Papers will only be sent to review if the Editor-in-Chief determines that the paper meets the appropriate quality and relevance requirements.

Wiley's policy on the confidentiality of the review process is [available here](#).

Research Reporting Guidelines

Accurate and complete reporting enables readers to fully appraise research, replicate it, and use it. Authors are encouraged to adhere to recognised research reporting standards. The EQUATOR Network collects more than 370 reporting guidelines for many study types, including for:

- Randomised trials: [CONSORT](#)
- Observational studies: [STROBE](#)
- Systematic reviews: [PRISMA](#)
- Case reports: [CARE](#)
- Qualitative research: [SRQR](#)
- Diagnostic / prognostic studies: [STARD](#)
- Quality improvement studies: [SQUIRE](#)
- Economic evaluations: [CHEERS](#)
- Study protocols: [SPIRIT](#)
- Clinical practice guidelines: [AGREE](#)

We also encourage authors to refer to and follow guidelines from:

- [Future of Research Communications and e-Scholarship \(FORCE11\)](#)
- [The Gold Standard Publication Checklist from Hooijmans and colleagues](#)
- [Minimum Information Guidelines from Diverse Bioscience Communities \(MIBBI\) website](#)
- [FAIRsharing website](#)

Preprints

Aquaculture Nutrition will consider for review articles previously available as preprints on non-commercial servers. Authors may also post the submitted version of a manuscript to non-commercial servers at any time. Authors are requested to update any pre-publication versions with a link to the final published article.

Species Names

Upon its first use in the title, abstract, and text, the common name of a species should be followed by the scientific name (genus, species, and authority) in parentheses. For well-known species, however, scientific names may be omitted from article titles. If no common name exists in English, only the scientific name should be used.

Conflict of Interest

The journal requires that all authors disclose any potential sources of conflict of interest. Any interest or relationship, financial or otherwise that might be perceived as influencing an author's objectivity is considered a potential source of conflict of interest. These must be disclosed when directly relevant or directly related to the work that the authors describe in their manuscript. Potential sources of conflict of interest include, but are not limited to: patent or stock ownership, membership of a company board of directors, membership of an advisory board or committee for a company, and consultancy for or receipt of speaker's fees from a company. The existence of a conflict of interest does not preclude publication. If the authors have no conflict of interest to declare, they must also state this at submission. It is the responsibility of the corresponding author to review this policy with all authors and collectively to disclose with the submission ALL pertinent commercial and other relationships.

Funding

Authors should list all funding sources in the Acknowledgments section. Authors are responsible for the accuracy of their funder designation. If in doubt, please check the Open Funder Registry for the correct nomenclature: <https://www.crossref.org/services/funder-registry/>

Authorship

The list of authors should accurately illustrate who contributed to the work and how. All those listed as authors should qualify for authorship according to the following criteria:

1. Have made substantial contributions to conception and design, or acquisition of data, or analysis and interpretation of data; and
2. Been involved in drafting the manuscript or revising it critically for important intellectual content; and
3. Given final approval of the version to be published. Each author should have participated sufficiently in the work to take public responsibility for appropriate portions of the content; and
4. Agreed to be accountable for all aspects of the work in ensuring that questions related to the accuracy or integrity of any part of the work are appropriately investigated and resolved.

Contributions from anyone who does not meet the criteria for authorship should be listed, with permission from the contributor, in an Acknowledgments section (for example, to recognize contributions from people who provided technical help, collation of data, writing assistance, acquisition of funding, or a department chairperson who provided general support). Prior to submitting the article all authors should agree on the order in which their names will be listed in the manuscript.

Additional Authorship Options. Joint first or senior authorship: In the case of joint first authorship, a footnote should be added to the author listing, e.g. 'X and Y should be considered joint first author' or 'X and Y should be considered joint senior author.'

Data Storage and Documentation

Aquaculture Nutrition expects that data supporting the results in the paper will be archived in an appropriate public repository. Authors are required to provide a data availability statement to describe the availability or the absence of shared data. When data have been shared, authors are required to include in their data availability statement a link to the repository they have used, and to cite the data they have shared. Whenever possible the scripts and other artefacts

used to generate the analyses presented in the paper should also be publicly archived. If sharing data compromises ethical standards or legal requirements then authors are not expected to share it.

Publication Ethics

This journal is a member of the [Committee on Publication Ethics \(COPE\)](#). Note this journal uses iThenticate's CrossCheck software to detect instances of overlapping and similar text in submitted manuscripts. Read Wiley's Top 10 Publishing Ethics Tips for Authors [here](#). Wiley's Publication Ethics Guidelines can be found [here](#).

ORCID

As part of the journal's commitment to supporting authors at every step of the publishing process, the journal encourages the submitting author (only) to provide an ORCID iD when submitting a manuscript. This takes around 2 minutes to complete. [Find more information here](#).

AUTHOR LICENSING

If your paper is accepted, the author identified as the formal corresponding author for the paper will receive an email prompting them to login into Author Services, where via the Wiley Author Licensing Service (WALS) they will be able to complete the license agreement on behalf of all authors on the paper.

For authors signing the copyright transfer agreement

If the OnlineOpen option is not selected the corresponding author will be presented with the copyright transfer agreement (CTA) to sign. The terms and conditions of the CTA can be previewed in the samples associated with the [Copyright FAQs](#).

For authors choosing OnlineOpen

If the OnlineOpen option is selected the corresponding author will have a choice of the following Creative Commons License Open Access Agreements (OAA):

- Creative Commons Attribution Non-Commercial License OAA
- Creative Commons Attribution Non-Commercial -NoDerivs License OAA

To preview the terms and conditions of these open access agreements please visit the [Copyright FAQs](#) and you may also like to visit the [Wiley Open Access and Copyright Licence](#) page.

If you select the OnlineOpen option and your research is funded by The Wellcome Trust and members of the Research Councils UK (RCUK) or Austrian Science Fund (FWF) you will be given the opportunity to publish your article under a CC-BY license supporting you in complying with your Funder requirements. For more information on this policy and the Journal's compliant self-archiving policy please visit our [Funder Policy](#) page.

7. PUBLICATION PROCESS AFTER ACCEPTANCE

Accepted Article Received in Production

When an accepted article is received by Wiley's production team, the corresponding author will receive an email asking them to login or register with [Wiley Author Services](#). The author will be asked to sign a publication license at this point.

Proofs

Authors will receive an e-mail notification with a link and instructions for accessing HTML page proofs online. Page proofs should be carefully proofread for any copyediting or typesetting errors. Online guidelines are provided within the system. No special software is required, most common browsers are supported. Authors should also make sure that any renumbered tables, figures, or references match text citations and that figure legends correspond with text citations and actual figures. Proofs must be returned within 48 hours of receipt of the email. Return of proofs via e-mail is possible in the event that the online system cannot be used or accessed.

Please note that the author is responsible for all statements made in their work, including changes made during the editorial process – authors should check proofs carefully.

Publication Charges

Page Charges. Original research articles exceeding 20 pages when in proof will be subject to a page charge of GBP 100 per additional page. The first 20 pages will be published free of charge. An average 20-page article will have approximately 15,000 words in manuscript, with approximately 6 figures or tables and 70 references. An invoice will be sent to authors for these charges upon publishing online in an issue of their article. Invited and review articles are excluded from this rule.

Early View

The journal offers rapid publication via Wiley's Early View service. [Early View](#) (Online Version of Record) articles are published on Wiley Online Library before inclusion in an issue. Note there may be a delay after corrections are received before the article appears online, as Editors also need to review proofs. Once the article is published on Early View, no further changes to the article are possible. The Early View article is fully citable and carries an online publication date and DOI for citations.

8. POST PUBLICATION

Access and Sharing

Please review Wiley's guidelines on sharing your research [here](#).

When the article is published online:

- The author receives an email alert (if requested).
- The link to the published article can be shared through social media.>
- The author will have free access to the paper (after accepting the Terms & Conditions of use, they can view the article).
- For non-open access articles, the corresponding author and co-authors can nominate up to ten colleagues to receive a publication alert and free online access to the article.

Data Protection

By submitting a manuscript to or reviewing for this publication, your name, email address, and affiliation, and other contact details the publication might require, will be used for the regular operations of the publication, including, when necessary, sharing with the publisher (Wiley) and partners for production and publication. The publication and the publisher

recognize the importance of protecting the personal information collected from users in the operation of these services, and have practices in place to ensure that steps are taken to maintain the security, integrity, and privacy of the personal data collected and processed. You can learn more at <https://authorservices.wiley.com/statements/data-protection-policy.html>

Promoting the Article

To find out how to best promote an article, click [here](#).

Measuring the Impact of an Article

Wiley also helps authors measure the impact of their research through specialist partnerships with [Kudos](#) and [Altmetric](#).

9. EDITORIAL OFFICE CONTACT DETAILS

Please contact Inghild Øye - an@hi.no

Author Guidelines updated February 2019